

สำนักหอสมุดกลาง พระจอมเกล้าลาดกระบัง

การปรับปรุงย่านปฏิบัติงานของความต้านทานลอยตัวที่ปรับค่าได้ทาง
อิเล็กทรอนิกส์ที่สร้างจากทรานซิสเตอร์ CMOS

THE IMPROVEMENT OF DYNAMIC-RANGE FOR ELECTRONICALLY
TUNABLE FLOATING RESISTANCE BASED ON CMOS TRANSISTORS



สิทธิพร เพ็ชรกิจ

SITTIPORN PETCHKIT

เลขหม.....
เลขทะเบียน..... 44963
วัน, เดือน, ปี..... 16 ส.ค. 2546

.b.....
.i.....

วิทยานิพนธ์นี้เป็นส่วนหนึ่งของการศึกษาตามหลักสูตรปริญญาวิศวกรรมศาสตรมหาบัณฑิต

สาขาวิชาวิศวกรรมไฟฟ้า

บัณฑิตวิทยาลัย

สถาบันเทคโนโลยีพระจอมเกล้าเจ้าคุณทหารลาดกระบัง

พ.ศ.2545

ISBN 974-324-110-8

เอกสารนี้เป็นเอกสารที่สงวนไว้สำหรับการใช้งานเพื่อการศึกษาเท่านั้น ไม่อนุญาตให้นำไปใช้ประโยชน์ด้านการค้า
ไม่ว่ากรณีใดๆทั้งสิ้น อีกทั้งห้ามมิให้ตัดแปลงเนื้อหา และต้องอ้างอิงถึงเจ้าของเอกสารทุกครั้งที่มีการนำไปใช้

**THE IMPROVEMENT OF DYNAMIC-RANGE FOR ELECTRONICALLY
TUNABLE FLOATING RESISTANCE BASED ON CMOS TRANSISTORS**



**A THESIS SUBMITTED IN PARTIAL FULFILLMENT
OF THE REQUIREMENTS FOR THE DEGREE OF
MASTER OF ENGINEERING IN ELECTRICAL ENGINEERING
SCHOOL OF GRADUATE STUDIES
KING MONGKUT'S INSTITUTE OF TECHNOLOGY LADKRABANG**

2002

ISBN 974-324-110-8

เอกสารนี้เป็นเอกสารที่สงวนไว้สำหรับการใช้งานเพื่อการศึกษาเท่านั้น ไม่อนุญาตให้นำไปใช้ประโยชน์ด้านการค้า
ไม่ว่ากรณีใดๆทั้งสิ้น อีกทั้งห้ามมิให้ดัดแปลงเนื้อหา และต้องอ้างอิงถึงเจ้าของเอกสารทุกครั้งที่มีการนำไปใช้



COPYRIGHT 2002

SCHOOL OF GRADUATE STUDIES

KING MONGKUT'S INSTITUTE OF TECHNOLOGY LADKRABANG

เอกสารนี้เป็นเอกสารที่สงวนไว้สำหรับการใช้งานเพื่อการศึกษาเท่านั้น ไม่อนุญาตให้นำไปใช้ประโยชน์ด้านการค้า
ไม่ว่ากรณีใดๆทั้งสิ้น อีกทั้งห้ามมิให้ดัดแปลงเนื้อหา และต้องอ้างอิงถึงเจ้าของเอกสารทุกครั้งที่มีการนำไปใช้

หัวข้อวิทยานิพนธ์ การปรับปรุงย่านปฏิบัติงานของความต้านทานลอยตัวที่ปรับค่าได้ทางอิเล็กทรอนิกส์ ที่สร้างจากทรานซิสเตอร์ CMOS

นักศึกษา นายสิทธิพร เพ็ชรกิจ

รหัสประจำตัว 38621206

ปริญญา วิศวกรรมศาสตรมหาบัณฑิต

สาขาวิชา วิศวกรรมไฟฟ้า

พ.ศ. 2545

อาจารย์ผู้ควบคุมวิทยานิพนธ์ รศ.ดร.กอบชัย เดชหาญ

บทคัดย่อ

วิทยานิพนธ์นี้เสนอวงจรความต้านทานลอยตัวค่าบวกและค่าลบ ที่สามารถปรับเปลี่ยนค่าความต้านทานได้ด้วยวิธีทางอิเล็กทรอนิกส์ โดยใช้แรงดันเป็นตัวควบคุม ซึ่งมีพื้นฐานอยู่บนการนำคุณสมบัติของมอส ทรานซิสเตอร์ที่ทำงานในช่วงอิ่มตัวมาใช้งาน วงจรที่นำเสนอนี้ให้ค่าความต้านทานที่มีความเป็นเชิงเส้นสูง และมีช่วงปฏิบัติงานกว้าง และเนื่องจากวงจรประกอบขึ้นจากมอส ทรานซิสเตอร์เพียงอย่างเดียว จึงมีความเหมาะสมที่จะนำไปสร้างเป็นวงจรรวม เพื่อยืนยันถึงประสิทธิภาพการทำงานของวงจร ได้แสดงการจำลองการทำงานของวงจรด้วยโปรแกรม PSpice

Thesis Title The Improvement of Dynamic-Range for Electronically Tunable
Floating Resistance Based on CMOS Transistors

Student Mr. Sittiporn Petchkit

Student ID. 38621206

Degree Master of Engineering

Programme Electrical Engineering

Year 2002

Thesis Advisor Assoc.Prof.Dr. Kobchai Dejhan

ABSTRACT

This thesis presents the positive and negative floating resistance circuits, which can be electronically tunable voltage-controlled resistance. These circuits bases on the characteristic of MOS-transistors operating in saturation region. The proposed circuit gives high-linearity of the resistance value and wide dynamic range, which is useful in IC design because of its MOS-transistor structure. The circuit performances are also included based on simulation results by using PSpice.

กิตติกรรมประกาศ

ผู้เขียนขอขอบคุณ รองศาสตราจารย์ ดร. กอบชัย เดชหาญ ซึ่งเป็นอาจารย์ผู้ควบคุมวิทยานิพนธ์เป็น
อย่างสูงที่ได้ให้คำปรึกษาและแนะนำ จนทำให้ผู้เขียนสามารถทำวิทยานิพนธ์นี้สำเร็จสมบูรณ์ลงได้ และขอ
ขอบคุณอาจารย์วิจิตรา เพ็ชรกิจ ที่มอบสิ่งที่ค้างมาทุกอย่างและเป็นกำลังใจให้แก่ผู้เขียนมาโดยตลอด
พร้อมทั้งเพื่อนๆ และน้องๆ ทุกคน สำหรับความช่วยเหลือต่างๆ ขอขอบคุณ บิดา มารดา พี่ๆ และน้องทุกคน ที่
ได้ให้ความรัก และคอยเป็นกำลังใจให้กับผู้เขียน นอกจากนี้ผู้เขียนขอขอบคุณมหาวิทยาลัยสยามที่ได้อำนวยความสะดวกในเรื่องเครื่องมือและอุปกรณ์ต่างๆ ในการจัดทำวิทยานิพนธ์นี้

คุณค่าและประโยชน์อันพึงมีจากวิทยานิพนธ์ฉบับนี้ ผู้เขียนขอมอบแด่ผู้มีพระคุณทุกท่าน

สิทธิพร เพ็ชรกิจ



เอกสารนี้เป็นเอกสารที่สงวนไว้สำหรับการใช้งานเพื่อการศึกษาเท่านั้น ไม่อนุญาตให้นำไปใช้ประโยชน์ด้านการค้า
ไม่ว่ากรณีใดๆทั้งสิ้น อีกทั้งห้ามมิให้ตัดแปลงเนื้อหา และต้องอ้างอิงถึงเจ้าของเอกสารทุกครั้งที่มีการนำไปใช้

สารบัญ

หน้า

บทคัดย่อภาษาไทย.....	I
บทคัดย่อภาษาอังกฤษ.....	II
กิตติกรรมประกาศ.....	III
สารบัญ.....	IV
สารบัญตาราง	VI
สารบัญรูป... ..	VII
บทที่ 1 บทนำ	1
1.1 ความเป็นมาและความสำคัญของปัญหา	1
1.2 ความมุ่งหมายและวัตถุประสงค์ของการศึกษา	2
1.3 สมมติฐานของการศึกษา	2
1.4 ขอบเขตของงานวิจัย	3
บทที่ 2 ทฤษฎีของทรานซิสเตอร์สนามไฟฟ้า	4
2.1 กล่าวนำ	4
2.2 มอสมทรานซิสเตอร์.....	5
2.3 ชนิดและประเภทของมอสมทรานซิสเตอร์	5
2.4 โครงสร้างและการทำงาน	7
2.4.1 สัญลักษณ์	8
2.5 แรงดันขีดเริ่ม	9
2.6 การนำกระแสและขอบเขตการทำงาน.....	11
2.6.1 ขอบเขตการทำงาน	14
บทที่ 3 หลักการและการออกแบบวงจรความต้านทานที่เสนอ	16
3.1 กล่าวนำ	16
3.2 แหล่งจ่ายกระแสคงที่.....	16
3.3 หลักการของวงจรความต้านทานที่สร้างจากมอสมทรานซิสเตอร์.....	22
3.4 การปรับปรุงหรือการขยายช่วงแรงดันอินพุตปฏิบัติงานให้กว้างขึ้น	32

เอกสารนี้เป็นเอกสารลิขสิทธิ์ของมหาวิทยาลัยเทคโนโลยีพระจอมเกล้าเจ้าคุณทหารลาดกระบัง การนำเอกสารนี้ไปใช้โดยไม่ได้รับอนุญาตถือว่าผิดกฎหมาย

ไม่ว่ากรณีใดๆทั้งสิ้น อีกทั้งห้ามมิให้ดัดแปลงเนื้อหา และต้องอ้างอิงถึงเจ้าของเอกสารทุกครั้งที่มีการนำไปใช้

3.5.1	วงจรรวมด้านทานลอยตัวแบบลบที่ได้จากการดัดแปลง วงจรที่ 1.....	38
3.5.2	วงจรรวมด้านทานลอยตัวแบบลบที่ได้จากการดัดแปลง วงจรที่ 2.....	44
3.6	การพัฒนาวงจรรวมด้านทานลอยตัวให้สามารถทำงานได้ทั้งแบบบวก และแบบลบ ภายในวงจรเดียวกัน	49
3.6.1	การกำหนดให้ทำงานเป็นวงจรรวมด้านทานลอยตัวแบบบวก.....	51
3.6.2	การกำหนดให้ทำงานเป็นวงจรรวมด้านทานลอยตัวแบบลบ.....	51
บทที่ 4	การจำลองการทำงาน	57
4.1	กล่าววน่า.....	57
4.2	การจำลองการทำงานด้วยโปรแกรมคอมพิวเตอร์.....	57
4.2.1	การจำลองวงจรรวมด้านทานลอยตัว เพื่อหาความสัมพันธ์ของกระแส และ แรงดัน	57
4.2.2	การจำลองวงจรเพื่อหาผลตอบสนองเชิงความถี่	61
4.2.3	ตัวอย่างการประยุกต์ใช้งาน	63
4.2.4	การจำลองค่าความต้านทานต่ออุณหภูมิ	67
บทที่ 5	บทสรุปและวิจารณ์	69
	เอกสารอ้างอิง	71
	ภาคผนวก	73
	ภาคผนวก ก. ค่าพารามิเตอร์ที่ใช้ในการเลียนแบบการทำงานของวงจร	74
	ภาคผนวก ข. ผลงานวิจัยที่เกี่ยวข้องกับวิทยานิพนธ์ที่ได้รับการตีพิมพ์	75
	ประวัติผู้เขียน	83

เอกสารนี้เป็นเอกสารที่สงวนไว้สำหรับการใช้งานเพื่อการศึกษาเท่านั้น ไม่อนุญาตให้นำไปใช้ประโยชน์ด้านการค้า
ไม่ว่ากรณีใดๆทั้งสิ้น อีกทั้งห้ามมิให้ดัดแปลงเนื้อหา และต้องอ้างอิงถึงเจ้าของเอกสารทุกครั้งที่มีการนำไปใช้

สารบัญตาราง

ตารางที่

หน้า

1 แสดงค่าอัตราส่วน $\left(\frac{W}{L}\right)$ ของมอสทรานซิสเตอร์ที่ใช้จำลองการทำงาน	30
---	----



เอกสารนี้เป็นเอกสารที่สงวนไว้สำหรับการใช้งานเพื่อการศึกษาเท่านั้น ไม่อนุญาตให้นำไปใช้ประโยชน์ด้านการค้า
ไม่ว่ากรณีใดๆทั้งสิ้น อีกทั้งห้ามมิให้ตัดแปลงเนื้อหา และต้องอ้างอิงถึงเจ้าของเอกสารทุกครั้งที่มีการนำไปใช้

สารบัญรูป

รูปที่	หน้า
2.1 ชนิดและประเภทของทรานซิสเตอร์.....	4
2.2 โครงสร้างของมอสทรานซิสเตอร์.....	5
2.3 ข้อแตกต่างของมอสทรานซิสเตอร์ทั้งสองแบบ ก) Depletion ข) Enhancement	5
2.4 ก) N-channel แบบ Depletion MOSFET	6
ข) P-channel แบบ Depletion MOSFET	6
ค) N-channel แบบ Enhancement MOSFET.....	6
ง) P-channel แบบ Enhancement MOSFET	6
2.5 กราฟคุณลักษณะของกระแสทรานซิสเตอร์แบบ N-Channel ก) Depletion ข) Enhancement	8
2.6 สัญลักษณ์ของมอสทรานซิสเตอร์	9
2.7 การเกิดชั้นกลับ (Inversion layer) เมื่อป้อนแรงดันเข้าที่ขาเกต	10
2.8 การเกิดแซนแนลเมื่อป้อน V_{GS} และ V_{DS}	12
2.9 กราฟความสัมพันธ์ของกระแส I_D กับแรงดัน V_{DS}	13
3.1 ก) แหล่งจ่ายกระแสอย่างง่าย ข) วงจรสมมูลของสัญญาณขนาดเล็ก	16
3.2 แหล่งจ่ายกระแสหลายเอาต์พุต	18
3.3 แบบจำลองของวงจรตามรูป 3.1 เพื่อหาค่าความต้านทานอินพุต	19
3.4 แบบจำลองของวงจรตามรูป 3.1 เพื่อหาค่าความต้านทานเอาต์พุต	20
3.5 วงจรสมมูลของแหล่งจ่ายกระแสทางเอาต์พุต	20
3.6 วงจรสะท้อนกระแสแบบคาสโคด	21
3.7 หลักการวงจรความต้านทานลอยตัวปรับค่าได้ด้วยแรงดัน	22
3.8 โครงสร้างวงจรความต้านทานลอยตัวปรับค่าได้ด้วยแรงดันที่สร้างจากมอสทรานซิสเตอร์..	23
3.9 ความสัมพันธ์ของกระแส I_{IN} และ I_{OUT}	23
3.10 บล็อกไดอะแกรมของวงจรความต้านทานลอยตัวที่รวมส่วนการสะท้อนกระแส I_1 และ I_2	24
3.11 การจัดไบอัสแก้มอสทรานซิสเตอร์ M_1 และ M_2	27
3.12 วงจรสมมูลของความต้านทานลอยตัวแบบบวก ปรับค่าได้ด้วยแรงดัน ที่สร้างจาก NMOS	30
3.13 ความสัมพันธ์ ของค่ากระแส I_{AB} และแรงดัน V_{AB} ของวงจรรูปที่ 3.12	31
3.14 บล็อกไดอะแกรมของวงจรความต้านทานลอยตัว ปรับค่าได้ด้วยแรงดัน ที่ปรับปรุง	33

สารบัญรูป (ต่อ)

รูปที่	หน้า
3.15 วงจรสมบูรณของความต้านทานลอยตัวแบบบวค ที่เสนอการปรับปรุง	34
3.16 ความสัมพันธ์ของกระแส I_{AB} และแรงดัน V_{AB} ของวงจรรความต้านทานที่ปรับปรุง...	37
3.17 ทิศทางการไหลของกระแส I_{IN} กรณีไหลเข้าที่โนค A	39
3.18 ทิศทางการไหลของกระแสตามสมการ (3.70)	39
3.19 การจัดวางตำแหน่งของกระแส I_2 ใหม่	40
3.20 ทิศทางการไหลของกระแส $2I_1$ เพื่อให้เงื่อนไขกระแส I_{IN} ไหลออกที่โนค A	41
3.21 ทิศทางการไหลของกระแสต่างๆที่โนค B ตามสมการ (3.74)	41
3.22 ทิศทางการไหลของกระแส $2I_2$ เพื่อให้เงื่อนไขกระแส I_{OUT} ไหลเข้าที่โนค B	42
3.23 บล็อกไดอะแกรมของวงจรที่ 1 ที่ดัดแปลงเป็นวงจรรความต้านทานลอยตัวแบบลบ	43
3.24 วงจรสมบูรณของความต้านทานลอยตัวแบบลบที่ดัดแปลงจากวงจรที่ 1	43
3.25 บล็อกไดอะแกรมของวงจรรความต้านทานลอยตัวแบบบวค วงจรที่ 2 ก่อนดัดแปลง	44
3.26 ทิศทางการไหลของกระแส I_{IN} ที่โนค A	45
3.27 ทิศทางของกระแส $2I_1$ ที่เพิ่มเข้ามาเพื่อให้เงื่อนไขกระแส I_{IN} ไหลออกที่โนค A.....	46
3.28 ทิศทางการไหลของกระแสตามสมการ (3.88) และทิศทางการไหลของกระแส I_2 ที่สร้างจาก M_2	47
3.29 ทิศทางของกระแส $2I_2$ ที่เพิ่มเข้ามาเพื่อให้เงื่อนไขกระแส I_{OUT} ไหลเข้าที่โนค B.....	48
3.30 บล็อกไดอะแกรมวงจรรความต้านทานลอยตัวแบบลบ ที่ดัดแปลงจากวงจรที่ 2	48
3.31 วงจรสมบูรณของความต้านทานลอยตัวแบบลบ ที่ดัดแปลงจากวงจรที่ 2	49
3.32 บล็อกไดอะแกรมวงจรรความต้านทานลอยตัวแบบบวคและแบบลบ ภายในวงจรเดียวกัน ชนิด NMOS	50
3.33 บล็อกไดอะแกรมวงจรรความต้านทานลอยตัวกรณีกำหนดให้ทำงานเป็นแบบบวค.....	51
3.34 บล็อกไดอะแกรมวงจรรความต้านทานลอยตัวกรณีกำหนดให้ทำงานเป็นแบบลบ	52
3.35 วงจรสมบูรณของความต้านทานลอยตัวกรณีกำหนดให้ทำงานเป็นแบบบวค.....	53
3.36 วงจรสมบูรณของความต้านทานลอยตัวกรณีกำหนดให้ทำงานเป็นแบบลบ	53
3.37 บล็อกไดอะแกรมวงจรรความต้านทานลอยตัวแบบบวคและแบบลบ ภายในวงจรเดียวกัน ชนิด PMOS	54
3.38 บล็อกไดอะแกรมวงจรรความต้านทานลอยตัวกรณีกำหนดให้ทำงานเป็นแบบบวค.....	54
3.39 บล็อกไดอะแกรมวงจรรความต้านทานลอยตัวกรณีกำหนดให้ทำงานเป็นแบบลบ.....	55
3.40 วงจรสมบูรณของความต้านทานลอยตัวกรณีกำหนดให้ทำงานเป็นแบบบวค.....	55

เอกสารนี้เป็นเอกสารที่สงวนไว้สำหรับการใช้งานเพื่อการศึกษเท่านั้น เมื่ออนุญาตให้ใช้ประโยชน์ด้านการค้า

ไม่ว่ากรณีใดๆทั้งสิ้น อีกทั้งห้ามมิให้ดัดแปลงเนื้อหา และต้องอ้างอิงถึงเจ้าของเอกสารทุกครั้งที่มีการนำไปใช้

สารบัญรูป (ต่อ)

รูปที่	หน้า
3.41 วงจรสมบรูณ์ของความต้านทานลอยตัวกรณีกำหนดให้ทำงานเป็นแบบลบ.....	56
4.1 วงจรความต้านทานลอยตัวแบบบวก	57
4.2 วงจรความต้านทานลอยตัวแบบลบ วงจรที่ 1	58
4.3 วงจรความต้านทานลอยตัวแบบลบ วงจรที่ 2	58
4.4 ความสัมพันธ์ระหว่างแรงดัน V_{AB} กับกระแส I_{AB} เมื่อ V_C มีค่าต่างๆ กันของวงจรรูปที่ 4.1	59
4.5 ความสัมพันธ์ระหว่างแรงดัน V_{AB} กับกระแส I_{AB} เมื่อ V_C มีค่าต่างๆ กัน ของวงจรรูปที่ 4.2	59
4.6 ความสัมพันธ์ระหว่างแรงดัน V_{AB} กับกระแส I_{AB} เมื่อ V_C มีค่าต่างๆ กันของวงจรรูปที่ 4.3	60
4.7 ลักษณะการต่อวงจรที่ใช้ทดสอบเพื่อหาผลตอบสนองความถี่.....	61
4.8 ผลตอบสนองความถี่ของวงจรรูปที่ 3.15.....	61
4.9 ผลตอบสนองความถี่ของวงจรรูปที่ 3.24.....	62
4.10 ผลตอบสนองความถี่ของวงจรรูปที่ 3.31.....	62
4.11 วงจรขยายสัญญาณแบบกลับเฟส.....	63
4.12 วงจรขยายสัญญาณแบบกลับเฟสเมื่อใช้วงจรความต้านทานลอยตัวแบบบวก.....	64
4.13 วงจรขยายสัญญาณแบบกลับเฟสเมื่อใช้วงจรความต้านทานลอยตัวแบบลบ วงจรที่ 1	64
4.14 วงจรขยายสัญญาณแบบกลับเฟสเมื่อใช้วงจรความต้านทานลอยตัวแบบลบ วงจรที่ 2	65
4.15 ผลการจำลองการทำงานเมื่อ R_1 ถูกแทนด้วยวงจรรูปที่ 3.15 (วงจรรูปที่ 4.12)	65
4.16 ผลการจำลองการทำงานเมื่อ R_1 ถูกแทนด้วยวงจรรูปที่ 3.24 (วงจรรูปที่ 4.13)	66
4.17 ผลการจำลองการทำงานเมื่อ R_1 ถูกแทนด้วยวงจรรูปที่ 3.31 (วงจรรูปที่ 4.14)	66
4.18 เสถียรภาพของค่าความต้านทานต่ออุณหภูมิ ของวงจรความต้านทานลอยตัวแบบบวกรูปที่ 4.1	67
4.19 เสถียรภาพของค่าความต้านทานต่ออุณหภูมิ ของวงจรความต้านทานลอยตัวแบบลบรูปที่ 4.2.....	68
4.20 เสถียรภาพของค่าความต้านทานต่ออุณหภูมิ ของวงจรความต้านทานลอยตัวแบบลบรูปที่ 4.3	68

เอกสารนี้เป็นเอกสารที่สงวนไว้สำหรับการใช้งานเพื่อการศึกษาเท่านั้น ไม่อนุญาตให้นำไปใช้ประโยชน์ด้านการค้าไม่ว่ากรณีใดๆทั้งสิ้น อีกทั้งห้ามมิให้ตัดแปลงเนื้อหา และต้องอ้างอิงถึงเจ้าของเอกสารทุกครั้งที่มีการนำไปใช้

บทที่ 1

บทนำ

1.1 ความเป็นมาและความสำคัญของปัญหา

วงจรเลียนแบบการทำงานของความต้านทาน เป็นวงจรที่ให้ความสัมพันธ์ระหว่างกระแสและแรงดันที่ขั้วเป็นเชิงเส้น สามารถแบ่งตามลักษณะของตัวต้านทานได้เป็น 2 ประเภทคือ ความต้านทานชนิดต่อลงกราวด์ (Grounded Resistor) และความต้านทานชนิดลอยตัว (Floating Resistor) นอกจากนี้ ยังสามารถแบ่งประเภทของความต้านทานตามคุณสมบัติการทำงานได้เป็น ความต้านทานแบบบวก และความต้านทานแบบลบ ทั้งนี้ขึ้นอยู่กับทิศทางการไหลของกระแส และทิศทางของแรงดันที่ขั้วของความต้านทานเป็นสำคัญ

ความต้านทานแบบลอยตัวมีการนำไปใช้งานกว้างขวางมากกว่าความต้านทานแบบต่อลงกราวด์ ดังนั้นวงจรความต้านทานลอยตัวแบบบวก และ แบบลบที่สามารถปรับค่าได้ด้วยวิธีการอิเล็กทรอนิกส์จึงเป็นอุปกรณ์ที่น่าสนใจมากกว่าหนึ่ง เนื่องจากสามารถนำไปประยุกต์ใช้กับงานทางด้านการประมวลผลสัญญาณต่างๆ ได้มากมาย ตัวอย่างเช่นนำมาใช้ในวงจรออสซิลเลเตอร์ หรือใช้เป็นตัวปรับค่าความถี่ในวงจรกรองสัญญาณแบบแอคทีฟ (active filter) หรือใช้เป็นตัวปรับอัตราขยายหรือเป็นตัวลคทอนสัญญาณในวงจรขยายสัญญาณ หรือใช้เป็นวงจรเพิ่มความเป็นเชิงเส้นให้กับวงจรอินทิเกรต เป็นต้น จากเหตุผลดังกล่าวข้างต้น จะเห็นได้ว่ามีการนำเสนอวงจรที่ทำหน้าที่เป็นตัวต้านทานลอยตัวที่ปรับค่าได้ ด้วยวิธีการอิเล็กทรอนิกส์ทั้งค่าบวก [1-6] และค่าลบ [7-8] ออกมาอย่างต่อเนื่อง ซึ่งแต่ละวงจรก็จะมีข้อดีและข้อเสียที่แตกต่างกัน ทั้งนี้ขึ้นอยู่กับวิธีการที่นำมาใช้ในการออกแบบ สิ่งหนึ่งที่เห็นได้ชัดเจนจากบทความที่มีการนำเสนออีกอันอย่างมากที่สุดคือ ช่วงปฏิบัติการของแรงดันอินพุตของวงจรความต้านทานลอยตัวค่าบวกส่วนใหญ่จะมีช่วงปฏิบัติการประมาณ ± 1 โวลต์ ในขณะที่ใช้ไฟเลี้ยงวงจร ± 5 โวลต์ ดังนั้นจะเห็นได้ว่า ถ้าสามารถออกแบบวงจรเลียนแบบความต้านทานนี้ ให้สามารถใช้งานในช่วงแรงดันอินพุตได้สูง หรือทำให้ช่วงปฏิบัติการของแรงดันอินพุตกว้างขึ้น และให้ความเป็นเชิงเส้นสูง ก็น่าสนใจ และถ้ายิ่งวงจรที่ทำหน้าที่เลียนแบบเป็นความต้านทานใช้อุปกรณ์ในการสร้างน้อยชิ้นด้วยแล้ว ความน่าสนใจก็จะยิ่งมีมากขึ้น จึงมีแนวความคิดที่จะทำการแก้ไขและปรับปรุงวงจรเลียนแบบความต้านทานแบบลอยตัวให้สามารถมีช่วงปฏิบัติการแรงดันอินพุตได้กว้างขึ้น และมีความเป็นเชิงเส้นสูง โดยวงจรจะต้องไม่ยุ่งยากหรือซับซ้อน และถ้าการสร้างวงจรเลียนแบบความต้านทาน สามารถใช้อุปกรณ์แอคทีฟเพียงอย่างเดียว ก็มีความเหมาะสมที่จะทำเป็นวงจรรวมได้อีกด้วย

1.2 ความมุ่งหมาย และวัตถุประสงค์ของการศึกษา

วิทยานิพนธ์นี้ มีจุดมุ่งหมาย คือการปรับปรุงย่านปฏิบัติงานของวงจรรวมด้านทานลอยตัว ที่ปรับค่าได้ด้วยวิธีทางอิเล็กทรอนิกส์ ในที่นี้คือการปรับค่าด้วยแรงดัน ให้สามารถมีช่วงการทำงาน ของแรงดันที่กว้างขึ้น และให้ความเป็นเชิงเส้นสูง ซึ่งวงจรรวมด้านทานที่มีการนำเสนอมาก่อนหน้านี้[1-8]จะให้ช่วงปฏิบัติงานของแรงดันที่ไม่กว้างมากนัก โดยทั่วไปจะอยู่ที่ประมาณ ± 1 โวลต์ เท่านั้น เมื่อจะนำไปใช้งานในวงจรที่ใช้แรงดันสูง ก็อาจจะต้องทำการตัดแปลงหรือต่อวงจรเพิ่มเติม ซึ่งทำให้เกิดความยุ่งยาก เกิดความไม่คล่องตัวในการนำไปใช้งานเท่าที่ควร วิทยานิพนธ์นี้จึงเสนอการปรับปรุงดังกล่าว เพื่อให้มีช่วงปฏิบัติงานแรงดันอินพุตได้กว้างกว่าเดิมที่เคยมีการนำเสนอ มา โดยได้ทำการปรับปรุงย่านการทำงานของวงจรรวมด้านทานลอยตัวแบบบวค ที่สร้างจากมอส ทรานซิสเตอร์ชนิด NMOS และนำมาออกแบบวงจรใหม่ เพื่อให้มีช่วงแรงดันปฏิบัติงานที่กว้างขึ้น นอกจากนั้นยังได้นำวงจรรวมด้านทานลอยตัวแบบบวคที่สร้างขึ้น มาทำการตัดแปลงให้สามารถ ทำหน้าที่เป็นวงจรรวมด้านทานลอยตัวแบบลบได้ โดยมุ่งเน้นให้วงจรที่สร้างนั้นใช้อุปกรณ์น้อย และเป็นอุปกรณ์ประเภทแอกทิฟเพียงอย่างเดียว เพื่อจะได้มีความเหมาะสมที่จะนำไปสร้างเป็น วงจรรวมต่อไป

1.3 สมมติฐานของการศึกษา

การปรับปรุงช่วงแรงดันการทำงานของวงจรรวมด้านทานลอยตัวแบบบวค ที่ปรับค่าได้ด้วย แรงดันนั้น จากการพิจารณากราฟความสัมพันธ์ของกระแสและแรงดันที่ขั้วเป็นเชิงเส้น พบว่า ความสัมพันธ์ของเส้นกราฟที่ได้ จะอยู่ในรูปของความชัน เมื่อสมมติให้แกน X แทนด้วยค่าแรงดัน อินพุต และแกน Y แทนค่ากระแสอินพุต จากการศึกษาคุณสมบัติของมอสทรานซิสเตอร์พบว่าเส้น กราฟจะมีความเป็นเชิงเส้นที่จำกัดเพราะกระแสอินพุตจะเกิดการอิ่มตัว และจากการสังเกตจะได้ว่า ถ้าสามารถทำให้ความเป็นเชิงเส้นของเส้นกราฟมีค่ากว้างขึ้นได้ ในขณะที่กระแสอิ่มตัวมีค่าเท่าเดิม สิ่งที่ได้คือช่วงของแรงดันอินพุตจะกว้างมากขึ้น หรือมีช่วงความเป็นเชิงเส้นที่กว้างขึ้นนั่นเอง ซึ่ง การที่จะทำให้ช่วงของแรงดันมีค่ากว้างขึ้นได้นั้น จะมีความสัมพันธ์กับค่าของความชันของเส้น กราฟ กล่าวคือ ถ้าความชันของเส้นกราฟมีค่ามาก ช่วงแรงดันอินพุตที่ได้จะมีค่าน้อย แต่ถ้าความ ชันของเส้นกราฟมีค่าน้อย ช่วงของแรงดันอินพุตก็จะมีค่ามากขึ้น หรือมีช่วงความเป็นเชิงเส้นที่ กว้างขึ้นนั่นเอง ดังนั้นในวิทยานิพนธ์นี้จึงเสนอการปรับปรุงย่านปฏิบัติงานของวงจรรวมด้านทาน ลอยตัวที่ปรับค่าได้ด้วยแรงดัน ด้วยวิธีการดังกล่าวนี

1.4 ขอบเขตของงานวิจัย

สำหรับรายละเอียด ของวิทยานิพนธ์ จะมีดังนี้

บทที่ 2 กล่าวถึงทฤษฎีและหลักการทำงานของมอสทรานซิสเตอร์ ซึ่งเป็นอุปกรณ์หลักที่นำมาสร้างวงจรความต้านทานชนิดลอยตัวในวิทยานิพนธ์นี้

บทที่ 3 กล่าวถึงหลักการและการออกแบบวงจรความต้านทานแบบลอยตัวแบบบวก ที่ปรับค่าได้ด้วยวิธีทางอิเล็กทรอนิกส์(แรงดัน) ซึ่งเนื้อหาในส่วนนี้ ประกอบด้วยหลักการของวงจรสะท้อนกระแส หลักการสร้างวงจรความต้านทานลอยตัวแบบบวก โดยใช้มอสทรานซิสเตอร์ชนิด NMOS และได้ทำการปรับปรุงวงจรดังกล่าวเพื่อให้มีช่วงปฏิบัติงานแรงดันอินพุตที่กว้างขึ้น และมีความเป็นเชิงเส้นสูง นอกจากนี้ยังได้กล่าวถึงหลักการตัดแปลงวงจรความต้านทานลอยตัวแบบบวกที่เสนอดังกล่าว ให้สามารถทำหน้าที่เป็นวงจรความต้านทานลอยตัวแบบลบได้อีกด้วย

บทที่ 4 กล่าวถึงผลการจำลองการทำงานของวงจรความต้านทานลอยตัว แบบบวกและ แบบลบที่ได้ออกแบบไว้ ด้วยโปรแกรมเลียนแบบการทำงาน PSpice

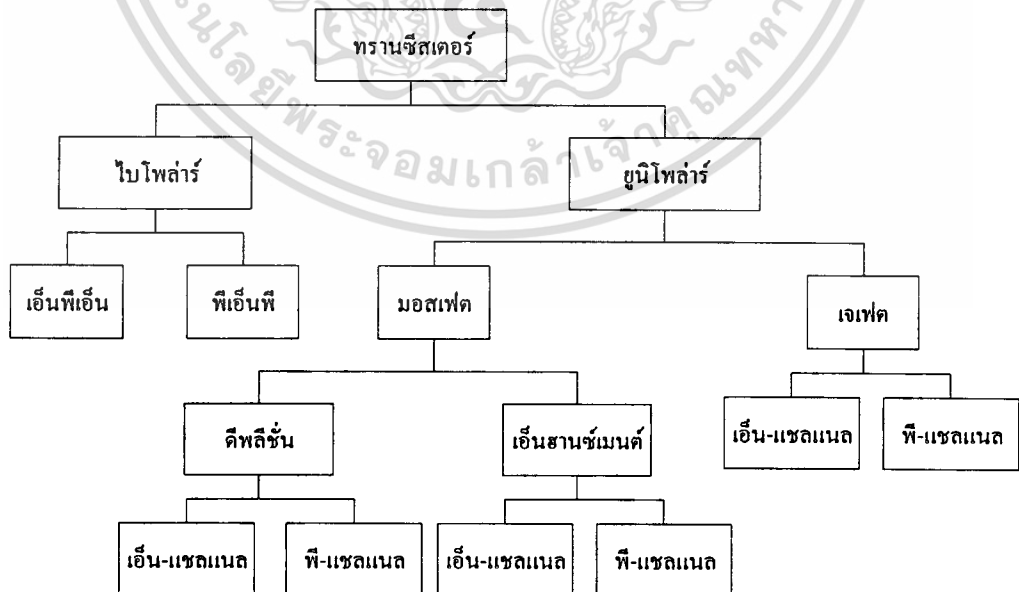
บทที่ 5 จะเป็นบทสรุปของงานที่นำเสนอ และข้อเสนอแนะ นอกจากนี้ในภาคผนวก ก. จะเป็นรายละเอียดเกี่ยวกับ โมเดล พารามิเตอร์ (Model Parameter) ของมอสทรานซิสเตอร์แบบเอ็นชานซ์เมนต์ ทั้งชนิด NMOS และ PMOS ซึ่งได้ใช้ในการจำลองการทำงานของวงจร และภาคผนวก ข. จะเป็นผลงานวิจัยที่ได้รับการตีพิมพ์ระหว่างการศึกษา

บทที่ 2

ทฤษฎีของทรานซิสเตอร์สนามไฟฟ้า

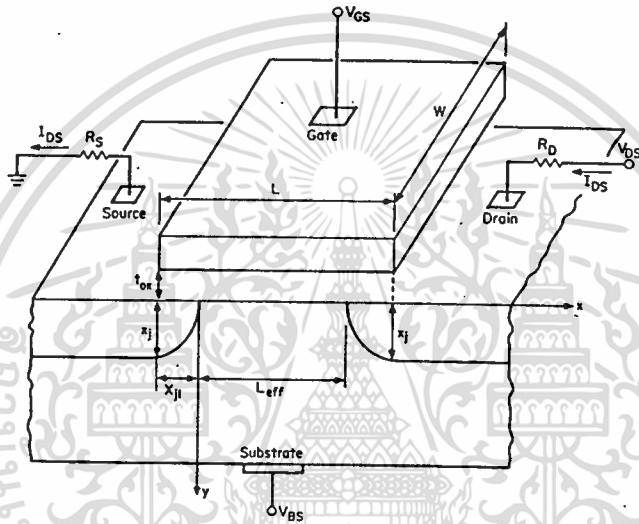
2.1 กล่าวนำ

เทคโนโลยีที่นิยมใช้ในการออกแบบวงจรรวมหรือ ไอซี (Integrated circuits) มีอยู่ 2 ชนิดคือ ไบโพลาร์ (Bipolar) และ มอส (MOS)เทคโนโลยี [10-12] โดยไบโพลาร์ทรานซิสเตอร์ (Bipolar Junction Transistor : BJT) เป็นการใช้พาหะในการนำกระแสถึงสองชนิดด้วยกัน คือ โฮล (hole) และอิเล็กตรอน (electron) เป็นพาหะ แบ่งออกได้สองชนิด ได้แก่ เอ็นพีเอ็น (NPN) และ พีเอ็นพี (PNP) ทรานซิสเตอร์ ส่วนมอสทรานซิสเตอร์จะอาศัยพาหะชนิดเดียวเท่านั้นในการนำกระแส ซึ่งอาจจะเป็นโฮล หรือ อิเล็กตรอนก็ได้ จึงเรียกว่ายูนิโพลาร์ทรานซิสเตอร์ และเนื่องจากการทำงานของทรานซิสเตอร์ ชนิดนี้จะอาศัยสนามไฟฟ้าเป็นหลักจึงเรียกทรานซิสเตอร์ประเภทนี้ว่า ทรานซิสเตอร์สนามไฟฟ้า (Field Effect Transistor : FET) สามารถแบ่งแยกประเภทได้อย่างคร่าวๆ เป็น เจเฟต (Junction Field Effect Transistor : JFET) และ มอสเฟต (Metal Oxide Semiconductor Field Effect Transistor : MOSFET) โดยมอสเฟตมีโหมดการทำงานหลักอยู่ 2 โหมดคือ ดิพลีชัน โหมด (Depletion mode) และเอ็นฮานซ์เมนต์ โหมด (Enhancement mode) ทั้งนี้ในแต่ละประเภทของเฟต สามารถแบ่งแยกออกได้อีกเป็นชนิด เอ็นแชนแนล (N-channel) และ พีแชนแนล (P-channel) ดังรูปที่ 2.1



2.2 โมสทรานซิสเตอร์

มอสเฟตเป็นเฟตชนิดหนึ่งที่มีชั้นซิลิกอนไดออกไซด์ (SiO_2) บางๆ กั้นอยู่ระหว่างขั้วโลหะของเกต (Gate) กับเนื้อสารกึ่งตัวนำ และมีขั้วต่อทั้งสิ้นจำนวน 4 ขั้ว (four terminals) ซึ่งการไหลของกระแสจะถูกควบคุมโดยสนามไฟฟ้าในแนวตั้งบนแรงดันที่ปรากฏภายนอก ลักษณะของมอสเฟต แสดงดังรูป 2.2 เมื่อขั้วทั้งสี่ ถูกออกแบบมาเป็นซอร์ส (Source : S) ซาเดรน (Drain : D) ซาเกต (Gate : G) และฐานรอง (Substrate : B) หรือ Body หรือ บัลด (Bulk) ที่เป็นซิลิกอน

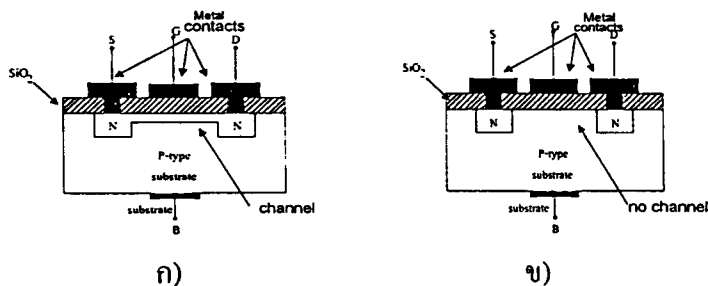


รูปที่ 2.2 โครงสร้างของมอสทรานซิสเตอร์

2.3 ชนิดและประเภทของมอสทรานซิสเตอร์

มอสทรานซิสเตอร์ แบ่งออกได้ 2 แบบ จากลักษณะการเกิดแชนแนล ซึ่งขึ้นอยู่กับว่าสิ่งประดิษฐ์นั้น เมื่อให้ไบอัสเป็นศูนย์จะนำกระแส (Depletion) หรือไม่นำกระแส (Enhancement) นั่นคือ

- 1 แบบดีพลีชัน โมด (Depletion mode)
- 2 แบบเอ็นฮานซ์เมนต์ โมด (Enhancement mode)



รูปที่ 2.3 ข้อแตกต่างของมอสทรานซิสเตอร์ทั้งสองแบบ ก) Depletion ข) Enhancement

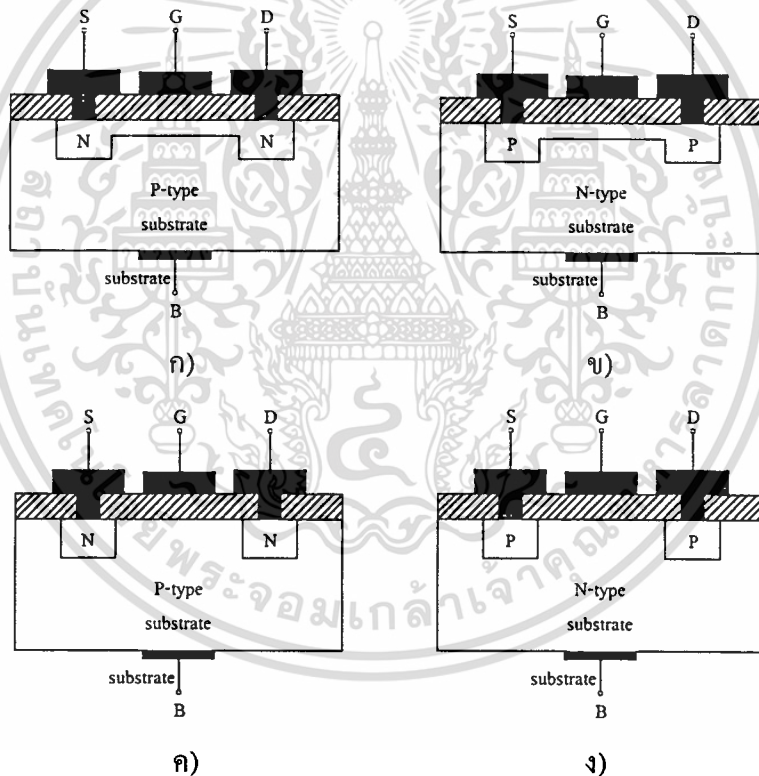
เอกสารนี้เป็นเอกสารที่สงวนลิขสิทธิ์ไว้สำหรับใช้ในการเรียนการสอนเพื่อการศึกษาเท่านั้น เมื่ออนุญาตให้นำไปใช้

ไม่ว่ากรณีใดๆทั้งสิ้น อีกทั้งห้ามมิให้ตัดแปลงเนื้อหา และต้องอ้างอิงถึงเจ้าของเอกสารทุกครั้งที่มีการนำไปใช้

จากรูปจะเห็นได้ว่าโครงสร้างของแบบคิพลิซัน จะมีลักษณะคล้ายกันกับแบบเอ็นฮานเม็นซ์ จะมีข้อแตกต่างกันตรงที่ช่องว่าง(Channel) ระหว่างขาซอสกับขาเดรน ในแบบคิพลิซัน จะมีการแพร่สารกึ่งตัวนำชนิด เอ็น หรือ ชนิดพี อยู่(รูปที่แสดงนี้เป็นชนิดเอ็น) ทำให้มีกระแสไหลระหว่างเดรนกับซอส เมื่อกำหนดความต่างศักย์ที่เดรนเป็นบวกเทียบกับซอส ($V_{DS} = +$) และความต่างศักย์ระหว่างเกตกับซอสเป็นศูนย์ ($V_{GS} = 0$) นอกจากนี้ในแต่ละแบบที่กล่าวมา ยังสามารถแบ่งออกได้อีก 2 ชนิด ตามลักษณะของพาหะที่ใช้ในการนำกระแสคือ

1 มอสเฟตชนิดช่องทางเดินกระแสชนิดเอ็น (N-channel) หรือ NMOS ใช้อิเล็กตรอนในการนำกระแส

2 มอสเฟตชนิดช่องทางเดินกระแสชนิดพี (P-channel) หรือ PMOS ใช้โฮลในการนำกระแส



รูปที่ 2.4 ก) N-channel แบบ Depletion MOSFET

ข) P-channel แบบ Depletion MOSFET

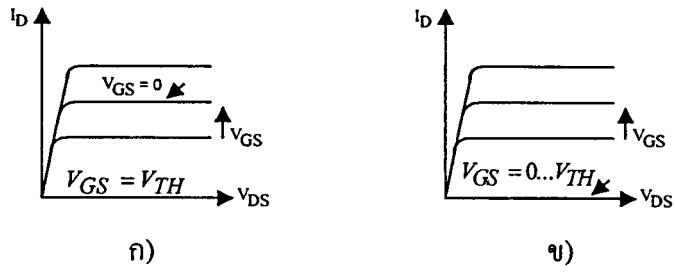
ค) N-channel แบบ Enhancement MOSFET

ง) P-channel แบบ Enhancement MOSFET

2.4 โครงสร้างและการทำงาน

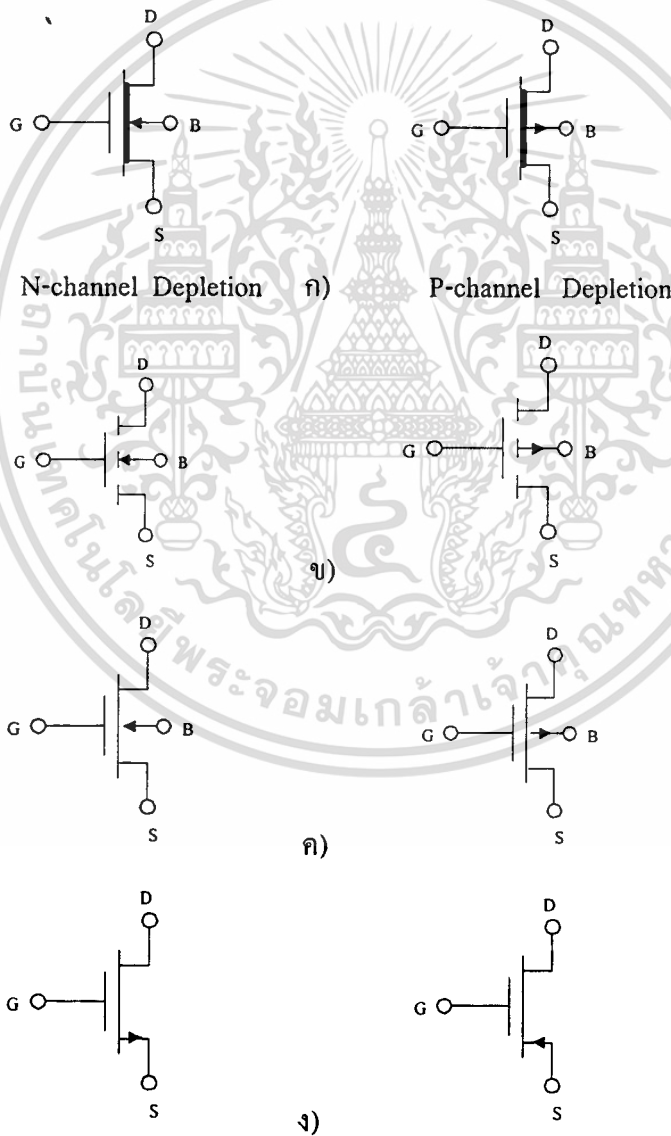
มอสเฟตแบบดีพลีชัน ชนิด N-channel หรือ NMOS ประกอบด้วยปลายอิเล็กโทรดเรก (Drain) และซอส (Source) ที่มีปลายทั้งสองข้างต่ออยู่กับสารกึ่งตัวนำชนิดเดียวกัน ซึ่งเป็นชนิด N บางๆที่ต่อถึงกันในลักษณะแซนแนล วางอยู่บนผิวหน้าของฐานรอง (Substrate) ชนิด P จากนั้นจึงวางอิเล็กโทรดเกต (Gate) ซึ่งเป็นโลหะเหนี่ยวนำของแซนแนลชนิด N ซึ่งกันด้วยแผ่นฉนวนบางๆของซิลิกอนไดออกไซด์ (SiO_2) ดังรูป 2.4 ก ในทำนองเดียวกันถ้าเปลี่ยนสารที่ฐานรองเป็นชนิด N แทน และมีแซนแนลที่วางอยู่บนผิวหน้าของฐานรองเป็นชนิด P จะเรียกมอสเฟตชนิดนี้ว่ามอสเฟตแบบดีพลีชัน ชนิด P-channel หรือ PMOS ดังรูป 2.4 ข ส่วนมอสเฟตแบบเอ็นฮานเม้นซ์ ชนิด N-channel และ P-channel มีขบวนการสร้างเช่นเดียวกันกับการสร้างมอสเฟตแบบดีพลีชันชนิด N- และ P Channel ตามลำดับทุกประการ แตกต่างกันเฉพาะในส่วนการสร้างแซนแนลเท่านั้น โดยแบบเอ็นฮานเม้นซ์นั้น ส่วนของแซนแนลจะไม่ต่อถึงกัน โดยที่มีระยะห่างหรือความยาวของแซนแนล(Channel Length)เกิดขึ้นเป็น L และมีความกว้างของแซนแนล (Channel Width) เป็น W ดังรูป 2.2 และ 2.4 ค, ง ตามลำดับ

มอสเฟตแบบดีพลีชัน สามารถทำงานได้ 2 แบบ ขึ้นอยู่กับการให้ไบอัส กล่าวคือถ้าให้ไบอัสย้อนกลับ (reverse bias) จะทำงานในย่านดีพลีชัน แต่ถ้าให้ไบอัสตรง (forward bias) จะทำงานในย่านเอ็นฮานเม้นซ์ โดยมีแรงดันไบอัสที่เกตซอส V_{GS} ควบคุมการไหลของกระแสเดรน I_D ที่เกิดขึ้น จะเห็นได้ว่ามอสเฟตชนิดนี้สามารถควบคุมการไหลของกระแสเดรนโดยการให้ไบอัสแรงดันที่เกตซอส (V_{GS}) เป็นได้ทั้งไบอัสตรงและไบอัสย้อนกลับ ดังกราฟแสดงคุณลักษณะของกระแสเดรน ส่วนมอสเฟตแบบเอ็นฮานเม้นซ์ จะทำงานได้เฉพาะไบอัสตรงเท่านั้น ตัวอย่างกรณีมอสเฟตแบบ N-channel เมื่อ V_{GS} มีค่าเป็นลบหรือศูนย์ (reverse bias) จะไม่มีกระแสเดรนเกิดขึ้น เพราะไม่มีทางผ่านกระแสจากขาเดรนไปยังขาซอส แต่ถ้ามีแรงดันบวกค่าหนึ่งป้อนเข้าที่ขาเกต ($V_{GS} = +$) ทำให้เกิดแซนแนลระหว่างขาเดรนกับขาซอสขึ้นขนาดหนึ่ง ซึ่งทำให้เกิดการไหลของกระแสเดรนจำนวนหนึ่ง และถ้าเพิ่มแรงดัน V_{GS} มีค่าบวกมากขึ้น แซนแนลจะโตขึ้น กระแสเดรนไหลได้มากขึ้น กรณีนี้เป็นการไหลของกระแสอิเล็กตรอน ส่วนกรณีของมอสเฟตแบบเอ็นฮานเม้นซ์ ชนิด P-channel มีการทำงานเช่นเดียวกัน เพียงแต่แรงดันที่ให้เกตและซอสเป็นแรงดันตรงข้าม และการไหลของกระแสเดรนเป็นการไหลของกระแสโฮลดังกราฟแสดงคุณลักษณะของกระแสเดรน

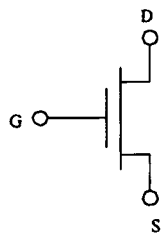


รูปที่ 2.5 กราฟคุณลักษณะของกระแสเดรน แบบ N - Channel ก) Depletion ข) Enhancement

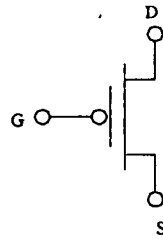
2.4.1 สัญลักษณ์ (Symbols)



เอกสารนี้เป็นเอกสารที่สงวนไว้สำหรับการใช้งานเพื่อการศึกษาเท่านั้น ไม่อนุญาตให้นำไปใช้ประโยชน์ด้านการค้า
ไม่ว่ากรณีใดๆทั้งสิ้น อีกทั้งห้ามมิให้ตัดแปลงเนื้อหา และต้องอ้างอิงถึงเจ้าของเอกสารทุกครั้งที่มีการนำไปใช้



N-channel Enhancement



P-channel Enhancement

รูปที่ 2.6 สัญลักษณ์ของมอสทรานซิสเตอร์

ในวิทยานิพนธ์นี้ จะใช้สัญลักษณ์ดังรูปที่ 2.6 ก , ง และเป็นชนิดเอ็นแชนเม้นซ์เป็นหลัก ยกเว้น แต่จะมีการระบุเป็นชนิดอื่น

2.5 แรงดันขีดเริ่ม (Threshold voltage : V_{TH})

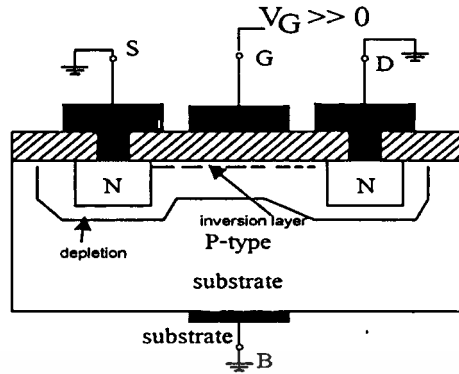
การทำงานของมอสทรานซิสเตอร์ใน โมดเอ็นแชนเม้นซ์ เมื่อไม่มีแรงดันป้อนที่ขาเกต ช่องทางเดินกระแสหรือแชนแนล(channel) ระหว่างเดรนกับซอส จะยังไม่มี การพิจารณาการเกิดช่องทางเดินกระแสพิจารณาจาก การต่อขาซอสกับเดรนลงกราวด์ และป้อนแรงดันที่เหมาะสมระหว่างเกตกับฐานรอง (V_{GB}) ซึ่งจะเกิดการเหนี่ยวนำของโฮลหรืออิเล็กตรอนในฐานรอง (ถ้าเป็น N-channel จะเป็นอิเล็กตรอน) ค่าแรงดัน V_{GB} ในสถานะต่างๆจะส่งผลต่อบริเวณการเกิดช่องทางเดินกระแส และค่าแรงดัน V_{GB} นี้จะเทียบกับค่าแรงดันแถบราบ (flat band voltage : V_{FB}) [9] โดยอยู่ภายใต้เงื่อนไข 3 ประการคือ

1. ถ้าค่าแรงดัน $V_{GB} = V_{FB}$ จะเกิดสภาพเป็นกลางทางไฟฟ้าบริเวณช่องทางเดินกระแส
2. ถ้าค่าแรงดัน $V_{GB} < V_{FB}$ จะเกิดประจุไฟฟ้าที่เป็นชนิดเดียวกับฐานรอง และรวมตัวกัน

บริเวณช่องทางเดินกระแส เรียกปรากฏการณ์นี้ว่าช่วงการสะสม (accumulation region)

3. ถ้าค่าแรงดัน $V_{GB} > V_{FB}$ จะเกิดบริเวณปลอดพาหะ (depletion region) และถ้าทำการเพิ่มแรงดันขึ้นอีก จะเกิดการรวมตัวกันของประจุที่เป็นชนิดตรงกันข้ามกับประจุบนฐานรอง เป็นผลให้เกิดช่องทางเดินกระแสขึ้น เรียกว่าการเกิดชั้นกลับ (Inversion layer) ซึ่งค่าแรงดันที่ป้อนแก่ขาเกตและฐานรองแล้วทำให้เกิดชั้นกลับ เรียกแรงดันนี้ว่าแรงดันขีดเริ่ม (Threshold voltage : V_{TH})

ค่าแรงดันขีดเริ่มนี้สามารถพิจารณาได้จากโครงสร้างภายในของมอสทรานซิสเตอร์ [9,10]



รูปที่ 2.7 การเกิดชั้นกลับ (Inversion layer) เมื่อป้อนแรงดันเข้าที่ขั้วเกต

จากการป้อนแรงดันระหว่างเกตและฐานรอง พบว่าประจุที่เกต Q_G เกิดขึ้นเท่ากับประจุที่พื้นผิว (Surface charge : Q_{SC}) ซึ่งเป็นประจุบริเวณด้านล่างติดกับ Oxide โดยมีค่าเป็น

$$Q_{SC} = -Q_G = -(V_{GB} - V_{FB} - 2\phi_F) C_{OX} \quad (2.1)$$

โดยที่ V_{FB} คือ ค่าแรงดันแถบราบ (flat band voltage)

ϕ_F คือ ค่าแรงดันเฟอร์มี (Fermi potential)

C_{OX} คือ ความจุของออกไซด์ต่อหนึ่งหน่วยพื้นที่ (oxide capacitance per unit area)

ส่วนค่าของประจุพื้นผิว Q_{SC} จะมีค่าเท่ากับผลรวมของประจุในดีพลีชัน Q_B กับประจุในชั้นกลับ Q_I ดังนั้นเมื่อนำความสัมพันธ์นี้แทนลงในสมการ (2.1) จะได้ว่า

$$V_{GB} = V_{FB} + 2\phi_F - \left(\frac{Q_B + Q_I}{C_{OX}} \right) \quad (2.2)$$

กรณีการเริ่มต้นในการเกิดชั้นกลับ (onset of inversion) จะประมาณว่า $Q_S \approx Q_B$ และค่าแรงดัน V_{GB} ค่านี้คือค่าแรงดันขีดเริ่ม V_{TH} จึงเขียนสมการ (2.2) ใหม่ได้เป็น

$$V_{TH} = V_{FB} + 2\phi_F - \frac{Q_B}{C_{OX}} \quad (2.3)$$

โดยทั่วไปแล้วค่าแรงดันขีดเริ่มจะรวมผลของบอดีเอฟเฟกต์ (body effect) ไว้ด้วยคือ ประโยชน์ด้านการคำนวณว่ากรณีใดๆทั้งสิ้น อีกทั้งห้ามมิให้ตัดแปลงเนื้อหา และต้องอ้างอิงถึงเจ้าของเอกสารทุกครั้งที่มีการนำไปใช้

$$V_{TH} = V_{FB} + 2\phi_F + \gamma \left\{ \sqrt{2\phi_F - V_{SB}} - \sqrt{2\phi_F} \right\} \quad (2.4)$$

$$= V_{T0} + \gamma \left\{ \sqrt{2\phi_F - V_{SB}} - \sqrt{2\phi_F} \right\} \quad (2.5)$$

γ ค่าสัมประสิทธิ์ของบอดีเอฟเฟกต์ (body effect coefficient) มีค่าเท่ากับ $\frac{\sqrt{2\epsilon_S q N_A}}{C_{OX}}$

โดยที่

q ค่าประจุอิเล็กตรอน มีค่าเท่ากับ 1.602×10^{-19} คูลอมป์

ϵ_S ค่าสภาพยอมของวัสดุ (material permittivity) มีค่าเป็น $\epsilon_r \epsilon_0$ ซึ่งค่า ϵ_r เป็นค่าคงที่ไดอิเล็กทริก (dielectric constant) และ ϵ_0 เป็นค่าสภาพยอมในสุญญากาศ (permittivity of free space) มีค่าเท่ากับ $8.85 \times 10^{-18} \frac{F}{\mu m}$

N_A ความเข้มข้นสารเจือ (impurity concentration)

V_{SB} ค่าแรงดันระหว่างขาซอส และฐานรอง

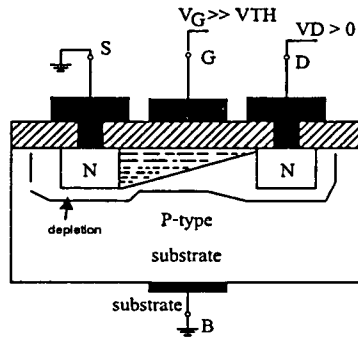
V_{T0} ค่าแรงดันขีดเริ่ม (กรณี $V_{SB} = 0$)

และจะได้

$$V_{T0} = V_{TH} \quad \text{เมื่อ } V_{SB} = 0 \quad (2.6)$$

2.6 การนำกระแสและขอบเขตการทำงาน

จากหัวข้อที่ผ่านมา เมื่อป้อนแรงดันที่มีค่าเท่ากับแรงดันขีดเริ่มเข้าที่ขาเกต และฐานรอง จะทำให้เกิดชั้นกลับหรือช่องทางเดินกระแสขึ้น แต่ไม่ทำให้กระแสไหลภายในตัวมอสทรานซิสเตอร์ได้ จึงจำเป็นต้องมีการป้อนแรงดันควบคุมเพื่อทำให้เกิดการไหลของกระแสจากเดรนไปซอส I_{DS} โดยค่าแรงดันควบคุมนี้คือ ค่าแรงดันระหว่างขาเดรนและขาซอส V_{DS} ซึ่งนอกจากจะทำให้เกิดการไหลของกระแสแล้วยังสามารถใช้กำหนดย่านการทำงานของมอสทรานซิสเตอร์ได้อีกด้วย ซึ่งจะได้อธิบายในลำดับต่อไป

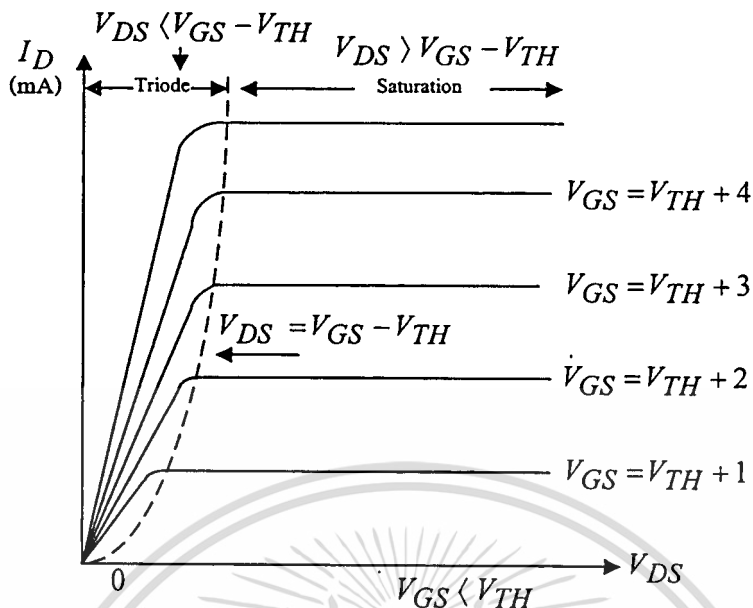


รูปที่ 2.8 การเกิดแซนแนลเมื่อป้อน V_{GS} และ V_{DS}

จากรูป 2.8 เมื่อทำการป้อนแรงดันขั้วระหว่างขาคูเรขาคณิตกับขอส (V_{DS}) ค่าน้อยๆจะทำให้อิเล็กตรอนเคลื่อนจากขอสไปยังคูเรขาคณิต ทำให้มีกระแสคูเรขาคณิต I_D ไหลจากคูเรขาคณิตไปยังขอสโดยขนาดของกระแสคูเรขาคณิตขึ้นอยู่กับความหนาแน่นของอิเล็กตรอนที่แซนแนล และขึ้นอยู่กับแรงดันเกตเทียบกับขอส (V_{GS}) กล่าวคือ ที่แรงดัน $V_{GS} = V_{TH}$ ในช่วงนี้ช่องทางเดินกระแสเพียงจะเริ่มเกิดขึ้น ดังนั้นกระแสคูเรขาคณิต I_D ที่ไหลจึงมีค่าน้อย และถ้าแรงดัน $V_{GS} > V_{TH}$ ก็จะเกิดอิเล็กตรอนในแซนแนลมากขึ้นทำให้กระแส I_D มากขึ้นด้วย แต่ถ้าให้แรงดัน V_{GS} มีค่าคงที่ค่าหนึ่ง และมากกว่าค่าแรงดันขีดเริ่ม V_{TH} แล้วทำการเพิ่มค่าแรงดันคูเรขาคณิต (V_{DS}) ให้มากขึ้น จะพบว่าค่าแรงดัน V_{DS} จะตกคร่อมตามความยาวของแซนแนล ซึ่งแรงดัน V_{DS} จะเพิ่มขึ้นจาก 0 ถึง V_{DS} จะทำให้แรงดันเกตและจุด... ไปตามแซนแนลจะลดลงจาก $V_{GS} - V_{DS}$ เนื่องจากความลึกของแซนแนลจะขึ้นอยู่กับแรงดันดังกล่าว จึงทำให้ที่ขอสจะลึกมากที่สุด และตื้นสุดที่ปลายคูเรขาคณิต ดังรูป 2.8

เมื่อแรงดัน V_{DS} เพิ่มขึ้นจนระดับแรงดันที่ตกกับแซนแนลที่คูเรขาคณิตมีค่าเท่ากับ V_{TO} หรือ $V_{DS} = V_{GS} - V_{TO}$ จะเกิดปรากฏการณ์เรียกว่า Pinched-off การเพิ่มแรงดัน V_{DS} มากกว่านี้จะไม่ส่งผลต่อกระแสคูเรขาคณิต ซึ่ง I_D จะคงที่ ที่ $V_{DS} = V_{GS} - V_{TO}$ กระแสคูเรขาคณิต I_D จะอิมิตัวที่ค่า V_{DS} ดังกล่าว และมอสทรานซิสเตอร์จะเข้าสู่ย่านอิมิตัว โดยแรงดัน V_{DS} ที่ทำให้เกิดการอิมิตัวจะเขียนแทนด้วย $V_{DS_{sat}}$

$$V_{DS_{sat}} = V_{GS} - V_{TO} \quad (2.7)$$



รูปที่ 2.9 กราฟความสัมพันธ์ของกระแส I_D กับแรงดัน V_{DS}

สามารถเขียนความสัมพันธ์ของกระแสเกรน (I_D) กับค่าแรงดันเกต-ซอส (V_{GS}) และค่าพารามิเตอร์ต่างๆของมอสทรานซิสเตอร์ [11] เป็น

$$I_D = K \frac{W}{L} \left[(V_{GS} - V_{TH}) - \frac{V_{DS}}{2} \right] V_{DS} \quad \text{เมื่อ } V_{GS} \geq V_{TH} \quad (2.8)$$

โดยที่

K คือค่าทรานส์คอนดักแตนซ์ (Transconductance) มีค่าเท่ากับ μC_{OX}

μ คือค่าความคล่องตัวของผิว (Surface Mobility) ขึ้นอยู่กับสารชนิดเอ็น (อิเล็กตรอน μ_e) หรือชนิดพี (โฮล μ_h)

C_{OX} คือค่าความจุต่อพื้นที่ของเกตออกไซด์

W คือค่าความกว้างของแชนแนล (Channel width)

L คือค่าความยาวของแชนแนล (Channel length)

V_{GS} คือค่าแรงดันระหว่างเกตกับซอส

V_{TH} คือค่าแรงดันขีดเริ่ม (Threshold voltage)

V_{DS} คือค่าแรงดันระหว่างเกรนกับซอส

I_D คือค่ากระแสเกรน (Drain current)

V_{SB} คือค่าแรงดันที่ซอสกับฐานรอง (Source-Bulk voltage)

N_A คือค่าความหนาแน่นของอะตอมสารเจือในฐานรอง (Substrate Doping)

สำหรับ P-Channel มอสทรานซิสเตอร์ จะถูกนำไปใช้งานได้เช่นเดียวกับ N-Channel มอสทรานซิสเตอร์ กล่าวคือ พีมอสทรานซิสเตอร์จะมีย่านการทำงานเช่นเดียวกัน โดยการพิจารณาค่ากระแสก็จะใช้สมการกระแสเช่นเดียวกัน แต่จะแตกต่างกันในเรื่องของทิศทางกระแสไหลของกระแสตลอดจนแรงดันที่ใช้ โดยจะมีค่าตรงกันข้ามกัน และค่าความคล่องตัวในการเคลื่อนที่ได้ (mobility) ก็มีค่าแตกต่างกันซึ่งโดยปกติแล้วจะมีค่าความคล่องตัวในการเคลื่อนที่ได้ (mobility) ของพีเชนแนลจะมีค่าน้อยกว่าของเอ็นเชนแนล ประมาณ สองถึงสามเท่า

2.6.1 ขอบเขตการทำงาน

การจัดไบอัสการทำงานให้กับมอสทรานซิสเตอร์ สามารถพิจารณาได้ 3 ขอบเขต (Region) ขึ้นอยู่กับการพิจารณาค่าของ $(V_{GS} - V_{TH})$ ดังนี้

1. ย่านไม่นำกระแส (Cut-off region)

$$I_D = 0 \quad ; \quad V_{GS} - V_{TH} < 0 \quad (2.9)$$

2. ย่านไม่อิ่มตัว (Non-saturation region) หรือ (Linear region) หรือ (Triode-region) เป็นการให้ค่าแรงดัน V_{DS} มีค่าน้อยกว่าแรงดัน $(V_{GS} - V_{TH})$ มากๆ

$$I_D = K \frac{W}{L} \left[(V_{GS} - V_{TH}) V_{DS} - \frac{V_{DS}^2}{2} \right] ; \quad 0 < V_{DS} < V_{GS} - V_{TH} \quad (2.10)$$

เทอม $\frac{V_{DS}^2}{2}$ สามารถตัดทิ้งได้ เมื่อ $V_{DS} \ll V_{GS} - V_{TH}$ จะได้

$$I_D = K \frac{W}{L} [(V_{GS} - V_{TH}) V_{DS}] \quad (2.11)$$

3. ย่านอิ่มตัว (Saturation - region) เป็นการกำหนด $V_{DS} \geq V_{GS} - V_{TH}$ จะได้

$$I_{D_{sat}} = \frac{K W}{2 L} [(V_{GS} - V_{TH})^2] ; \quad 0 < V_{GS} - V_{TH} \leq V_{DS} \quad (2.12)$$

เอกสารนี้เป็นเอกสารที่สงวนลิขสิทธิ์หรือการใช้งานเพื่อการศึกษาเท่านั้น เมื่ออนุญาตให้นำไปใช้ประโยชน์ด้านการค้าไม่ว่ากรณีใดๆทั้งสิ้น อีกทั้งห้ามมิให้ตัดแปลงเนื้อหา และต้องอ้างอิงถึงเจ้าของเอกสารทุกครั้งที่มีการนำไปใช้

พบว่าสมการกระแสเดรนในช่วงอิ่มตัว $I_{D_{sat}}$ จะมีค่าคงที่ ไม่ขึ้นกับแรงดันที่เดรนกับซอส แต่จะขึ้นอยู่กับค่าของแรงดัน ($V_{GS} - V_{TH}$) ทำให้สมการเป็นไปตามคุณลักษณะของกฎกำลังสอง (Square-law Equation) ดังสมการที่ 2.12

สำหรับรายละเอียดเกี่ยวกับมอสทรานซิสเตอร์ก็ขออธิบายพอสังเขปเพียงแค่นี้ สำหรับในบทต่อไปจะเป็นการนำเอาคุณสมบัติของมอสที่ได้กล่าวไว้ในบทนี้ไปประยุกต์ใช้ต่อไป



บทที่ 3

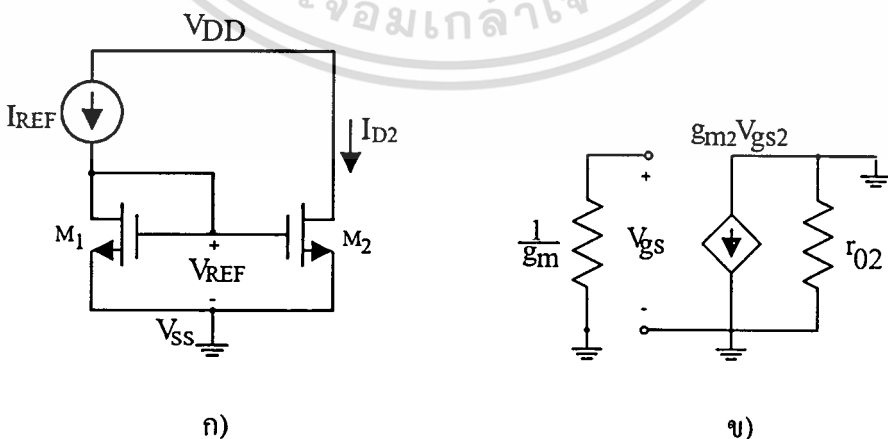
หลักการและการออกแบบวงจรความต้านทานที่เสนอ

3.1 กล่าวนำ

ในวิทยานิพนธ์นี้ เป็นการนำเสนอวงจรความต้านทานลอยตัว ที่ประกอบขึ้นจากมอสทรานซิสเตอร์ชนิดเอ็นฮานเม็นซ์ และมีวงจระสะท้อนกระแสเป็นส่วนประกอบอยู่ด้วย ดังนั้นก่อนที่จะกล่าวถึงหลักการและวงจรความต้านทานลอยตัวที่เสนอ จึงขอกกล่าวถึงวงจระและหลักการทำงานของวงจระสะท้อนกระแสก่อนพอสังเขป ก่อนที่จะนำไปใช้ในการออกแบบวงจรความต้านทานลอยตัวในลำดับต่อไป

3.2 แหล่งจ่ายกระแสคงที่ (Constant Current Source)

การทำงานของวงจระนาลอกโดยทั่วไป จำเป็นต้องมีการตั้งค่าหรือจัดไบอัสที่เหมาะสม เพื่อให้วงจระสามารถทำงานได้ตามที่ต้องการ แหล่งจ่ายไฟฟ้า (Power supply) จึงมีความสำคัญ เพราะเป็นส่วนประกอบในการตั้งไบอัสให้กับวงจระต่างๆ โดยแหล่งจ่ายที่ดี จะต้องให้คุณสมบัติใกล้เคียงกับค่าทางอุดมคติ กล่าวคือ สามารถจ่ายกระแสได้ตามที่กำหนด โดยไม่ขึ้นกับค่าตัวแปรและค่าพารามิเตอร์ใดๆ ของอุปกรณ์ [13] เช่นแรงดันที่ตกคร่อมหรือการเปลี่ยนแปลงของอุณหภูมิ เป็นต้น แต่แหล่งจ่ายกระแสในทางปฏิบัติ นั้น จะมีความแตกต่างจากแหล่งจ่ายกระแสตามอุดมคติ ซึ่งเกิดขึ้นเนื่องจากข้อจำกัดในตัวอุปกรณ์ สำหรับแหล่งจ่ายกระแสอย่างง่าย ๆ ที่ใช้งานในวงจระนาลอกมีลักษณะดังรูปที่ 3.1 (ก) และมีวงจระสมมูลของสัญญาณขนาดเล็กแสดงดังรูปที่ 3.1(ข)



รูปที่ 3.1 ก) แหล่งจ่ายกระแสอย่างง่าย ข) วงจระสมมูลของสัญญาณขนาดเล็ก

เอกสารนี้เป็นเอกสารที่สงวนไว้สำหรับการใช้งานเพื่อการศึกษาเท่านั้น ไม่อนุญาตให้นำไปใช้ประโยชน์ด้านการค้าไม่ว่ากรณีใดๆทั้งสิ้น อีกทั้งห้ามมิให้ตัดแปลงเนื้อหา และต้องอ้างอิงถึงเจ้าของเอกสารทุกครั้งที่มีการนำไปใช้

จากรูปวงจรแหล่งจ่ายกระแสตรงที่ง่าย หรือเรียกว่าวงจรสะท้อนกระแส ซึ่งทำหน้าที่สะท้อนกระแสจากอินพุต (I_{REF}) ไปยังเอาต์พุต (I_{D2}) โดยมีรูปแบบเหมือนเดิม(ทิศทาง) แต่ขนาดหรืออัตราส่วนของกระแส ขึ้นอยู่กับการกำหนดของผู้ออกแบบ สำหรับวงจรดังรูป 3.1 ประกอบด้วยมอสทรานซิสเตอร์ชนิด NMOS จำนวน 2 ตัว M_1, M_2 ซึ่งมีความสมพจน์กัน (ค่าแรงดันขีดเริ่ม (Threshold voltage : V_{TH}) ค่า mobility (μ) และ oxide capacitance (C_{OX}) ใกล้เคียงกัน) เมื่อสมมติให้ I_{REF} เป็นกระแสทางอินพุต และ I_{D2} เป็นกระแสทางเอาต์พุต ในการคำนวณสัญญาณขนาดใหญ่ นั้นสามารถไม่คิดผลของกระแสที่ไหลในความต้านทานทางเอาต์พุต ได้. และเมื่อกำหนดให้มอสทรานซิสเตอร์ M_1 และ M_2 ทำงานในช่วงอิ่มตัว (Saturation region) สามารถเขียนสมการกระแสครนได้เป็น

$$I_{D1} = I_{REF} = K_1 \left[\frac{W}{L} \right]_1 (V_{GS1} - V_{TO1})^2 (1 + \lambda V_{DS1}) \quad (3.1)$$

$$I_{D2} = I_{OUT} = K_2 \left[\frac{W}{L} \right]_2 (V_{GS2} - V_{TO2})^2 (1 + \lambda V_{DS2}) \quad (3.2)$$

จากสมการ (3.1) และ (3.2) เมื่อนำมาหาค่าอัตราส่วนของกระแสเอาต์พุต I_{OUT} ต่อกระแสอินพุต I_{REF} จะได้

$$\frac{I_{OUT}}{I_{REF}} = \frac{I_{D2}}{I_{D1}} = \frac{K_2 \left[\frac{W}{L} \right]_2 (V_{GS2} - V_{TO2})^2 (1 + \lambda V_{DS2})}{K_1 \left[\frac{W}{L} \right]_1 (V_{GS1} - V_{TO1})^2 (1 + \lambda V_{DS1})} \quad (3.3)$$

โดย K_1 และ K_2 เป็นค่าพารามิเตอร์ของมอสทรานซิสเตอร์ M_1 และ M_2 ตามลำดับ ซึ่งมีค่าเท่ากับ $\frac{\mu_n C_{OX}}{2}$ และ λ เป็นค่า แชนแนลเลงท์มอดูเลชัน (Channel length modulation) เมื่อสมมติว่าผลที่เกิดจากแชนแนลเลงท์มอดูเลชันมีค่าน้อยมากๆ ($\lambda V_{DS} \ll 1$) จะเขียนสมการ (3.3) ได้ใหม่เป็น

$$I_{OUT} = \frac{\left[\frac{W}{L} \right]_2}{\left[\frac{W}{L} \right]_1} I_{REF} \quad (3.4)$$

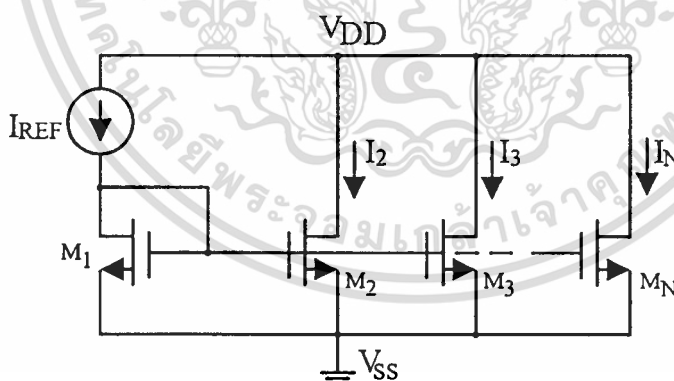
จากสมการนี้จะพบว่าในกรณีที่กำหนดให้ค่าอัตราส่วนของความกว้าง(W) ต่อความยาว(L) ของ แชนแนล $\left(\frac{W}{L}\right)$ ของทรานซิสเตอร์ทั้งสองเท่ากัน ค่าอัตราส่วนการขยายกระแสตามสมการ (3.4) จะมีค่าประมาณ หนึ่ง

$$\frac{I_{OUT}}{I_{REF}} = \frac{\left[\frac{W}{L}\right]_2}{\left[\frac{W}{L}\right]_1} \approx 1 \quad (3.5)$$

หรือ
$$I_{OUT} \approx I_{REF} \quad (3.6)$$

ดังนั้นถ้าต้องการให้อัตราการสะท้อนกระแสมีค่าเป็น 1:1 โดยประมาณ จะต้องกำหนดให้ค่า Aspect ratio $\left(\frac{W}{L}\right)_1$ เท่ากับ $\left(\frac{W}{L}\right)_2$ นั่นเอง และจากสมการ (3.4) แสดงให้เห็นว่า สามารถปรับค่า กระแสเอาต์พุต I_{OUT} ได้ด้วยการปรับอัตราส่วนความกว้าง ต่อความยาวของ M_1 และ M_2

ในกรณีที่ ต้องการกระแสทางเอาต์พุตมากกว่าหนึ่งทาง สามารถทำได้โดยการนำมอส ทรานซิสเตอร์มาต่อเพิ่มเข้าไปดังรูป 3.2



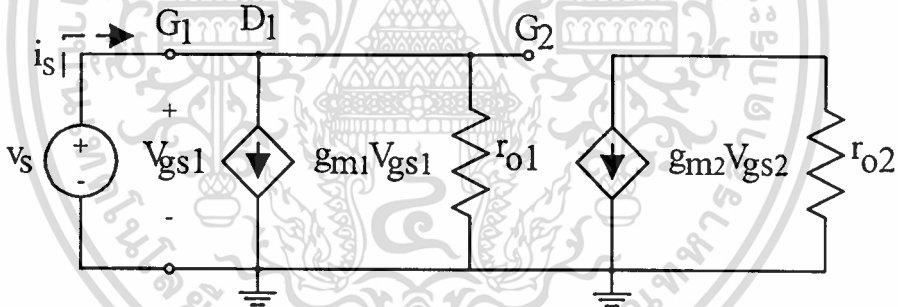
รูปที่ 3.2 แหล่งจ่ายกระแสหลายเอาต์พุต

จากรูป 3.2 หากสมมติว่าใช้เงื่อนไขในการวิเคราะห์แบบเดียวกับที่ผ่านมา จากความสัมพันธ์ใน สมการที่ (3.4) จะได้อัตราการขยายกระแสต่างๆ เป็น

$$I_k = \frac{(W/L)_k}{(W/L)_1} \cdot I_{REF} \quad (3.7)$$

โดยที่ $k = 2, 3, \dots, N$

ค่ากระแสเอาต์พุตสามารถนำไปใช้ได้โดยไม่ต้องคำนึงถึงผลกระทบของกระแสเกต ดังเช่นในกรณีของวงจรที่ใช้ไบโพลาร์ทรานซิสเตอร์ที่ต้องคำนึงผลกระทบจากกระแสเบส ทั้งนี้เพราะค่ากระแสที่ไหลผ่านเกตมีค่าเป็นศูนย์ อย่างไรก็ตามแหล่งจ่ายกระแสแบบพื้นฐานดังรูป 3.1 และ 3.2 ก็มีข้อเสียบางประการ สำหรับวงจรที่ต้องการค่ากระแสที่ถูกต้องหรือมีอัตราขยายกระแสเป็นหนึ่ง อันเนื่องมาจากค่าความต้านทานที่แต่ละเอาต์พุตมีค่าจำกัด การหาค่าความต้านทานอินพุตและความต้านทานเอาต์พุตของวงจรทำได้โดยใช้แบบจำลองสัญญาณขนาดเล็ก (Small Signal model) สำหรับวงจรรูปที่ 3.1 สามารถหาค่าความต้านทานทางด้านอินพุตโดยใช้วงจรเทียบเคียงแสดงดังรูป 3.3



รูปที่ 3.3 แบบจำลองของวงจรตามรูป 3.1 เพื่อหาค่าความต้านทานอินพุต

การหาค่าความต้านทานอินพุตทำได้โดยป้อนแรงดัน v_s เข้าที่อินพุต แล้วหากระแส i_s ที่ไหลผ่านวงจรจะได้

$$\begin{aligned} i_s &= \frac{v_s}{r_{o1}} + g_{m1} \cdot V_{gs1} \\ &= \frac{v_s}{r_{o1}} + g_{m1} \cdot v_s \\ &= v_s \left(\frac{1}{r_{o1}} + g_{m1} \right) \end{aligned} \quad (3.8)$$

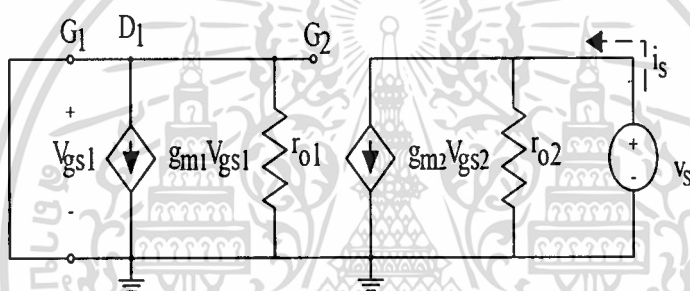
เอกสารนี้เป็นเอกสารที่สงวนไว้สำหรับการใช้งานเพื่อการศึกษาเท่านั้น ไม่อนุญาตให้นำไปใช้ประโยชน์ด้านการค้าไม่ว่ากรณีใดๆทั้งสิ้น อีกทั้งห้ามมิให้ตัดแปลงเนื้อหา และต้องอ้างอิงถึงเจ้าของเอกสารทุกครั้งที่มีการนำไปใช้

จะได้ความต้านทานอินพุตมีค่าเป็น

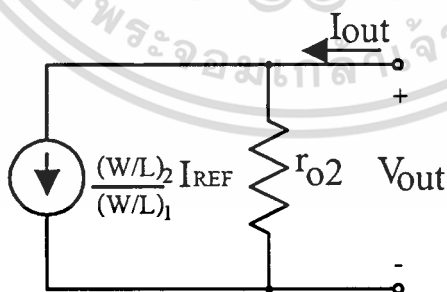
$$r_{in} = \frac{v_s}{i_s} = \frac{1}{\frac{1}{r_{o1}} + g_{m1}} \quad (3.9)$$

ทำนองเดียวกัน สามารถหาค่าความต้านทานเอาต์พุต r_{out} ได้จากวงจรตามรูปที่ 3.4 ซึ่งจะมีค่าเป็น

$$r_{out} = \frac{v_s}{i_s} = r_{o2} \quad (3.10)$$



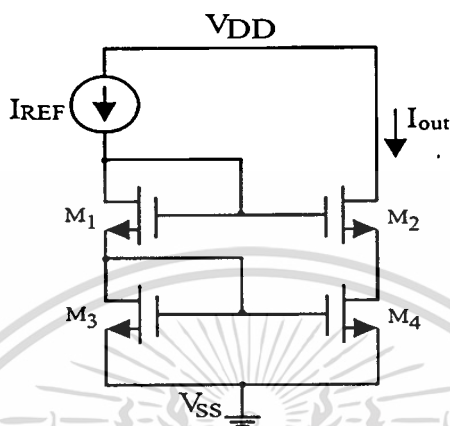
รูปที่ 3.4 แบบจำลองของวงจรตามรูป 3.1 เพื่อหาค่าความต้านทานเอาต์พุต



รูปที่ 3.5 วงจรสมมูลของแหล่งจ่ายกระแสทางเอาต์พุต

จะเห็นได้ว่าวงจรในรูปที่ 3.1 นั้น จะให้ค่าความต้านทานทางเอาต์พุตที่จำกัด กล่าวคือ มีค่าเป็น r_{o2} ของมอสทรานซิสเตอร์ M_2 เท่านั้น ซึ่งแหล่งจ่ายมีขนาดใหญ่ แต่ค่าความต้านทานของไม่ว่ากรณีใดๆ ทั้งสิ้น อีกทั้งห้ามมิให้ตัดแปลงเนื้อหา และต้องอ้างอิงถึงเจ้าของเอกสารทุกครั้งที่มีการนำไปใช้

แหล่งจ่ายมีขนาดเล็ก เพื่อแก้ปัญหาในเรื่องความต้านทานทางเอาต์พุตของแหล่งจ่ายซึ่งมีค่าน้อย จึงต้องวงจรรูป 3.6 เรียกว่าการต่อคาสโคด (Cascode) กัน ทั้งนี้เพื่อให้ความต้านทานทางเอาต์พุตมีค่าสูงขึ้น



รูปที่ 3.6 วงจรสะท้อนกระแสแบบคาสโคด

สามารถคำนวณหาค่าความต้านทานทางอินพุตและเอาต์พุตของวงจรโดยใช้เงื่อนไขรูป 3.1 จะได้ค่าความต้านทานทางอินพุต r_{in} และ ค่าความต้านทานทางเอาต์พุต r_{out} [14] เป็น

$$r_{in} = \frac{v_s}{i_s} = \frac{2}{\frac{1}{2r_o} + \frac{g_m}{2}} \quad (3.11)$$

โดย $g_{m1} = g_{m3} = g_m$

$$r_{o1} = r_{o3} = r_o$$

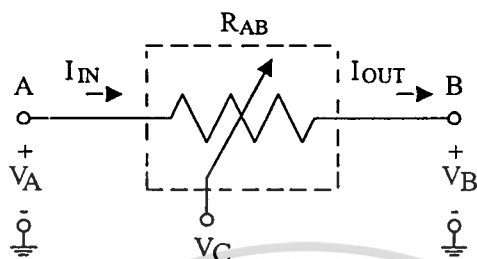
และได้ค่าความต้านทานทางเอาต์พุต r_{out} เป็น

$$r_{out} = \frac{v_s}{i_s} = r_{o2} + r_{o4} + g_{m4}r_{o2}r_{o4} (1 + \eta_4) \quad (3.12)$$

จะพบว่าสมการ (3.12) ให้ค่าความต้านทานทางเอาต์พุตสูงกว่าวงจรแบบพื้นฐาน จึงให้คุณสมบัติของแหล่งจ่ายกระแสได้ดีกว่า และมีเสถียรภาพที่ดีกว่า

3.3 หลักการของวงจรความต้านทานที่สร้างจากมอสทรานซิสเตอร์

แนวคิดพื้นฐานของตัวต้านทานลอยตัวปรับค่าได้ด้วยแรงดันแสดงดังรูปที่ 3.7



รูปที่ 3.7 หลักการวงจรความต้านทานลอยตัวปรับค่าได้ด้วยแรงดัน

จากรูปสมมติให้

โนด A และ โนด B เป็น โนดที่ปลายทั้งสองด้านของตัวต้านทาน

I_{IN} และ I_{OUT} เป็นกระแสที่ไหลเข้าและกระแสที่ไหลออก หรือ ค่ากระแสที่ไหลผ่านตัวต้านทาน ซึ่งจากคุณสมบัติของตัวต้านทาน จะได้ว่า

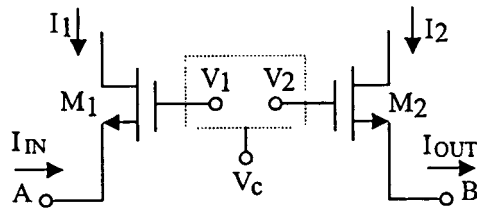
$$I_{IN} = I_{OUT} \quad (3.13)$$

V_C เป็นค่าแรงดันใช้สำหรับควบคุมหรือปรับเปลี่ยนค่าความต้านทาน

เมื่อกำหนดให้ศักย์ไฟฟ้าที่โนด A สูงกว่าศักย์ไฟฟ้าที่โนด B หรือกล่าวได้ว่า $V_A > V_B$ ดังนั้นทิศทางการไหลของกระแสไฟฟ้า จะไหลจากโนด A ไปยังโนด B ดังรูปที่ 3.7 และสามารถเขียนสมการค่าความต้านทานได้เป็น

$$R_{AB} = \frac{V_A - V_B}{I_{IN}} = \frac{V_A - V_B}{I_{OUT}} \quad (3.14)$$

ในวิทยานิพนธ์นี้ได้นำหลักการดังกล่าวข้างต้นนี้ออกแบบสร้างวงจรความต้านทาน โดยเริ่มจากการนำเอามอสทรานซิสเตอร์มาต่อกันดังรูปที่ 3.8

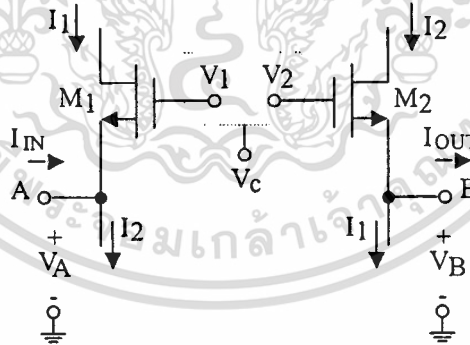


รูปที่ 3.8 โครงสร้างวงจรความต้านทานลอยตัวปรับค่าได้ด้วยแรงดันที่สร้างจากมอสทรานซิสเตอร์

จากรูป 3.8 ยังคงกำหนดให้ โหนด A และ โหนด B คือจุดปลายทั้งสองของตัวต้านทาน และสมมติว่าศักย์ไฟฟ้าที่ A (V_A) มีค่าสูงกว่าศักย์ไฟฟ้าที่ B (V_B) มอสทรานซิสเตอร์ M_1 และ M_2 เป็นชนิด NMOS โดยกำหนดให้ M_1 และ M_2 ทำหน้าที่สร้างกระแส I_1 และ I_2 ตามลำดับ และให้กระแสไหลเข้าที่โหนด A และไหลออกที่โหนด B ในที่นี้กำหนดให้กระแสอินพุต (I_{IN}) มีค่าเป็น

$$I_{IN} = I_2 - I_1 = I_{OUT} \quad (3.15)$$

ดังนั้นวงจรในรูปที่ 3.8 จึงสามารถเขียนใหม่ได้เป็น รูปที่ 3.9



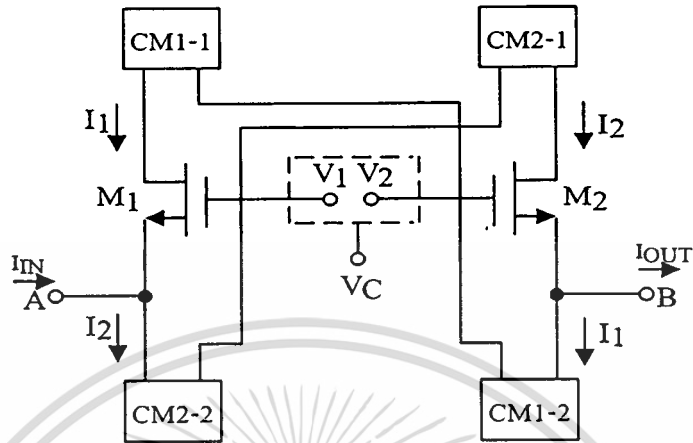
รูปที่ 3.9 ความสัมพันธ์ของกระแส I_{IN} และ I_{OUT}

ในกรณีนี้ ถ้าพิจารณาจากรูป 3.7 เทียบกับรูปที่ 3.9 แล้วจะพบว่า M_1 และ M_2 ทำหน้าที่เสมือนเป็นตัวต้านทาน (R) นั่นเอง

เพื่อให้กระแสอินพุตเป็นไปตามสมการ $I_{IN} = I_2 - I_1$ จึงต้องทำการสะท้อนกระแส I_2 ให้มาปรากฏทางด้านอินพุต และในทำนองเดียวกันเพื่อให้ค่ากระแสทางด้านเอาต์พุตมีค่าเป็น

$I_{OUT} = I_2 - I_1$ ด้วยค่าที่ จึงต้องทำการสะท้อนกระแส I_1 ไปยังเอาต์พุต ซึ่งจะได้ลักษณะการคำนวณที่เหมือนกันทุกประการ ไม่ต่างจากที่กล่าวถึงในตอนที่ 3.7 นี้ ไม่ไปยุ่งเอาที่พูดไป ซึ่งจะได้ลักษณะการคำนวณที่เหมือนกันทุกประการ ไม่ต่างจากที่กล่าวถึงในตอนที่ 3.7 นี้ ไม่ไปยุ่งเอาที่พูดไป ซึ่งจะได้ลักษณะการคำนวณที่เหมือนกันทุกประการ

ของวงจรเป็นดังบล็อกไดอะแกรมรูปที่ 3.10 โดยในที่นี้ตัวสะท้อนกระแสทุกตัวมีอัตราการสะท้อนกระแสเท่ากับหนึ่ง



รูปที่ 3.10 บล็อกไดอะแกรมของวงจรความต้านทานที่รวมส่วนการสะท้อนกระแส I_1 และ I_2

โดย

$CM1-1$ และ $CM1-2$ ทำหน้าที่สะท้อนกระแส I_1 ให้ได้เงื่อนงำที่กำหนด

$CM2-1$ และ $CM2-2$ ทำหน้าที่สะท้อนกระแส I_2 ให้ได้เงื่อนงำที่กำหนด

ต่อไปพิจารณาการจัดไบอัสแก่ M_1 และ M_2 โดยกำหนดให้มอสทรานซิสเตอร์ทำงานในช่วงอิมิตัว ในที่นี้กำหนดให้ V_1 และ V_2 เป็นแรงดันไบอัสแก่ M_1 และ M_2 ตามลำดับ สมการกระแสเดรนของมอสทรานซิสเตอร์ในช่วงอิมิตัว คือ

$$I_D = \frac{K}{2} \left(\frac{W}{L} \right) (V_{GS} - V_T)^2 \quad (3.16)$$

โดยที่ K คือ ค่าทรานส์คอนดักแตนซ์ (Transconductance) ของมอสทรานซิสเตอร์ มีค่าเท่ากับ

$$\mu C_{OX}$$

μ คือ ค่าความคล่องตัวของผิว (Surface Mobility)

C_{OX} คือ ค่าความจุต่อพื้นที่ของเกตออกไซด์

W คือ ความกว้างของแชนแนล

L คือ ความยาวของแชนแนล

เอกสารนี้เป็นเอกสารที่สงวนไว้สำหรับการศึกษาเท่านั้น ไม่อนุญาตให้นำไปใช้ประโยชน์ด้านการค้า

ไม่ว่ากรณีใดๆทั้งสิ้น อีกทั้งห้ามมิให้ดัดแปลงเนื้อหา และต้องอ้างอิงถึงเจ้าของเอกสารทุกครั้งที่มีการนำไปใช้

V_T = ค่าแรงดันขีดเริ่ม ในที่นี้ได้ กำหนดให้ขาของสกับขาจับสเตตต่อถึงกันทำให้
 $V_{SB} = 0$ เพื่อลดผลของ body effect

และจากรูปที่ 3.10 ได้กำหนดให้

$$V_{GS_{M1}} = V_1 - V_A \quad (3.17)$$

$$V_{GS_{M2}} = V_2 - V_B \quad (3.18)$$

ดังนั้นจากความสัมพันธ์ตามสมการ (3.16) ถึงสมการ (3.18) จะสามารถหาค่ากระแส I_1 และ I_2 ได้เป็น

$$I_1 = \frac{K_n}{2} \left(\frac{W}{L} \right) (V_1 - V_A - V_{T_n})^2 \quad (3.19)$$

$$I_2 = \frac{K_n}{2} \left(\frac{W}{L} \right) (V_2 - V_B - V_{T_n})^2 \quad (3.20)$$

โดยในที่นี้ K_n คือค่าพารามคอนคัตแดนซ์ของมอสทรานซิสเตอร์ชนิดเอ็นแชนแนล
 V_{T_n} คือค่าแรงดันเทรชโฮลของมอสทรานซิสเตอร์ชนิดเอ็นแชนแนล

แทนค่า I_1 และ I_2 จากสมการ (3.19) และ (3.20) ลงในสมการ (3.15) จะได้

$$\begin{aligned} I_{IN} &= I_2 - I_1 = \frac{K_n}{2} \left(\frac{W}{L} \right) (V_2 - V_B - V_{T_n})^2 - \frac{K_n}{2} \left(\frac{W}{L} \right) (V_1 - V_A - V_{T_n})^2 \\ &= \frac{K_n}{2} \left(\frac{W}{L} \right) \left[(V_2 - V_B - V_{T_n})^2 - (V_1 - V_A - V_{T_n})^2 \right] \end{aligned} \quad (3.21)$$

สมการ(3.21) อยู่ในเทอมยกกำลังสองลบกัน สามารถใช้สูตร

$$X^2 - Y^2 = (X - Y)(X + Y) \quad (3.22)$$

เอกสารนี้เป็นเอกสารที่สงวนไว้สำหรับการใช้งานเพื่อการศึกษาเท่านั้น ไม่อนุญาตให้นำไปใช้ประโยชน์ด้านการค้า
 ไม่ว่ากรณีใดๆทั้งสิ้น อีกทั้งห้ามมิให้ตัดแปลงเนื้อหา และต้องอ้างอิงถึงเจ้าของเอกสารทุกครั้งที่มีการนำไปใช้

ดังนั้นสมการที่(3.21) จะเขียนใหม่ได้เป็น

$$I_2 - I_1 = \frac{K_n}{2} \left(\frac{W}{L} \right) \left[(V_2 - V_1 - V_B + V_A)(V_1 + V_2 - V_B - V_A - 2V_{T_n}) \right] \quad (3.23)$$

จัดรูปใหม่จะได้

$$I_2 - I_1 = \frac{K_n}{2} \left(\frac{W}{L} \right) \left[(V_1 + V_2 - V_A - V_B - 2V_{T_n})(V_2 - V_1 + V_A - V_B) \right] \quad (3.24)$$

พิจารณา ค่าแรงดัน V_1 และ V_2 ซึ่งเป็นแรงดันไบอัสให้แก่มอสทรานซิสเตอร์ M_1 และ M_2 และกำหนดให้ทำงานในช่วงอิมิตัว เมื่อสมมติให้มีแรงดัน V_K เป็นส่วนหนึ่งของแรงดันที่ปรับเปลี่ยนค่าในการสร้างกระแส I_1 และ I_2 จึงกำหนดให้

$$V_1 = V_B - V_K \quad (3.25)$$

$$V_2 = V_A - V_K \quad (3.26)$$

จากสมการ (3.25) และสมการ (3.26) จะได้ว่า

$$V_1 + V_2 = V_A + V_B - 2V_K \quad (3.27)$$

และ

$$V_2 - V_1 = V_A - V_B \quad (3.28)$$

แทนค่าสมการ (3.27) และ (3.28) ลงในสมการ (3.24) จะได้

$$\begin{aligned} I_2 - I_1 &= \frac{K_n}{2} \left(\frac{W}{L} \right) \left[(V_A + V_B - V_A - V_B - 2V_K - 2V_{T_n})(V_A - V_B + V_A - V_B) \right] \\ &= \frac{K_n}{2} \left(\frac{W}{L} \right) \left[(-2V_K - 2V_{T_n})(2(V_A - V_B)) \right] \end{aligned} \quad (3.29)$$

ดังนั้นจะได้ว่า

เอกสารนี้เป็นเอกสารที่สงวนไว้สำหรับการใช้งานเพื่อการศึกษาเท่านั้น ไม่อนุญาตให้นำไปใช้ประโยชน์ด้านการค้าไม่ว่ากรณีใดๆทั้งสิ้น อีกทั้งห้ามมิให้ตัดแปลงเนื้อหา และต้องอ้างอิงถึงเจ้าของเอกสารทุกครั้งที่มีการนำไปใช้

$$I_2 - I_1 = 2K_n \left(\frac{W}{L} \right) [(-V_K - V_{T_n})(V_A - V_B)] \quad (3.30)$$

และ

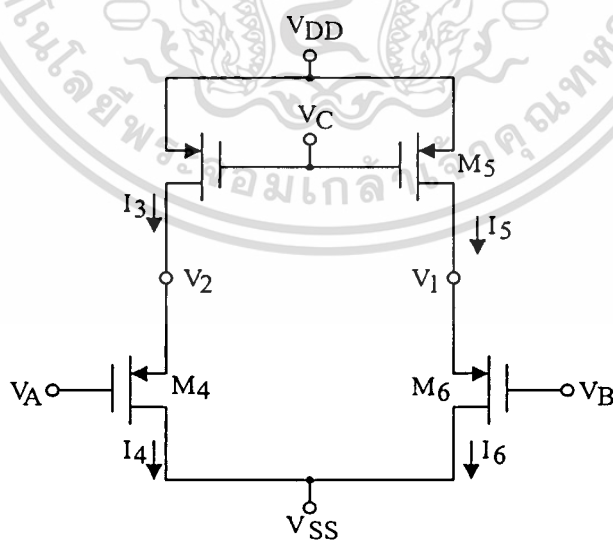
$$\frac{V_A - V_B}{I_2 - I_1} = \frac{1}{2K_n \left(\frac{W}{L} \right) (-V_K - V_{T_n})} \quad (3.31)$$

ซึ่งค่า $\frac{V_A - V_B}{I_2 - I_1}$ ก็คือค่าความต้านทานเสมือนที่มองจากขั้ว A ไปยังขั้ว B นั่นเอง ดังนั้นจะได้

$$R_{AB} = \frac{V_A - V_B}{I_2 - I_1} = \frac{1}{2K_n \left(\frac{W}{L} \right) (-V_K - V_{T_n})} \quad (3.32)$$

จากสมการ (3.32) จะพบว่าค่าความต้านทานที่ได้จะมีค่าเป็นบวก โดยค่าความต้านทานดังกล่าวขึ้นอยู่กับค่า $\left(\frac{W}{L} \right)$ ค่าทรานคอนดักแตนซ์ K_n และสามารถปรับค่าได้ด้วยแรงดัน V_K

พิจารณาค่าของแรงดัน V_K ซึ่งเป็นแรงดันที่ใช้ควบคุมค่าความต้านทาน R_{AB} ในสมการที่(3.32) พบว่าเป็นส่วนของชุดที่ทำหน้าที่จัดไบอัสแกมอสทรานซิสเตอร์ M_1 และ M_2 ผ่านทางแรงดัน V_1 และ V_2 ดังนั้นจึงได้ออกแบบวงจรไบอัสให้มีลักษณะดังรูป 3.11



รูปที่ 3.11 การจัดไบอัสแกมอสทรานซิสเตอร์ M_1 และ M_2

เอกสารนี้เป็นเอกสารที่สงวนไว้สำหรับการใช้งานเพื่อการศึกษาเท่านั้น ไม่อนุญาตให้นำไปใช้ประโยชน์ด้านการค้า ไม่ว่าจะกรณีใดๆทั้งสิ้น อีกทั้งห้ามมิให้ตัดแปลงเนื้อหา และต้องอ้างอิงถึงเจ้าของเอกสารทุกครั้งที่มีการนำไปใช้

จากรูปที่ 3.11 ใช้มอสทรานซิสเตอร์ชนิดพี(PMOS) จำนวน 4 ตัวโดยให้ทุกตัวทำงานในช่วงอิมิตัวเพื่อสร้างแรงดัน V_1 และ V_2 โดยแรงดัน V_1 ใช้จัดไบอัสแก่ M_1 และแรงดัน V_2 ใช้จัดไบอัสแก่ M_2 โดยแรงดัน V_2 นี้สร้างขึ้นจากมอสทรานซิสเตอร์สองตัวคือ M_3 และ M_4 ที่ต่อกันดังรูป โดยเมื่อกำหนดให้ มอสทรานซิสเตอร์ M_3 และ M_4 มีความสมพียงกัน จะได้สมการกระแสครนดังนี้

$$I_3 = \frac{K_p}{2} \left(\frac{W}{L} \right) \left((V_{DD} - V_C) + V_{T_p} \right)^2 \quad (3.33)$$

$$I_4 = \frac{K_p}{2} \left(\frac{W}{L} \right) \left((V_2 - V_A) + V_{T_p} \right)^2 \quad (3.34)$$

เนื่องจาก

$$I_3 = I_4 \quad (3.35)$$

ดังนั้น

$$\frac{K_p}{2} \left(\frac{W}{L} \right) \left((V_{DD} - V_C) + V_{T_p} \right)^2 = \frac{K_p}{2} \left(\frac{W}{L} \right) \left((V_2 - V_A) + V_{T_p} \right)^2 \quad (3.36)$$

$$V_{DD} - V_C + V_{T_p} = V_2 - V_A + V_{T_p} \quad (3.37)$$

$$V_{DD} - V_C = V_2 - V_A \quad (3.38)$$

จะได้ค่าแรงดัน V_2 เป็น

$$V_2 = V_{DD} - V_C + V_A \quad (3.39)$$

ในทำนองเดียวกันค่าแรงดัน V_1 จากรูป 3.11 สร้างขึ้นจากมอสทรานซิสเตอร์ชนิดพีสองตัวคือ M_5 และ M_6 โดยกำหนดให้มอสทรานซิสเตอร์ M_5 และ M_6 มีความสมพียงกัน และทำงานในช่วงอิมิตัวจะสามารถหาค่าของแรงดัน V_1 ได้จาก

$$I_5 = \frac{K_p}{2} \left(\frac{W}{L} \right) \left((V_{DD} - V_C) + V_{T_p} \right)^2 \quad (3.40)$$

$$I_6 = \frac{K_p}{2} \left(\frac{W}{L} \right) \left((V_1 - V_B) + V_{T_p} \right)^2 \quad (3.41)$$

เนื่องจาก

$$I_5 = I_6 \quad (3.42)$$

ดังนั้น

$$\frac{K_p}{2} \left(\frac{W}{L} \right) \left((V_{DD} - V_C) + V_{T_p} \right)^2 = \frac{K_p}{2} \left(\frac{W}{L} \right) \left((V_1 - V_B) + V_{T_p} \right)^2 \quad (3.43)$$

$$V_{DD} - V_C + V_{T_p} = V_1 - V_B + V_{T_p} \quad (3.44)$$

$$V_{DD} - V_C = V_1 - V_B \quad (3.45)$$

ซึ่งจะได้

$$V_1 = V_{DD} - V_C + V_B \quad (3.46)$$

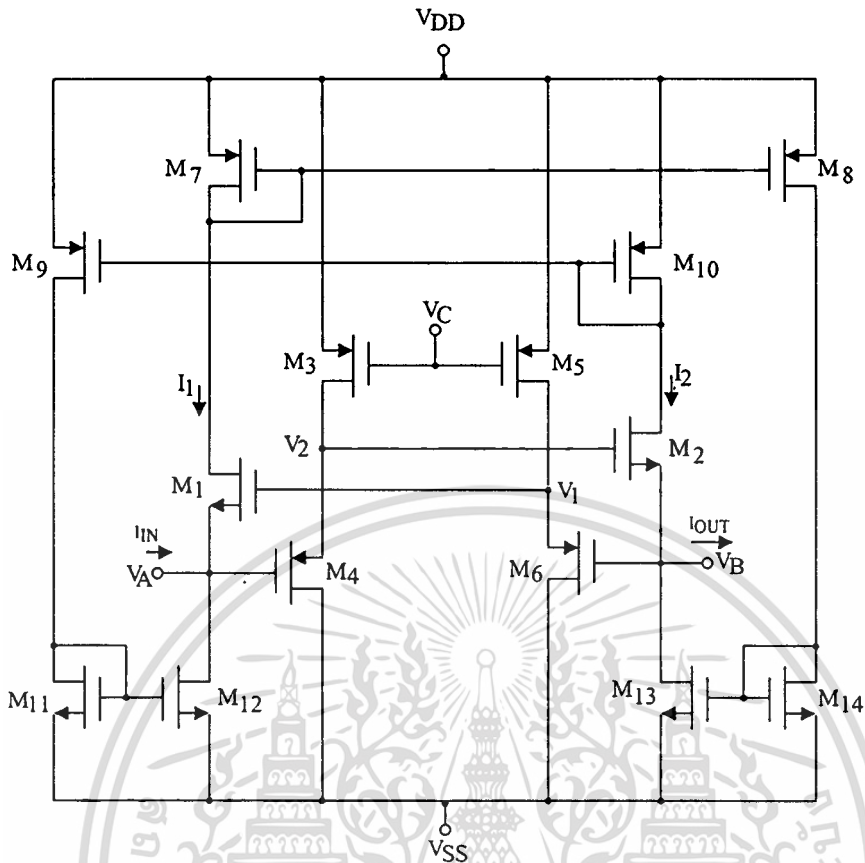
จากค่าของ V_1 และ V_2 จากสมการ (3.39) และ (3.46) เมื่อนำไปเปรียบเทียบกับค่าของ V_1 และ V_2 จากสมการ (3.25) และ (3.26) จะได้ว่าค่าของแรงดัน V_K ที่สมมติขึ้น คือ

$$V_K = V_C - V_{DD} \quad (3.47)$$

แทนค่าแรงดัน V_K ลงในสมการที่ (3.32) จะได้ค่าความต้านทาน R_{AB} เป็น

$$R_{AB} = \frac{1}{2K_n \left(\frac{W}{L} \right) (V_{DD} - V_C - V_{T_n})} \quad (3.48)$$

จากสมการ (3.48) นี้จะพบว่าค่าความต้านทานที่ได้สามารถปรับค่าได้ด้วยแรงดัน V_C และสามารถเขียนรูปวงจรมุมของวงจรรวมความต้านทานลอยตัวที่สร้างจากมอสทรานซิสเตอร์ชนิด NMOS ตามแนวคิดที่กล่าวมา ได้ดังรูปที่ 3.12



รูปที่ 3.12 วงจรสมบูรณของควมด้นทานลอยตัวแบบบวก ปรับค่าได้ด้วยแรงดัน ที่สร้างจาก NMOS

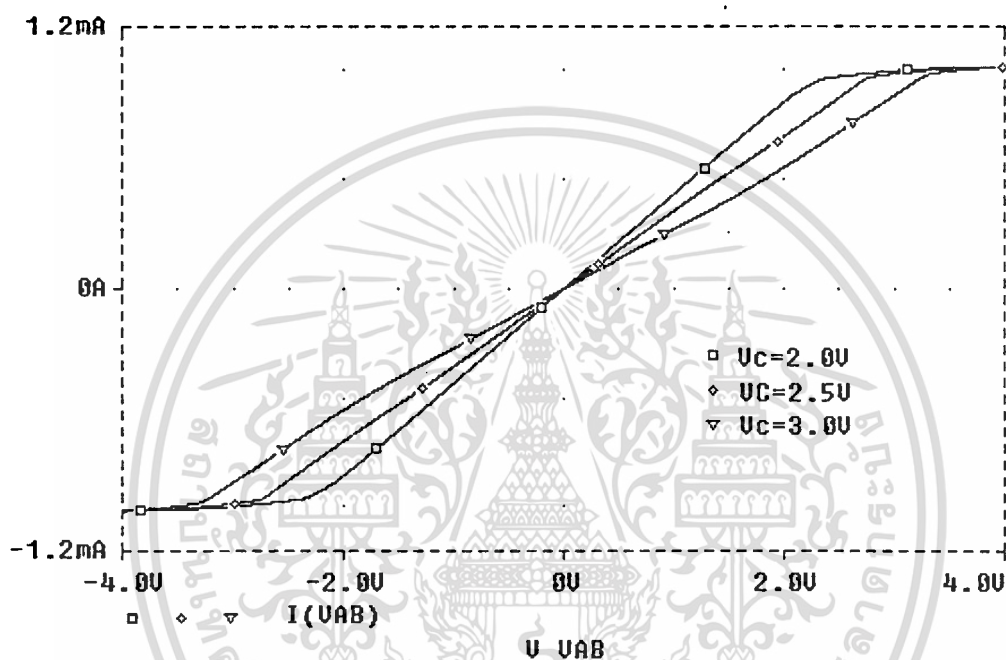
จากหลักการและการทำงานของวงจรควมด้นทานลอยตัวแบบบวกที่กล่าวมา เพื่อตรวจสอบการทำงาน จึงได้ทำการจำลองวงจรด้วยโปรแกรม PSpice โดยใช้ค่า Aspect ratio $\left(\frac{W}{L}\right)$ ดังตารางที่ 1

ตารางที่ 1 แสดงค่าอัตราส่วน $\left(\frac{W}{L}\right)$ ของมอสทรานซิสเตอร์ที่ใช้จำลองการทำงาน

มอสทรานซิสเตอร์	ค่า $W/L(\mu m)$
M_1-M_2	24/10
M_3-M_6	4/4
M_7-M_{14}	60/18

เอกสารนี้เป็นเอกสารที่สงวนไว้สำหรับการใช้งานเพื่อการศึกษาเท่านั้น ไม่อนุญาตให้นำไปใช้ประโยชน์ด้านการค้า ไม่ว่าจะกรณีใดๆทั้งสิ้น อีกทั้งห้ามมิให้ดัดแปลงเนื้อหา และต้องอ้างอิงถึงเจ้าของเอกสารทุกครั้งที่มีการนำไปใช้

และใช้ Model parameter ที่เป็นแบบจำลองของเทคโนโลยีซีมอส โดยมีค่าต่างๆแสดงในภาคผนวก ก. โดยในการจำลองนี้ใช้แหล่งจ่ายไฟ $V_{DD}=5V$ และ $V_{SS}=-5V$ เพื่อทดสอบหาความสัมพันธ์ระหว่างกระแสที่ไหลผ่านความต้านทาน ($I_{IN} = I_{AB} = I_2 - I_1$) กับแรงดันระหว่างโนด A และ โนด B (V_{AB}) และทำการปรับค่าแรงดันควบคุม V_C ค่าต่างๆกัน ได้ผลจากการจำลองดังรูปที่ 3.13



รูปที่ 3.13 ความสัมพันธ์ของค่ากระแส I_{AB} และแรงดัน V_{AB} ของวงจรรูปที่ 3.12

เมื่อสังเกตจากผลการจำลองการทำงานที่ได้ในรูปนี้ จะพบว่า กราฟให้ทิศทางของแรงดันและทิศทางของกระแสที่สัมพันธ์สอดคล้องกัน กล่าวคือ เมื่อแรงดันมีค่าเป็นบวก กระแสก็มีค่าเป็นบวก และเมื่อแรงดันมีค่าเป็นลบ ก็จะได้ค่ากระแสที่มีค่าเป็นลบด้วย ดังนั้นจึงให้ความสัมพันธ์ของกราฟเป็นความต้านทานแบบลอยตัว ที่มีความเป็นเชิงเส้นแบบบวก และค่าความต้านทานสามารถปรับค่าได้โดยค่าปรับค่าแรงดัน V_C และข้อมูลที่ได้จากผลการจำลองการทำงานในรูปนี้จะถูกนำไปใช้ในการอธิบายการออกแบบวงจรใหม่ในหัวข้อต่อไป

3.4 การปรับปรุงหรือการขยายช่วงแรงดันอินพุตปฏิบัติงานให้กว้างขึ้น

ผลการจำลองการทำงานดังรูปที่ 3.13 ซึ่งแสดงความสัมพันธ์ของกระแส I_{AB} และแรงดัน V_{AB} พบว่าเส้นกราฟที่ได้มีความเป็นเชิงเส้นที่มีค่าความชัน (Slope) เป็น $\frac{I_{AB}}{V_{AB}}$ ซึ่งหมายถึงค่าความนำ (Transconductance : G) หรืออาจกล่าวได้ว่าเป็นค่าส่วนกลับของค่าความต้านทาน (R) นั่นเอง กล่าวคือ

$$G_{AB} = \frac{I_{AB}}{V_{AB}} = \frac{1}{R_{AB}} \quad (3.49)$$

พิจารณาจากเส้นกราฟที่ได้ทุกเส้นจากรูปที่ 3.13 จะพบว่ามีช่วงอิมิตัวของกระแส I_{AB} อยู่ที่ประมาณ $\pm 1mA$ แต่ถ้าพิจารณาค่าของแรงดันอินพุต V_{AB} แล้วจะพบว่าถึงแม้จะมีค่ากระแสอิมิตัวที่ $\pm 1mA$ เช่นเดียวกัน แต่ช่วงของแรงดันอินพุตแต่ละเส้นจะไม่เท่ากัน หรือ กล่าวได้ว่าแต่ละเส้นสามารถใช้กับแรงดันอินพุตได้ไม่เท่ากัน นั่นคือเส้นที่โน้มเอียงไปทางแกน V_{AB} มาก ก็จะสามารถรับแรงดันอินพุตได้สูงขึ้น ในขณะที่ค่ากระแส I_{AB} ยังคงอิมิตัวอยู่ที่ $\pm 1mA$ ซึ่งเป็นสิ่งที่ดี เพราะสามารถนำไปใช้กับวงจรที่มีแรงดันอินพุตสูงได้ เมื่อพิจารณาจากกราฟความสัมพันธ์ของค่าแรงดันอินพุต V_{AB} เทียบกับค่าความชันหรือค่าความนำ (G_{AB}) จะพบว่าแรงดันอินพุตจะมีค่ามากขึ้นหรือใช้งานได้กว้างขึ้น ในขณะที่ค่าของความชันหรือค่าความนำมีค่าน้อยลง โดยจากรูป 3.13 พบว่ายิ่งความชันมีค่ามาก (เส้นที่อยู่ใกล้แกนกระแส I_{AB}) ค่าของแรงดันอินพุตใช้งานก็มีค่าน้อย ($\pm 1V$) แต่ในทางตรงกันข้าม ถ้าความชันของกราฟมีค่าลดลง (เส้นที่อยู่ใกล้แกน V_{AB}) ก็จะได้ช่วงของแรงดันอินพุตที่กว้างขึ้นหรือมีค่ามากขึ้นนั่นเอง จึงกล่าวได้ว่าค่าความชันหรือค่าความนำแปรผกผันกับค่าแรงดันอินพุตใช้งาน V_{AB} นั่นคือ ถ้าต้องการให้ความต้านทานที่สร้างขึ้นนี้สามารถใช้งานที่แรงดันอินพุตได้กว้างขึ้นหรือสูงขึ้น สิ่งหนึ่งที่จะต้องพิจารณาคือการทำให้ค่าความชันหรือค่าความนำ G_{AB} มีค่าน้อยๆ นั่นเอง

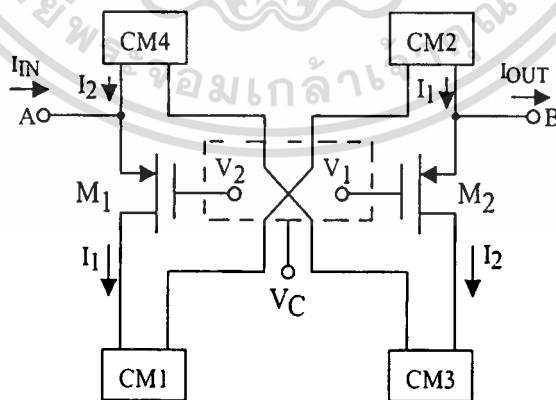
เมื่อพิจารณาสมการของค่าความต้านทาน R_{AB} ที่สร้างขึ้นก่อนหน้า ในรูปของค่าความนำ G_{AB} จะเขียนสมการใหม่ได้เป็น

$$G_{AB} = 2K_n \left(\frac{W}{L} \right) (V_{DD} - V_C - V_{T_n}) \quad (3.50)$$

สมการ (3.50) ค่าความนำจะมีค่าน้อยลง ขึ้นอยู่กับค่าของ แหล่งจ่ายไฟ V_{DD} , แรงดันควบคุมการปรับเปลี่ยนค่าความต้านทาน V_C , ค่าแรงดันขีดเริ่ม V_{T_n} ค่าทรานคอนดักแตนซ์ K_n ซึ่งเป็น

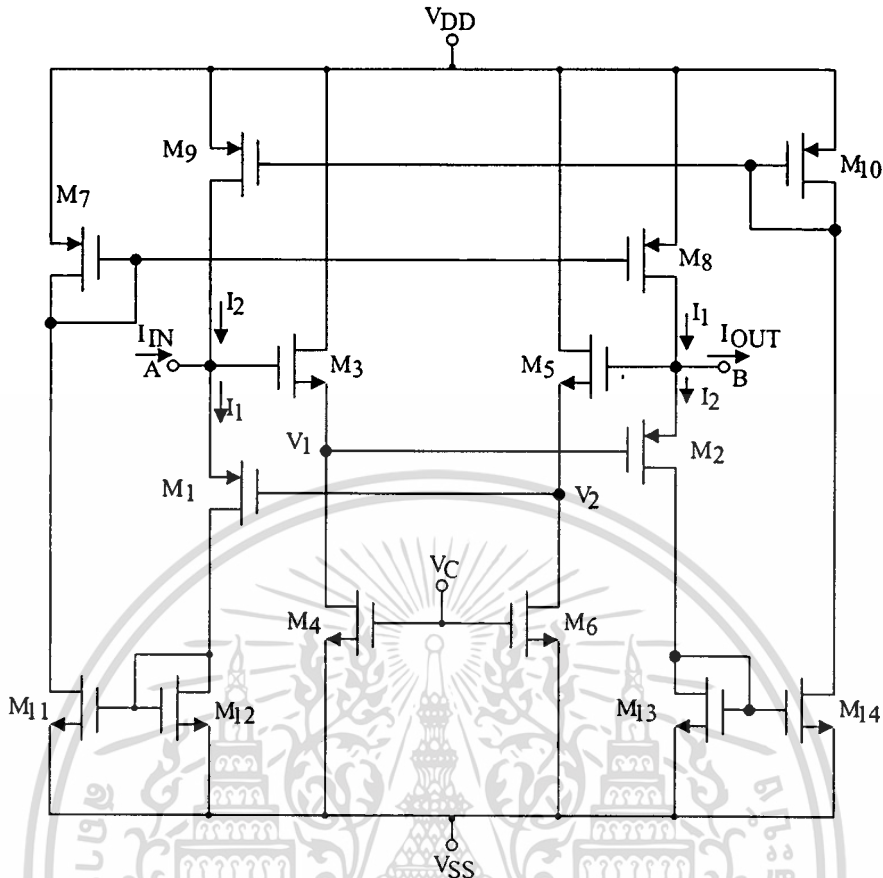
เอกสารนี้เป็นเอกสารที่สงวนไว้สำหรับการใช้งานเพื่อการศึกษาเท่านั้น ไม่อนุญาตให้นำไปใช้ประโยชน์ด้านการค้าไม่ว่ากรณีใดๆทั้งสิ้น อีกทั้งห้ามมิให้ตัดแปลงเนื้อหา และต้องอ้างอิงถึงเจ้าของเอกสารทุกครั้งที่มีการนำไปใช้

ค่าพารามิเตอร์ของมอสทรานซิสเตอร์ และ ค่า Aspect ratio $\left(\frac{W}{L}\right)$ แต่ถ้าหากพิจารณาว่าต้องการให้ วงจรยังคงมีค่าของแรงดัน V_{DD} , V_C เท่าเดิม นั่นคือยังคงใช้แหล่งจ่ายไฟที่ $\pm 5V$ และค่า Aspect ratio $\left(\frac{W}{L}\right)$ ค่าเท่าเดิม จะพบว่าค่าความนำหรือค่าความชัน G_{AB} จะขึ้นอยู่กับค่าพารามิเตอร์ทรานคอนดักแตนซ์ K_n ของมอสทรานซิสเตอร์เป็นหลัก ที่จะสามารถเปลี่ยนแปลงค่าของความชันได้ และเป็นที่น่าทึ่งโดยทั่วไปว่าค่าทรานคอนดักแตนซ์ พารามิเตอร์ของมอสทรานซิสเตอร์ชนิด พี-แซนแนล (P-Ch) จะมีค่าน้อยกว่าแบบ เอ็น-แซนแนล (N-Ch) อยู่ประมาณ สองเท่า ซึ่งเมื่อนำมาแทนค่าลงในสมการ (3.50) แล้วจะทำให้ได้ค่าความนำหรือค่าความชัน G_{AB} มีค่าน้อยลง ได้ผลตรงกับความต้องการ นั่นคือจะทำให้ช่วงของแรงดันอินพุตมีค่ากว้างขึ้นหรือมากขึ้น และถ้านำข้อสมมุติฐานของหลักการ หรือแนวคิดนี้ไปสร้างเป็นความต้านทานแทนวงจรเดิมที่ได้กล่าวไปแล้ว ก็สามารถนำไปใช้งานในช่วงปฏิบัติการของแรงดันอินพุตที่กว้างขึ้นกว่าเดิมได้ ดังนั้นวิทยานิพนธ์นี้ จึงได้นำหลักการหรือแนวคิดดังกล่าวมาทำการดัดแปลงวงจรความต้านทานที่ได้กล่าวไปแล้วในตอนต้น โดยนำมอสทรานซิสเตอร์แบบพี-มอส (PMOS) มาใช้ซึ่งต่อจากนี้ไปจะเรียกวจรที่สร้างด้วยมอสทรานซิสเตอร์ชนิด NMOS ว่า “วงจรที่ 1” และวงจรที่ได้ทำการดัดแปลงขึ้นมาใหม่โดยนำ PMOS มาใช้ว่า “วงจรที่ 2” และเนื่องจากวงจรความต้านทานถูกดัดแปลงใหม่โดยนำ PMOS มาใช้ ดังนั้นจึงได้ทำการออกแบบวงจรในส่วนการจับใบฮัสใหม่ด้วย ซึ่งบล็อกโคอะแกรม และวงจรสมบูรณ์แสดงดังรูปที่ 3.14 และ 3.15 ตามลำดับ ส่วนรายละเอียดในการวิเคราะห์ห้วงจรมีลักษณะเหมือนกับที่ได้อธิบายไปแล้วในส่วนของวงจรที่ 1



รูปที่ 3.14 บล็อกโคอะแกรมของวงจรความต้านทานลอยตัวปรับค่าได้ด้วยแรงดัน ที่ปรับปรุง

เอกสารนี้เป็นเอกสารที่สงวนไว้สำหรับการใช้งานเพื่อการศึกษาเท่านั้น ไม่อนุญาตให้นำไปใช้ประโยชน์ด้านการค้า ไม่ว่ากรณีใดๆทั้งสิ้น อีกทั้งห้ามมิให้ดัดแปลงเนื้อหา และต้องอ้างอิงถึงเจ้าของเอกสารทุกครั้งที่มีการนำไปใช้



รูปที่ 3.15 วงจรสมบรูณ์ของความต้านทานลอยตัวแบบบวก ที่เสนอการปรับปรุง

หลักการทํางานของวงจร

จากรูป กำหนดให้

M_1 และ M_2 เป็นมอสทรานซิสเตอร์ชนิดพี (PMOS) ที่มีความสมพจน์กัน ทำหน้าที่สร้างกระแส

I_1 และ I_2 ตามลำดับ

M_3 , M_4 , M_5 , M_6 ทำหน้าที่จับไบอัส แก่มอสทรานซิสเตอร์ M_1 และ M_2

$M_7 - M_{14}$ ทำหน้าที่สะท้อนกระแส เพื่อให้ได้เงื่อนงำของกระแสตามสมการ และมีอัตราการสะท้อนกระแสเป็น 1: 1

กำหนดให้มอสทรานซิสเตอร์ทุกตัวทํางานในช่วงอิ่มตัว (Saturation) และให้ขาซอส (Source) กับขาฐานรอง (Substrate or Bulk or Body) ของมอสทรานซิสเตอร์ทุกตัวต่อเข้าด้วยกัน ซึ่งเป็นการลดผลของ Body effect ลง

กระแสเดรนทํางานในช่วงอิ่มตัวใช้กับมอสทรานซิสเตอร์ชนิดพี จะได้สมการกระแส

เอกสาร I_1 และ I_2 เป็นที่สงวนไว้สำหรับการใช้งานเพื่อการศึกษาเท่านั้น ไม่อนุญาตให้นำไปใช้ประโยชน์ด้านการค้าไม่ว่ากรณีใดๆทั้งสิ้น อีกทั้งห้ามมิให้ดัดแปลงเนื้อหา และต้องอ้างอิงถึงเจ้าของเอกสารทุกครั้งที่มีการนำไปใช้

$$I_1 = \frac{K_p}{2} \left(\frac{W}{L} \right) (V_A - V_2 + V_{T_p})^2 \quad (3.51)$$

$$I_2 = \frac{K_p}{2} \left(\frac{W}{L} \right) (V_B - V_1 + V_{T_p})^2 \quad (3.52)$$

การออกแบบ สำหรับวงจรในรูปที่ 3.15 กำหนดกระแส I_{AB} มีค่าเป็น

$$I_{AB} = I_{IN} = I_{OUT} = I_1 - I_2 \quad (3.53)$$

จะได้

$$I_{AB} = I_1 - I_2 = \frac{K_p}{2} \left(\frac{W}{L} \right) (V_1 - V_2 + V_A - V_B) (V_A + V_B - V_1 - V_2 + 2V_{T_p}) \quad (3.54)$$

ในการทำงานเดียวกัน การจัดไบอัสของวงจรก็ใช้หลักการเดียวกับที่ผ่านมาแสดงได้ดังรูป 3.15

พิจารณาในส่วนของแรงดัน V_1 และ V_2

V_1 และ V_2 เป็นแรงดันในส่วนการจัดไบอัสแก่มอสทรานซิสเตอร์ M_1 และ M_2 ซึ่งหาได้จากชุดของ M_3 และ M_4 ที่เป็นมอสทรานซิสเตอร์ชนิดเอ็นมอส (NMOS) กำหนดให้ M_3 และ M_4 มีความสมพียงกัน จะได้

$$I_3 = I_4 \quad (3.55)$$

$$\frac{K_n}{2} \left(\frac{W}{L} \right) (V_A - V_1 - V_{T_n})^2 = \frac{K_n}{2} \left(\frac{W}{L} \right) (V_C - V_{SS} - V_{T_n})^2 \quad (3.56)$$

$$\text{จะได้ } V_1 = V_A - V_C + V_{SS} \quad (3.57)$$

ในการทำงานเดียวกัน ค่าของแรงดัน V_2 จะได้จากชุดของมอสทรานซิสเตอร์ M_5 และ M_6 ที่มีความสมพียงกัน ได้กระแส I_5 และ I_6 เป็น

$$I_5 = I_6 \quad (3.58)$$

$$\frac{K_n}{2} \left(\frac{W}{L} \right) (V_B - V_2 - V_{Tn})^2 = \frac{K_n}{2} \left(\frac{W}{L} \right) (V_C - V_{SS} - V_{Tn})^2 \quad (3.59)$$

$$\text{จะได้} \quad V_2 = V_B - V_C + V_{SS} \quad (3.60)$$

นำค่า V_1 และ V_2 จากสมการ (3.57) และ (3.60) แทนลงในสมการ(3.54) จะได้

$$I_{AB} = 2K_p(V_A - V_B)(V_C - V_{SS} + V_{Tp}) \quad (3.61)$$

สมการ (3.61) นี้ จะ ได้ค่าความต้านทานเสมือน ที่อยู่ระหว่างขั้ว โหนด A และ โหนด B ของวงจรคือ

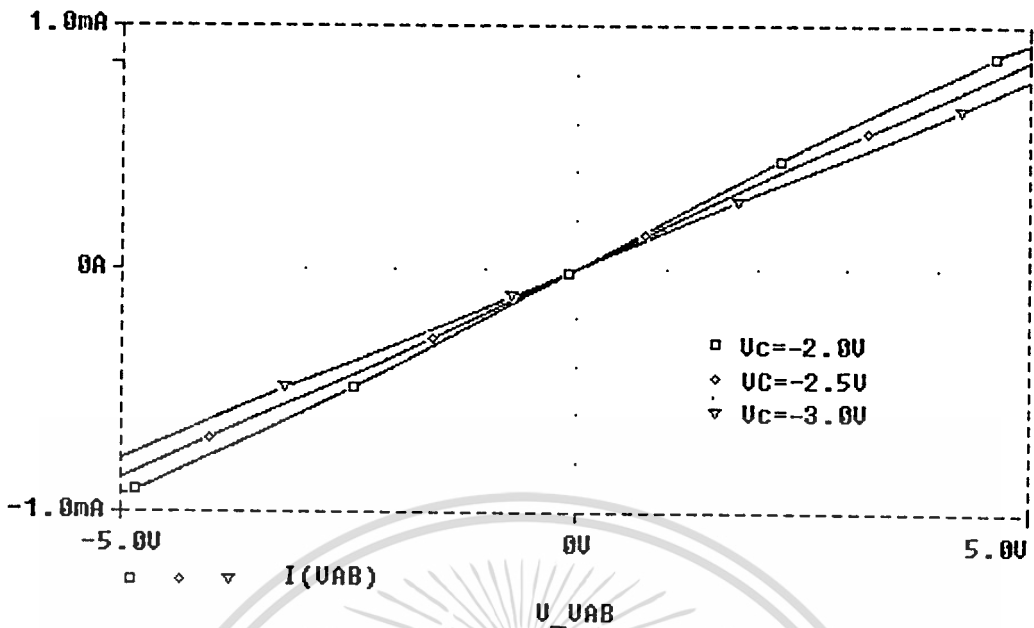
$$R_{AB} = \frac{V_A - V_B}{I_{AB}} = \frac{V_A - V_B}{2K_p \left(\frac{W}{L} \right) (V_C - V_{SS} + V_{Tp}) (V_A - V_B)} \quad (3.62)$$

$$R_{AB} = \frac{1}{2K_p \left(\frac{W}{L} \right) (V_C - V_{SS} + V_{Tp})} \quad (3.63)$$

สมการ(3.63) แสดงให้เห็นอย่างชัดเจนว่าวงจรตามรูปที่ 3.15 สามารถเขียนแบบเป็นความต้านทานแบบลอยตัว ที่มีความเป็นเชิงเส้นแบบบวก โดยค่าของความต้านทานขึ้นอยู่กับค่า K_p ทรานคอนดักแตนซ์ ,ค่า Aspect ratio $\left(\frac{W}{L} \right)$ และค่าแรงดัน $(V_C - V_{SS} + V_{Tp})$ สามารถควบคุมได้ด้วยแรงดัน V_C โดยแรงดัน V_C เป็นแรงดันที่ใช้ปรับเปลี่ยนค่าการไบอัส เป็นผลให้ค่าความต้านทานที่สร้างขึ้นจากมอสทรานซิสเตอร์เปลี่ยนแปลงไปตามค่าของแรงดัน จึงได้ชื่อว่าความต้านทานปรับค่าได้ด้วยแรงดันนั่นเอง

เพื่อตรวจสอบผลหรือแนวคิดที่ได้เสนอในการปรับปรุงช่วงปฏิบัติการแรงดันอินพุตให้กว้างขึ้น (Wide -Dynamic Range) ด้วยวิธีการดังกล่าว จึงทำการจำลองการทำงานของวงจรตามรูปที่ 3.15 ด้วยโปรแกรม PSpice โดยใช้ค่าอัตราส่วน Aspect ratio $\left(\frac{W}{L} \right)$ ค่าเดียวกันกับในตารางที่ 1 และใช้ Model parameter ที่เป็นแบบจำลองเทคโนโลยีของซิมอส โดยมีค่าต่างๆดังภาคผนวก ก เช่นเดียวกัน และใช้แหล่งจ่ายไฟ V_{DD} และ V_{SS} เป็น $\pm 5V$ ตามลำดับ เพื่อเปรียบเทียบกับวงจรที่ 1 ได้ความสัมพันธ์ของกระแส I_{AB} และค่าแรงดัน V_{AB} เป็นดังรูปที่ 3.16

เอกสารนี้เป็นเอกสารที่สงวนไว้สำหรับการใช้งานเพื่อการศึกษาเท่านั้น ไม่อนุญาตให้นำไปใช้ประโยชน์ด้านการค้าไม่ว่ากรณีใดๆทั้งสิ้น อีกทั้งห้ามมิให้ตัดแปลงเนื้อหา และต้องอ้างอิงถึงเจ้าของเอกสารทุกครั้งที่มีการนำไปใช้



รูปที่ 3.16 ความสัมพันธ์ของกระแส I_{AB} และค่าแรงดัน V_{AB} ของวงจรรวมความต้านทานที่ปรับปรุง

ความสัมพันธ์ของกระแส I_{AB} และค่าแรงดัน V_{AB} ของรูปที่ 3.16 ของวงจรรวมความต้านทาน ลอยตัวแบบบวกที่ได้ปรับปรุงขึ้น โดยใช้มอสทรานซิสเตอร์แบบพีมอส (PMOS) แทนมอสทรานซิสเตอร์แบบเอ็นมอส (NMOS) โดยใช้ค่าอัตราส่วน Aspect ratio $\left(\frac{W}{L}\right)$ และ Model parameter ค่าเดียวกันกับวงจรรวมความต้านทานลอยตัวแบบบวกวงจรที่ 1 ที่สร้างขึ้นจากมอสทรานซิสเตอร์ชนิด NMOS ดังวงจรรูปที่ 3.12 เพื่อเปรียบเทียบ ให้เห็นถึงแนวคิดที่เป็นข้อสมมุติฐานเบื้องต้น ในการปรับปรุงหรือขยายช่วงแรงดันอินพุตปฏิบัติงานให้สามารถกว้างขึ้นได้ พร้อมทั้งให้ความเป็นเชิงเส้นที่สูงมาก สามารถดูได้จากผลการจำลองดังกล่าว

ผลการจำลองที่ได้จากรูป 3.16 พบว่าเส้นกราฟจะมีความเป็นเชิงเส้นตลอดช่วงของแรงดัน $\pm 5V$ ซึ่งวงจรรวมความต้านทานที่ได้เสนอการปรับปรุงนี้สามารถนำไปใช้กับวงจรที่มีช่วงแรงดันอินพุตสูง อาจจะไม่ต้องการเพิ่มเติมวงจรใดๆ ซึ่งมีความเหมาะสมต่อการนำไปใช้งาน เพราะวงจรที่เสนอการปรับปรุงนี้ให้ผลของช่วงแรงดันอินพุตปฏิบัติงานได้ดีกว่า และการนำไปใช้งานก็สามารถใช้งานได้กว้างกว่า เมื่อเปรียบเทียบในเรื่องของแรงดันอินพุตใช้งาน

3.5 การดัดแปลงวงจรความต้านทานลอยตัวแบบบวก เป็นแบบลบ

ในวิทยานิพนธ์นี้ ได้นำวงจรความต้านทานลอยตัวแบบบวกทั้งสองวงจร กล่าวคือ วงจรความต้านทานลอยตัวแบบบวกที่สร้างจาก NMOS ซึ่งเรียกว่า “วงจรที่ 1” และวงจรความต้านทานลอยตัวแบบบวกที่สร้างจาก PMOS ซึ่งเรียกว่า “วงจรที่ 2” ทั้งสองวงจรมำทำการดัดแปลงให้เป็นวงจรความต้านทานลอยตัวแบบลบ ซึ่งจะได้กล่าวรายละเอียดของการดัดแปลงแต่ละกรณี ในลำดับต่อไปนี้

3.5.1 วงจรความต้านทานลอยตัวแบบลบที่ได้จากการดัดแปลง วงจรที่ 1

หลักการทํางานของวงจรความต้านทานลอยตัวแบบบวก ปรับค่าได้ด้วยแรงดันของวงจรที่ 1 (รูปวงจรที่ 3.12) ได้สมการค่าความต้านทาน R_{AB} เป็น

$$R_{AB} = \frac{V_A - V_B}{I_{IN}} = \frac{V_A - V_B}{I_{OUT}} \quad (3.64)$$

$$R_{AB} = \frac{V_A - V_B}{I_2 - I_1} \quad (3.65)$$

โดยกำหนดกระแสเป็น

$$I_{IN} = I_{OUT} = I_2 - I_1 \quad (3.66)$$

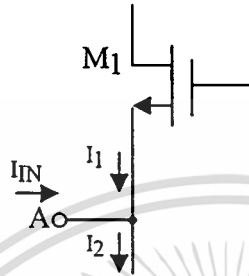
การดัดแปลงวงจรความต้านทานแบบบวกเป็นแบบลบ สามารถทำได้โดยการพิจารณาทิศทางการไหลของกระแสให้เป็นตรงข้ามหรือสวนทางจากเดิม โดยที่ยังคงให้โครงสร้างภายในของวงจรความต้านทานเป็นเช่นเดิมไม่เปลี่ยนแปลง และยังคงให้ค่าของแรงดัน $V_A > V_B$ เช่นเดิม ดังนั้นจะได้สมการค่าความต้านทาน R_{AB} กรณีเป็นวงจรความต้านทานลอยตัวแบบลบเป็น

$$R_{AB} = \frac{V_A - V_B}{-(I_2 - I_1)} \quad (3.67)$$

สมการ (3.67) เมื่อนำมาเทียบกับสมการความต้านทานแบบบวก (3.65) จะเห็นว่าทอมต่างๆ ยังคงเหมือนเดิม เพียงแต่มีเครื่องหมายลบที่เพิ่มเติมเข้ามา บอกให้ทราบว่าทิศทางการไหลของกระแส นั้นไหลสวนทางกับกรณีแรกที่เป็นวงจรความต้านทานลอยตัวแบบบวก จึงทำให้ค่าความต้านทานที่ได้มีค่าเป็นลบ ดังนั้นวงจรความต้านทานที่ได้จึงเป็นความต้านทานลอยตัวแบบลบนั่นเอง เอกสารนี้เป็นเอกสารที่สงวนไว้สำหรับการใช้งานเพื่อการศึกษาเท่านั้น เมื่อผู้ใดเห็นประโยชน์ในการนำเอกสารนี้ไปใช้ไม่ว่ากรณีใดๆทั้งสิ้น อีกทั้งห้ามมิให้ดัดแปลงเนื้อหา และต้องอ้างอิงถึงเจ้าของเอกสารทุกครั้งที่มีการนำไปใช้

$$-R_{AB} = \frac{V_A - V_B}{I_2 - I_1} \quad (3.68)$$

หลักการตัดแปลงของวงจรความต้านทานลอยตัวค่าบวก วงจรที่ 1



รูปที่ 3.17 ทิศทางการไหลของกระแสกรณีกระแส I_{IN} ไหลเข้าที่โหนด A

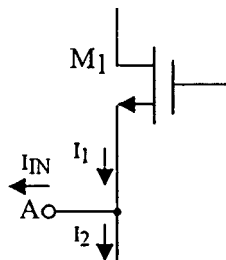
จากรูป เป็นหลักการทำงานของวงจรความต้านทานลอยตัวแบบบวก ของวงจรที่ 1 ที่กล่าวมา โดยแสดงเฉพาะส่วนของภาคอินพุตที่กระแสไหลเข้าที่โหนด A ซึ่งสมการกระแสที่กำหนดมีค่าเป็น

$$I_{IN} = -I_2 - I_1 \quad (3.69)$$

แต่สิ่งที่ต้องการคือให้กระแสไหลสวนทางจากเดิมหรือไหลออกที่โหนด A ไม่ใช่ไหลเข้า และต้องให้สมการของกระแสยังคงเหมือนเดิม นั่นคือ

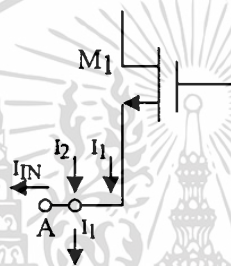
$$-I_{IN} = I_2 - I_1 \quad (3.70)$$

ซึ่งจากทิศทางการไหลของกระแสที่แสดงในสมการที่ (3.70) สามารถแสดงได้ดังรูปที่ 3.18



เอกสารนี้เป็นเอกสารที่สงวนลิขสิทธิ์และสงวนไว้ใช้เฉพาะในวงจำกัดเท่านั้น ไม่อนุญาตให้นำไปใช้ประโยชน์ด้านการค้า
 รูปที่ 3.18 ทิศทางการไหลของกระแสตามสมการที่ (3.70)
 ไม่ว่ากรณีใดๆทั้งสิ้น อีกทั้งห้ามมิให้ตัดแปลงเนื้อหา และต้องอ้างอิงถึงเจ้าของเอกสารทุกครั้งที่มีการนำไปใช้

จากรูป 3.18 แสดงให้เห็นชัดเจนว่าทิศทางการไหลของกระแส I_{IN} นั้นไหลสวนทางกับรูปที่ 3.17 แล้ว ดังนั้นถ้าพิจารณาให้ทิศทางการไหลของกระแส I_{IN} ออกจากโหนด A เป็นบวก จะได้ว่าทิศทางการไหลของกระแส I_1 และ I_2 ในสมการที่ (3.70) ต้องมีทิศตรงข้ามกับที่เป็นอยู่ในขณะนี้ ซึ่งพบว่าไม่สอดคล้องตามรูปที่ 3.18 ซึ่งดูเหมือนว่าออสทรานซิสเตอร์ M_1 สร้างกระแส I_2 มิใช่ I_1 จึงต้องพิจารณาใหม่โดยมีเงื่อนไขในการพิจารณา 2 ประการคือ ประการแรกคือ คงลักษณะของวงจรภายใน นั่นคือ M_1 ต้องสร้างกระแส I_1 และประการที่ 2 ทิศทางการไหลของกระแสเป็นไปตามสมการ I_{IN} ที่ได้ตามสมการ (3.69) เมื่อพิจารณาตาม KCL คือ กระแส I_2 ต้องไหลเข้าสู่โหนด A ส่วนกระแส I_1 และกระแส I_{IN} ต้องไหลออกเท่านั้น แต่ตามโครงสร้างกระแส I_1 ที่สร้างจาก M_1 นั้นมีทิศทางการไหลเข้าสู่โหนด A ดังนั้นการดัดแปลงจึงทำได้ดังรูป 3.19



รูปที่ 3.19 การจัดวางตำแหน่งของกระแส I_2 ใหม่

สมการกระแสที่โหนด A ของรูปที่ 3.19 จะได้

$$I_{IN} = I_2 + I_1 - I_1 \quad (3.71)$$

จากสมการ (3.71) ที่ได้ ปรากฏว่ามีเทอมของกระแส I_1 เกินมาจึงต้องเพิ่มเทอม $-I_1$ เพื่อให้สมการกระแสตรงกับสมการ (3.69)

$$I_{IN} = I_2 + I_1 - I_1 - I_1 \quad (3.72)$$

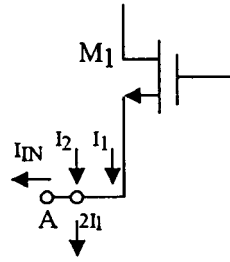
จะได้

$$I_{IN} = I_2 + I_1 - 2I_1 \quad (3.73)$$

นำสมการ (3.73) มาเขียนทิศทางการไหลของกระแสต่างๆ ตามกฎกระแสของเคอร์ชอฟ จะแสดง

ได้ดังรูป 3.20

เอกสารนี้เป็นเอกสารที่สงวนไว้สำหรับการใช้งานเพื่อการศึกษาเท่านั้น ไม่อนุญาตให้นำไปใช้ประโยชน์ด้านการค้า ไม่ว่าจะกรณีใดๆทั้งสิ้น อีกทั้งห้ามมิให้ดัดแปลงเนื้อหา และต้องอ้างอิงถึงเจ้าของเอกสารทุกครั้งที่มีการนำไปใช้



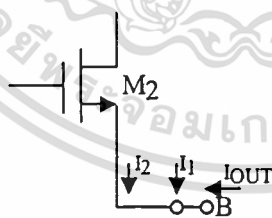
รูปที่ 3.20 ทิศทางการไหลของกระแส $2I_1$ เพื่อให้เงื่อนไขกระแส I_{IN} ไหลออกที่โหนด A

จากโหนด A ขณะนี้จะพบว่าสามารถทำให้กระแส I_{IN} มีการกลับทิศทางการไหลได้ตามต้องการแล้ว โดยยังคงลักษณะของโครงสร้างภายในไว้เช่นเดิม

ในทำนองเดียวกันกระแสที่โหนด B จะต้องทำให้มีการไหลสวนทางกับกรณีของวงจรวกโดยคงยึดหลักการเช่นเดียวกับการแก้ไขทิศทางการไหลของกระแสที่โหนด A กล่าวคือ โครงสร้างภายในของตัวด้านทานต้องไม่เปลี่ยนแปลงดังนั้นสมการกระแสที่โหนด B จะเป็น

$$-I_{OUT} = I_2 - I_1 \quad (3.74)$$

สมการ (3.74) เมื่อใช้กฎกระแสของเคอร์ชอฟ จะได้ทิศทางการไหลของกระแสเปลี่ยนไปจากเดิม ดังรูป 3.21



รูปที่ 3.21 ทิศทางการไหลของกระแสต่างๆที่โหนด B ตามสมการ (3.74)

จากรูป 3.21 สามารถเขียนสมการกระแส I_{OUT} ได้เป็น

$$I_{OUT} + I_2 + I_1 = 0 \quad (3.75)$$

หรือ

$$I_{OUT} = -I_2 - I_1 \quad (3.76)$$

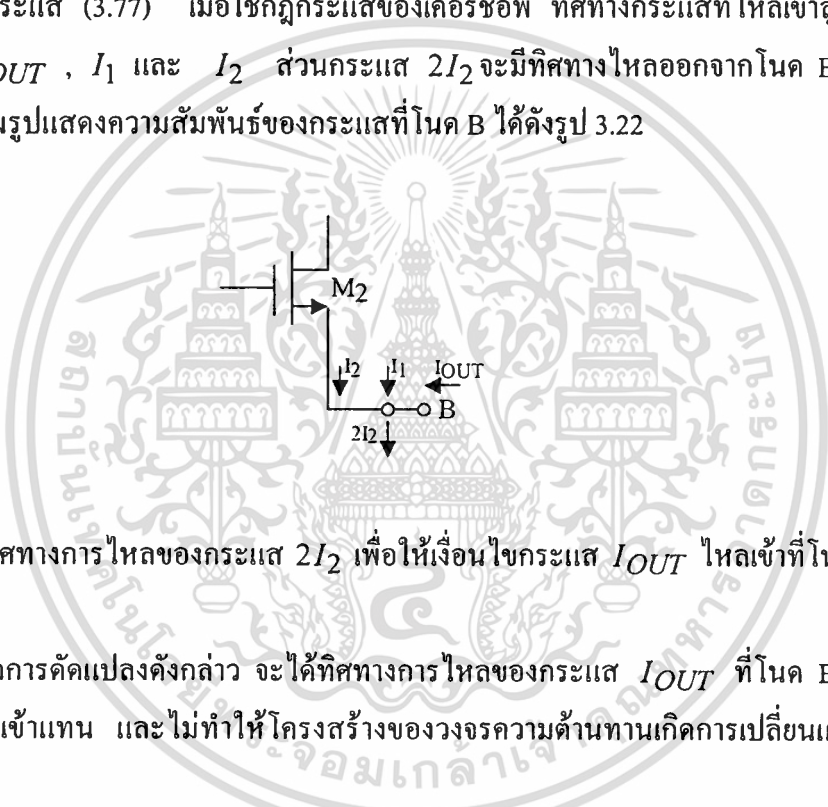
เอกสารนี้เป็นเอกสารที่สงวนไว้สำหรับการใช้งานเพื่อการศึกษาเท่านั้น ไม่อนุญาตให้นำไปใช้ประโยชน์ด้านการค้า ไม่ว่าจะกรณีใดๆทั้งสิ้น อีกทั้งห้ามมิให้ตัดแปลงเนื้อหา และต้องอ้างอิงถึงเจ้าของเอกสารทุกครั้งที่มีการนำไปใช้

สมการ(3.76) ปรากฏว่าได้รูปแบบของสมการถูกต้อง แต่ค่ากระแสของ I_2 ติดลบ จึงต้องหาเทอมมาเพิ่มในสมการเพื่อมาหักล้างแล้วทำให้กระแส I_2 มีค่าเป็นบวก เทอมดังกล่าวคือ $+2I_2$ ซึ่งจะได้

$$I_{OUT} = -I_2 - I_1 + 2I_2 \quad (3.77)$$

จะได้
$$I_{OUT} = I_2 - I_1 \quad (3.78)$$

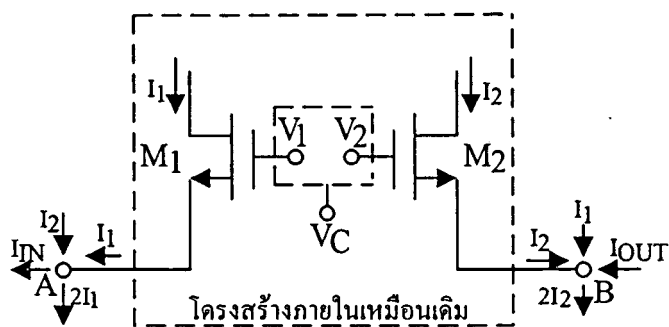
จากสมการกระแส (3.77) เมื่อใช้กฎกระแสของเคอร์ชอฟ ทิศทางกระแสที่ไหลเข้าสู่โหนด B มีกระแส I_{OUT} , I_1 และ I_2 ส่วนกระแส $2I_2$ จะมีทิศทางไหลออกจากโหนด B ดังนั้นจะสามารถเขียนรูปแสดงความสัมพันธ์ของกระแสที่โหนด B ได้ดังรูป 3.22



รูปที่ 3.22 ทิศทางการไหลของกระแส $2I_2$ เพื่อให้เงื่อนไขกระแส I_{OUT} ไหลเข้าที่โหนด B

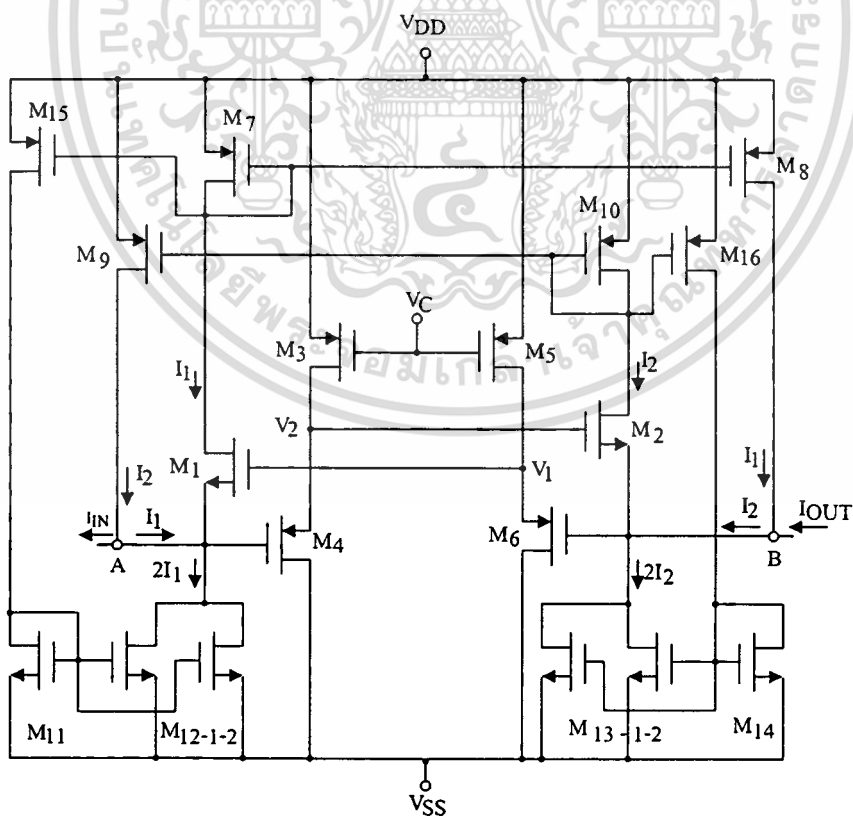
และจากการดัดแปลงดังกล่าว จะได้ทิศทางการไหลของกระแส I_{OUT} ที่โหนด B เปลี่ยนไปเป็นการไหลเข้าแทน และไม่ทำให้โครงสร้างของวงจรความต้านทานเกิดการเปลี่ยนแปลงใดๆทั้งสิ้น

จากหลักการดัดแปลงวงจรความต้านทานลอยตัวแบบบวก ให้เป็นวงจรความต้านทานลอยตัวแบบลบ ที่ได้กล่าวมา สามารถเขียนเป็นบล็อกไดอะแกรม ได้ดังรูปที่ 3.23



รูปที่ 3.23 บล็อกโคอะแกรมของวงจรที่ 1 ที่ตัดแปลงเป็นวงจรความต้านทานลอยตัวแบบลบ

จากบล็อกโคอะแกรม จะเห็นได้ว่าทิศทางการไหลของกระแส I_{IN} และกระแส I_{OUT} ที่โหนด A และ โหนด B ตามลำดับ นั้นไหลสวนทางกับรูป 3.14 ที่เป็นวงจรความต้านทานแบบบวก จึงกล่าวได้ว่าวงจรที่ได้นี้ทำหน้าที่เป็นวงจรความต้านทานแบบลบ นั่นเอง และพบว่าจะต้องทำการจัดวางตำแหน่งของการสะท้อนกระแส I_1 และ I_2 ใหม่ และต้องทำการสะท้อนกระแส I_1 และ I_2 ให้มีการสะท้อนกระแสเป็น 2 เท่า นั่นคือ $2I_1$ และ $2I_2$ เพื่อให้ได้เงื่อนไขเป็นไปตามสมการที่ได้กล่าวมา ซึ่งจะได้รูปวงจรมุมบูรณ์ของความต้านทานลอยตัวแบบลบที่ตัดแปลงแล้วเป็นดังรูปที่ 3.24

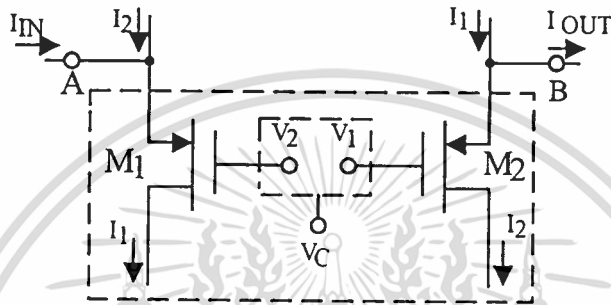


รูปที่ 3.24 วงจรมุมบูรณ์ของความต้านทานลอยตัวแบบลบที่ตัดแปลง จากวงจรที่ 1

เอกสารนี้เป็นเอกสารที่ลิขสิทธิ์ไว้สำหรับการศึกษาเพื่อใช้ในการศึกษาเท่านั้น เมื่อผู้เผยแพร่เห็นไปใช้ประโยชน์ด้านการค้าไม่ว่ากรณีใดๆทั้งสิ้น อีกทั้งห้ามมิให้ตัดแปลงเนื้อหา และต้องอ้างอิงถึงเจ้าของเอกสารทุกครั้งที่มีการนำไปใช้

3.5.2 วงจรความต้านทานลอยตัวแบบลบที่ได้จากการตัดแปลง วงจรที่ 2

สำหรับวงจรความต้านทานลอยตัวแบบบวก ที่ปรับค่าได้ด้วยแรงดันในวงจรที่ 2 ที่เสนอ การปรับปรุงวงจรความต้านทานลอยตัวแบบบวกของวงจรที่ 1 เพื่อให้มีช่วงปฏิบัติงานแรงดันอินพุตได้กว้างขึ้นนั้น สามารถที่จะนำมาดัดแปลงให้เป็นวงจรความต้านทานลอยตัวแบบลบได้เช่นกัน โดยใช้หลักการแบบเดียวกับการดัดแปลงของวงจรความต้านทานลอยตัวแบบบวกของวงจรที่ 1 เป็นวงจรความต้านทานลอยตัวแบบลบ ดังกล่าว ซึ่ง มีรายละเอียดดังต่อไปนี้



รูปที่ 3.25 บล็อกไดอะแกรมวงจรความต้านทานลอยตัวแบบบวก วงจรที่ 2 ก่อนดัดแปลง

จากหลักการและบล็อกไดอะแกรมของวงจรความต้านทานลอยตัวแบบบวก ของวงจรที่ 2 ดัง

รูปที่ 3.25 สมการกระแสที่ได้กำหนดไว้สามารถเขียนได้เป็น

$$I_{IN} = I_{OUT} = I_1 - I_2 \quad (3.79)$$

โดยทิศทางการไหลของกระแสกำหนดให้มีการไหลเข้าที่โหนด A และไหลออกที่โหนด B และที่ผ่านมาได้พิสูจน์แล้วว่าวงจรที่ได้นั้น ทำหน้าที่เป็นวงจรความต้านทานลอยตัวแบบบวกที่ปรับค่าได้ด้วยแรงดัน และมีสมการค่าความต้านทานเป็นดังนี้

$$R_{AB} = \frac{V_A - V_B}{I_1 - I_2} \quad (3.80)$$

โดยการดัดแปลงค่าความต้านทานที่ได้ให้เป็นแบบลบนั้น จะทำการดัดแปลงเฉพาะในส่วน
ของทิศทางการไหลของกระแสเท่านั้นด้วยการจัดรูปแบบใหม่ ซึ่งจากเดิมกระแสจะไหลเข้าที่โหนด
A ก็จัดใหม่เป็นการไหลออกแทน แต่ยังคงลักษณะของโครงสร้างภายในของการสร้างความต้าน
ทาน ด้วยมอสทรานซิสเตอร์ดังรูปวงจรที่ 2 นั่นคือมีมอสทรานซิสเตอร์ M_1 และ M_2 เป็นตัว
ไม่ว่ากรณีใดๆทั้งสิ้น อีกทั้งห้ามมิให้ดัดแปลงเนื้อหา และต้องอ้างอิงถึงเจ้าของเอกสารทุกครั้งที่มีการนำไปใช้

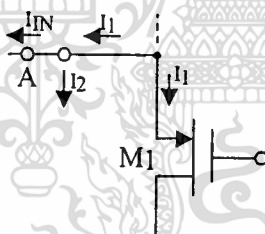
สร้างกระแส I_1 และ I_2 ตามลำดับ และให้ค่าแรงดัน $V_A > V_B$ และสมการของกระแสก็ยังคงมีค่าเป็น $I_1 - I_2$ เช่นเดิม จะได้สมการค่าความต้านทานที่มีค่าเป็นลบดังนี้

$$R_{AB} = \frac{V_A - V_B}{-(I_1 - I_2)} \quad (3.81)$$

ดังนั้นรูปที่ 3.25 จะต้องทำให้กระแสนินพุตมีทิศทางที่ไหลออกจากโนด A มิใช่การไหลเข้า และเพื่อให้สมการและโครงสร้างของความต้านทานไม่เปลี่ยนแปลงจึงยังคงใช้สมการกระแสมีค่าเป็น $I_1 - I_2$ เช่นเดิม กล่าวคือ

$$-I_{IN} = I_1 - I_2 \quad (3.82)$$

และจากกฎกระแสของเคอร์ชอฟ ที่โนด A จะมีกระแสไหลออกจากโนดถึง 2 กระแสด้วยกันคือ กระแส I_{IN} และ I_2 แต่กระแส I_1 จะต้องมีทิศทางการไหลเข้าสู่โนด A เป็นดังรูปที่ 3.26



รูปที่ 3.26 ทิศทางการไหลของกระแส I_{IN} ที่โนด A

เปรียบเทียบทิศทางการไหลของกระแส ในรูปที่ 3.26 กับ 3.25 พบว่าเดิมกระแส I_2 นั้นมีทิศพุ่งเข้าหรือไหลเข้าโนด A ก็เปลี่ยนตำแหน่งมาเป็นการพุ่งออกหรือการไหลออกจากโนด A แทน และการไหลของกระแส I_1 พบว่ามีสองทางด้วยกันกล่าวคือไหลเข้า M_1 ที่เป็นตัวสร้างกระแส I_1 ทางหนึ่ง และอีกทางหนึ่งก็ไหลเข้าสู่โนด A สามารถเขียนสมการกระแสได้เป็น

$$I_{IN} + I_1 + I_2 = I_1 \quad (3.83)$$

หรือ
นี่เป็นเอกสารที่สงวนไว้สำหรับ $I_{IN} = I_1 - I_2$ และ I_1 เท่านั้น ไม่อนุญาตให้นำไปใช้ประโยชน์ (3.84) การค้า
ไม่ว่ากรณีใดๆทั้งสิ้น อีกทั้งห้ามมิให้ตัดแปลงเนื้อหา และต้องอ้างอิงถึงเจ้าของเอกสารทุกครั้งที่มีการนำไปใช้

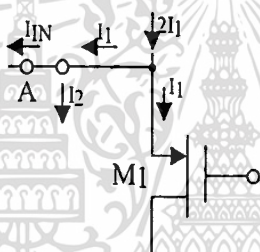
สมการ (3.84) ปรากฏว่ามีเทอมของกระแส I_1 เกินมา 1 เทอมและมีค่าติดลบ จึงต้องหาเทอมมา กำจัดให้หมดไป นั่นคือค่ากระแส $+I_1$ นำค่าดังกล่าวแทนในสมการ(3.84) ก็จะได้สมการ ของกระแสมีค่าตามที่ต้องการ

$$I_{IN} = I_1 - I_2 - I_1 + I_1 \quad (3.85)$$

$$= 2I_1 - I_1 - I_2 \quad (3.86)$$

จะได้
$$I_{IN} = I_1 - I_2 \quad (3.87)$$

และสามารถเขียนรูปแสดงทิศทางการไหลของกระแสต่างๆ ได้เป็นดังรูปที่ 3.27



รูปที่ 3.27 ทิศทางของกระแส $2I_1$ ที่เพิ่มเข้ามาเพื่อให้เงื่อนไขกระแส I_{IN} ไหลออกที่โหนด A

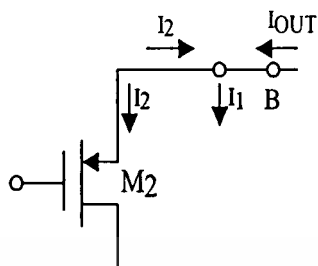
สมการ (3.86) สามารถเขียนทิศทางการไหลของกระแสในส่วนต่างๆ ได้ดังรูป 3.27 พบว่าได้ทิศทางการไหลของกระแสจะไหลกลับทางหรือไหลสวนทางจากเดิมของวงจรความต้านทานลอยตัวแบบบวก ในวงจรที่ 2 จึงกล่าวได้ว่าวงจรความต้านทานลอยตัวค่าบวกที่ได้ดัดแปลงแล้วนี้ ทำหน้าที่เป็นวงจรความต้านทานลอยตัวแบบลบ ตามต้องการ

ลำดับต่อไปเป็นการกล่าวถึงการดัดแปลงทิศทางการไหลของกระแสที่โหนด B

สำหรับที่ โหนด B จะต้องทำให้กระแส I_{OUT} เดิมที่มีการไหลออก เปลี่ยนเป็นการไหลเป็น ไหลเข้าที่โหนด B แทน และต้องคงลักษณะของสมการของกระแสที่ได้กำหนดไว้แต่แรก คือ

$$-I_{OUT} = I_1 - I_2 \quad (3.88)$$

ขณะเดียวกันมอสทรานซิสเตอร์ M_2 ซึ่งเป็นตัวสร้างกระแส I_2 และมีทิศทางการไหลของกระแสจากขาซอสไปยังขาเดรน ดังรูปที่ 3.28



รูปที่ 3.28 ทิศทางการไหลของกระแสตามสมการ (3.88) และทิศทางการสร้างกระแส I_2 ที่สร้างจาก M_2

จากรูปที่ 3.28 สามารถเขียนสมการโดยอาศัยกฎกระแสเคอร์ชอฟ ได้ดังนี้

$$I_{OUT} + I_2 = I_1 + I_2 \quad (3.89)$$

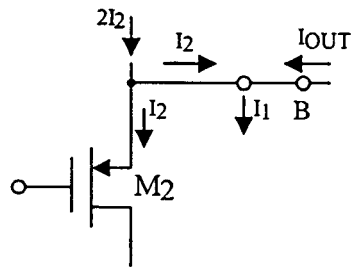
หรือ

$$I_{OUT} = I_1 + I_2 - I_2 \quad (3.90)$$

โดยสมการ (3.90) ที่ได้ พบว่าค่าของกระแส I_{OUT} มีเทอมของกระแส I_2 เกินมาและมีค่าเป็น $+I_2$ จึงต้องหาเทอมมาหักล้าง ซึ่งในที่นี้คือ $-I_2$ เมื่อนำมาแทนลงในสมการ (3.90) จะได้สมการกระแส I_{OUT} ที่โนด B จะมีค่าเป็น

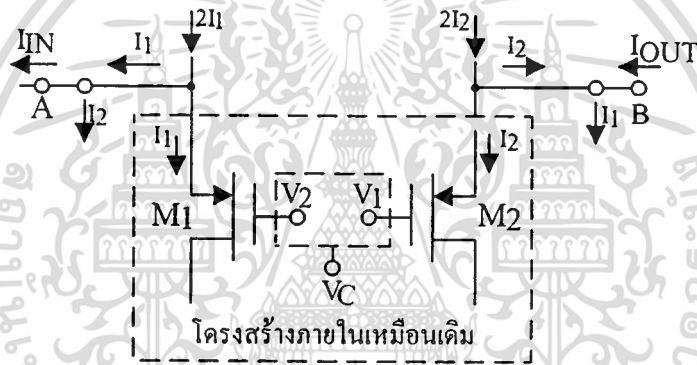
$$I_{OUT} = I_1 + I_2 - 2I_2 \quad (3.91)$$

ซึ่งจะได้ค่ากระแสเป็นไปตามสมการที่(3.88) ตามที่ต้องการ เมื่อพิจารณาค่าของกระแสต่างๆในสมการที่ (3.91) แล้วจะพบว่าทิศทางการไหลของกระแส $2I_2$ มีทิศทางเดียวกับกระแส I_{OUT} คือไหลเข้า ส่วนกระแส I_1 และ I_2 จะมีทิศทางการไหลออก ดังรูป 3.29



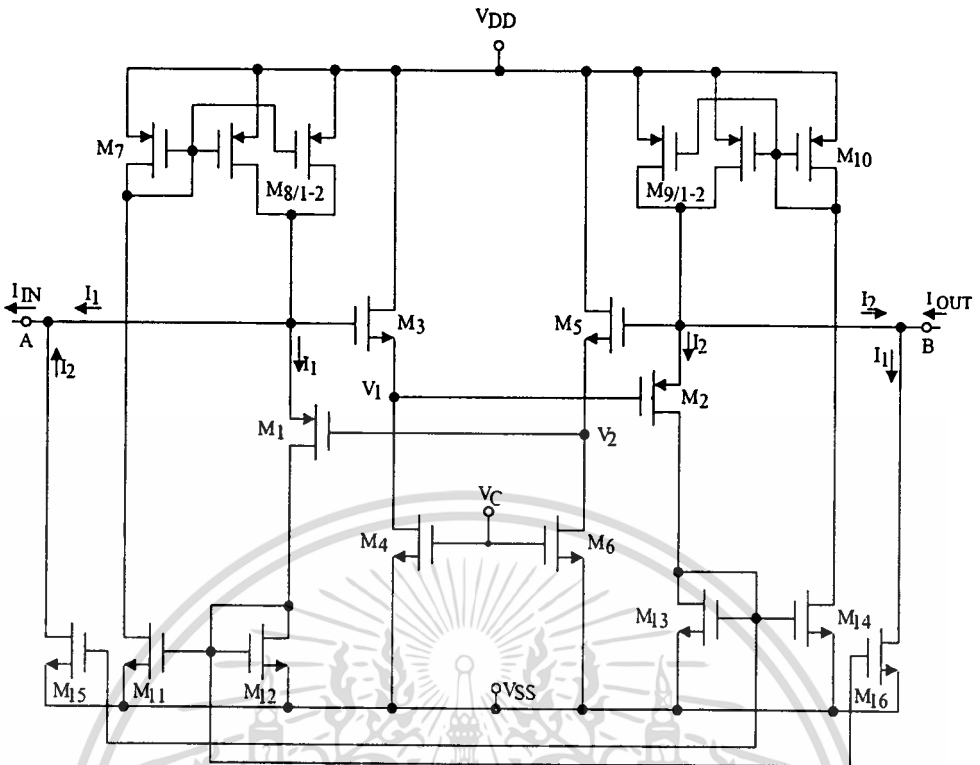
รูปที่ 3.29 ทิศทางของกระแส $2I_2$ ที่เพิ่มเข้ามาเพื่อให้เงื่อนไขกระแส I_{OUT} ไหลเข้าที่โนด B

จากการดัดแปลงวงจรที่ได้กล่าวมา สามารถเขียนเป็นบล็อกโคอะแกรมได้ดังรูปที่ 3.30



รูปที่ 3.30 บล็อกโคอะแกรม วงจรความต้านทานลอยตัวแบบลบ ที่ดัดแปลงจาก วงจรที่ 2

และจากบล็อกโคอะแกรม จะเห็นว่าต้องทำการจัดวางตำแหน่งของการสะท้อนกระแส I_1 และ I_2 ใหม่ และต้องทำการสะท้อนกระแส I_1 และ I_2 ให้มีการสะท้อนกระแสเป็น 2 เท่า นั่นคือ $2I_1$ และ $2I_2$ เพื่อให้ได้เงื่อนไขเป็นไปตามสมการที่ได้กล่าวมา และจะได้รูปวงจรที่สมบูรณ์ของวงจรความต้านทานลอยตัวที่ดัดแปลงเป็นวงจรความต้านทานลอยตัวแบบลบ แสดงดังรูปที่ 3.31



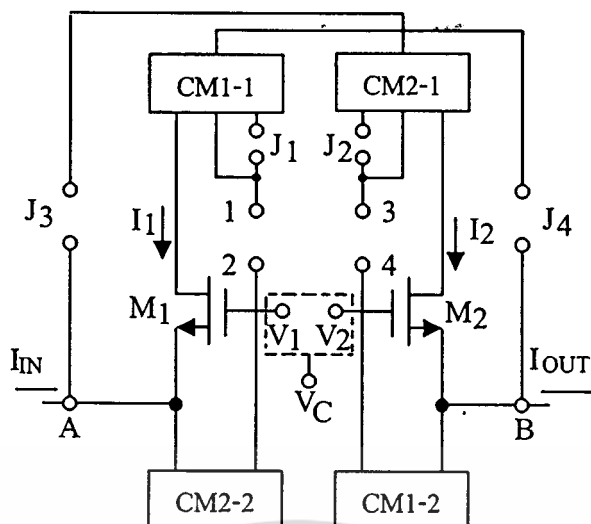
รูปที่ 3.31 วงจรสมบูรณของควมด้นทานลยตัวแบบลบ ที่ดัดแปลง จากวงจรที่ 2

3.6 การพัฒนาวงจรควมด้นทานลยตัว ให้สามารถทำงานได้ทั้งแบบบวก และ แบบลบ ภายในวงจรเดียวกัน

จากที่ผ่านมได้กล่าวถึง วงจรควมด้นทานลยตัวแบบบวกทั้งชนิดที่สร้างขึ้นจากมอสทรานซิสเตอร์ชนิดเอ็น (NMOS) และมอสทรานซิสเตอร์ชนิดพี (PMOS) และการนำวงจรมาดัดแปลงให้สามารถทำงานเป็นวงจรควมด้นทานลยตัวแบบลบ โดยการพิจารณาให้กระแสไหลสวนทางจากเดิม เมื่อทำการดัดแปลงวงจรงกล่าวแล้วจะพบว่าโครงสร้างภายในของวงจรงยังคงมีลักษณะเหมือนเดิม ไม่เปลี่ยนแปลง ดังรูปที่ 3.23 และรูปที่ 3.30 ตามลำดับ เพื่อให้เกิดความสะดวกในการนำไปต่อใช้งานและประหยัดจำนวนอุปกรณ์ ของวงจรควมด้นทานลยตัวทั้งแบบบวกและแบบลบ เมื่อพิจารณาโครงสร้างที่สามารถที่จะยุบรวมวงจรงให้เป็นวงจรเดียวกันได้ ซึ่งภายในวงจรสามารถเป็นได้ทั้งวงจรควมด้นทานลยตัวแบบบวกหรือจะเลือกให้ทำงานเป็นวงจรควมด้นทานลยตัวแบบลบก็ได้ โดยการจัดรูปวงจรงและทำการเพิ่มเติมจุดตัด-ต่อภายในวงจรง ดังบล็อกไดอะแกรมรูปที่ 3.32 กรณีของวงจรควมด้นทานลยตัวของมอสทรานซิสเตอร์ชนิดเอ็น และบล็อกไดอะแกรมรูปที่ 3.37 กรณีของวงจรควมด้นทานลยตัว

ของมอสทรานซิสเตอร์ชนิดพี การใช้งานเพื่อการศึกษาเท่านั้น ไม่อนุญาตให้นำไปใช้ประโยชน์ด้านการค้า

ไม่ว่ากรณีใดๆทั้งสิ้น อีกทั้งห้ามมิให้ดัดแปลงเนื้อหา และต้องอ้างอิงถึงเจ้าของเอกสารทุกครั้งที่มีการนำไปใช้



รูปที่ 3.32 บล็อกโคแอมพลิฟายเออร์ความต้านทานลอยตัวแบบบวกและแบบลบ ภายในวงจรเดียวกัน ชนิด NMOS

รายละเอียด

J_1 ถึง J_4 เป็นส่วนตัด-ต่อวงจรเมื่อต้องการทำเป็นวงจรแบบบวก หรือแบบลบ กรณีวงจรความต้านทานแบบบวก ให้ปลด J_1 ถึง J_4 ออก

กรณีวงจรความต้านทานแบบลบ ให้ต่อจุดต่อ J_1 ถึง J_4 ทั้งหมด

จุดต่อหมายเลข 1, 2, 3, 4 เป็นจุดต่อวงจรเมื่อต้องการทำเป็นวงจรแบบบวก หรือแบบลบ กรณีเป็นวงจรความต้านทานแบบบวก นำจุดต่อหมายเลข 1 ต่อกับ จุดต่อหมายเลข 4 และจุดต่อหมายเลข 2 ต่อกับ จุดต่อหมายเลข 3

กรณีเป็นวงจรความต้านทานแบบลบ นำจุดต่อหมายเลข 1 ต่อกับ จุดต่อหมายเลข 2 และจุดต่อหมายเลข 3 ต่อกับ จุดต่อหมายเลข 4

CM1-1 ทำหน้าที่สะท้อนกระแส I_1 ให้มีขนาดเป็น 1 : 1 หรือ 1 : 2

CM1-2 ทำหน้าที่สะท้อนกระแส I_1 หรือ I_2 ให้ปรากฏที่โหนด B

CM2-1 ทำหน้าที่สะท้อนกระแส I_2 ให้มีขนาดเป็น 1 : 1 หรือ 1 : 2

CM2-2 ทำหน้าที่สะท้อนกระแส I_2 หรือ I_1 ให้ปรากฏที่โหนด A

เงื่อนไขของกระแสที่ต้องการทั้งวงจรความต้านทานลอยตัวแบบบวกและแบบลบ คือ

เอกสารนี้เป็นเอกสารที่สงวนไว้สำหรับการใช้งานเพื่อการศึกษาเท่านั้น ไม่อนุญาตให้นำไปใช้ประโยชน์ด้านการค้า ไม่ว่ากรณีใดๆทั้งสิ้น อีกทั้งห้ามมิให้ตัดแปลงเนื้อหา และต้องอ้างอิงถึงเจ้าของเอกสารทุกครั้งที่มีการนำไปใช้

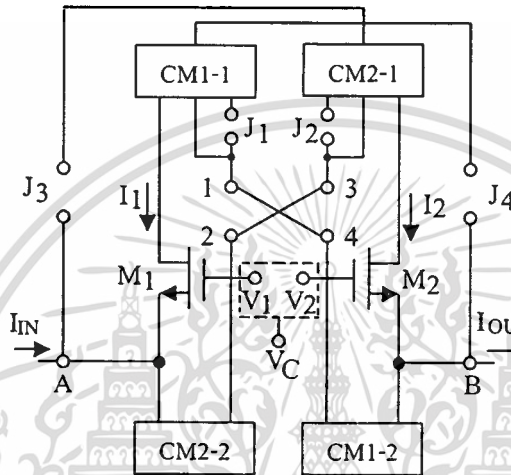
$$I_{IN} \cong I_2 - I_1 = I_{OUT} \quad (3.92)$$

3.6.1 การกำหนดให้ทำงานเป็นวงจรความต้านทานลอยตัวแบบบวก

ทำได้โดยการต่อจุดต่อหมายเลข 1 เข้ากับจุดต่อหมายเลข 4 และ

จุดต่อหมายเลข 2 เข้ากับจุดต่อหมายเลข 3

ดังรูปบล็อกไดอะแกรมที่ 3.33



รูปที่ 3.33 บล็อกไดอะแกรมวงจรความต้านทานลอยตัวกรณีกำหนดให้ทำงานเป็นแบบบวก

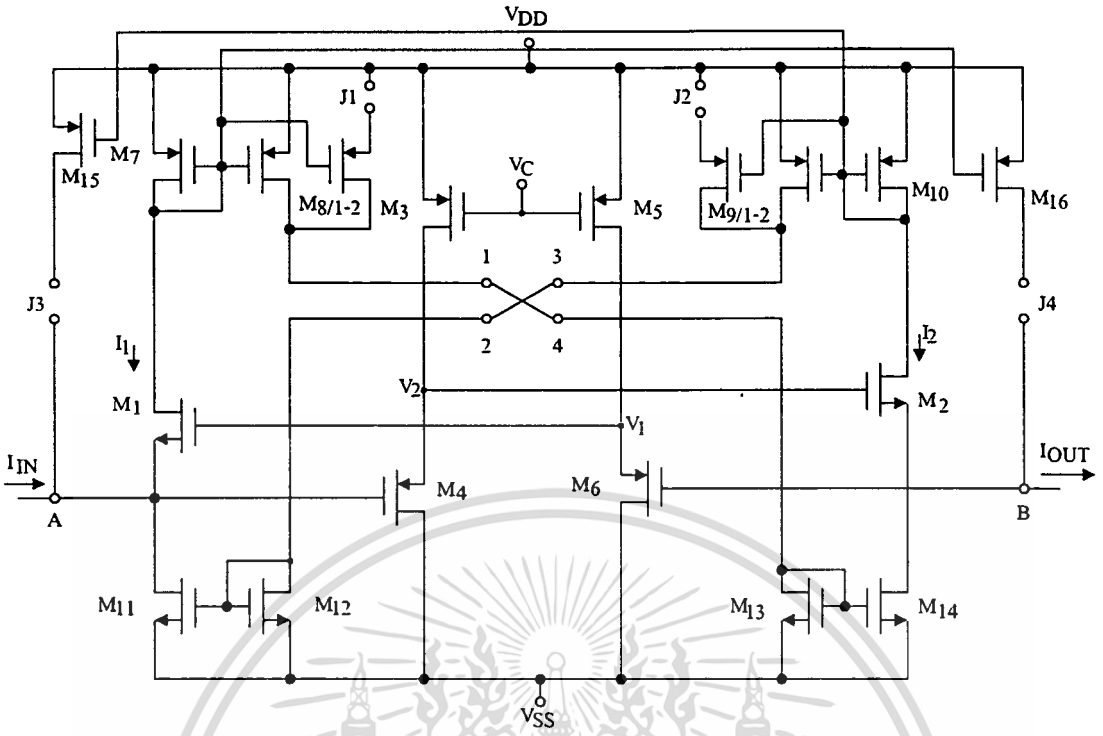
จากรูป กระแส I_{IN} มีทิศพุ่งเข้าโนด A และกระแส I_{OUT} มีทิศพุ่งออกที่โนด B โดยมี CM1-1 และ CM1-2 จะทำหน้าที่ สะท้อนกระแส I_1 ให้ปรากฏที่โนด B ทำให้กระแส I_{OUT} มีค่าเป็น $I_2 - I_1$

CM2-1 และ CM2-2 จะทำหน้าที่ สะท้อนกระแส I_2 ให้ปรากฏที่โนด A ทำให้ได้กระแส I_{IN} มีค่าเป็น $I_2 - I_1$ ตามต้องการ

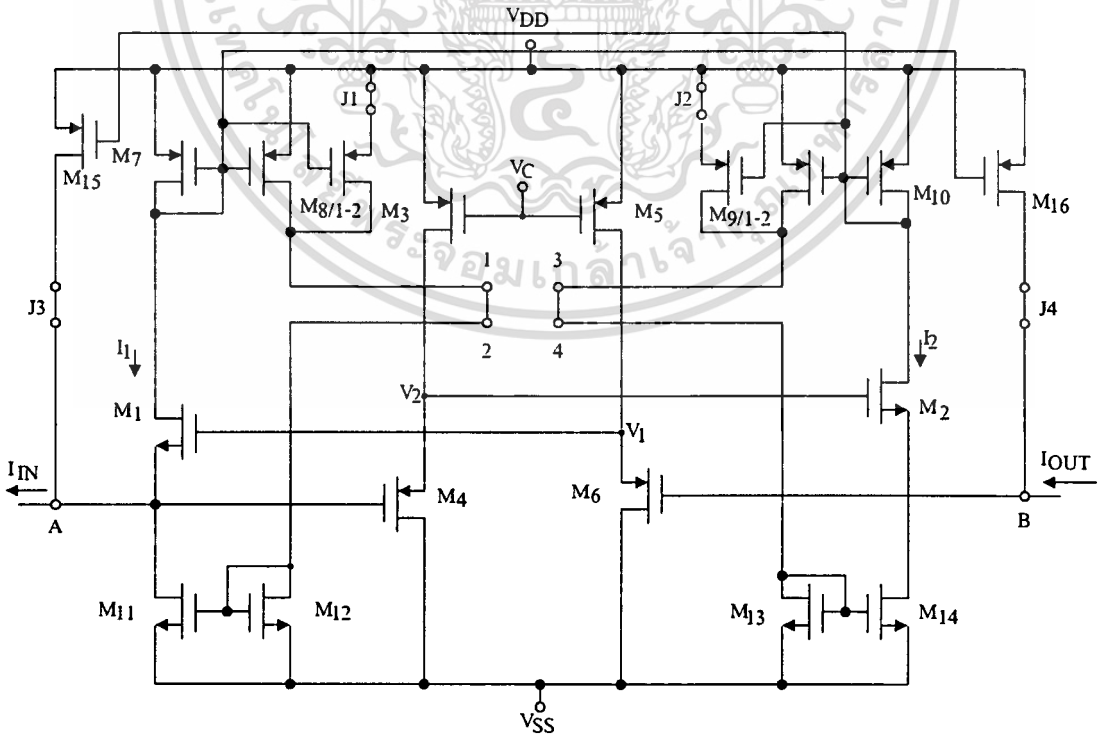
3.6.2 การกำหนดให้ทำงานเป็นวงจรความต้านทานลอยตัวแบบลบ

พิจารณาจากรูปบล็อกไดอะแกรมที่ 3.32 เมื่อต้องการให้วงจรทำหน้าที่เป็นความต้านทานลอยตัวแบบลบ จะต้องทำให้กระแสไหลสวนทางจากเดิม กล่าวคือ ทิศทางการไหลของกระแส I_{IN} จะต้องพุ่งออกจากโนด A และทิศทางของกระแส I_{OUT} ต้องพุ่งเข้าที่โนด B เพื่อให้ได้ดังสมการที่ 3.92 ทำได้โดย การเชื่อมต่อจุดต่อ J_1 ถึง J_4 ทั้งหมด และทำการเชื่อมต่อจุดต่อหมายเลข 1 เข้ากับจุดต่อหมายเลข 2 และเชื่อมต่อจุดต่อหมายเลข 3 เข้ากับจุดต่อหมายเลข 4 ดังรูปบล็อกไดอะแกรมที่ 3.34

เอกสารนี้เป็นเอกสารที่สงวนลิขสิทธิ์สำหรับการใช้งานเพื่อการศึกษาเท่านั้น ไม่อนุญาตให้นำไปใช้ประโยชน์ด้านการค้า
ไม่ว่ากรณีใดๆทั้งสิ้น อีกทั้งห้ามมิให้ตัดแปลงเนื้อหา และต้องอ้างอิงถึงเจ้าของเอกสารทุกครั้งที่มีการนำไปใช้



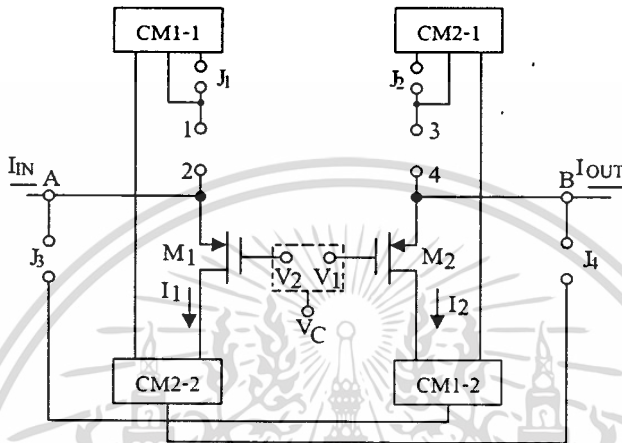
รูปที่ 3.35 วงจรสมบรูณ์ของความต้านทานลอยตัวกรณีกำหนดให้ทำงานเป็นแบบบวก



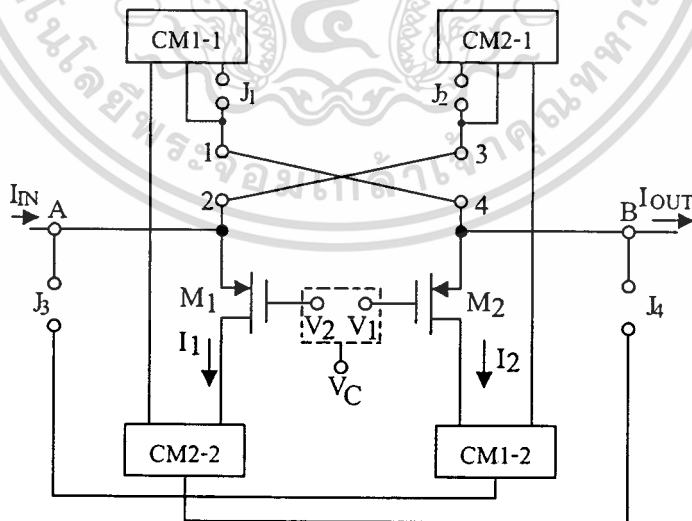
รูปที่ 3.36 วงจรสมบรูณ์ของความต้านทานลอยตัวกรณีกำหนดให้ทำงานเป็นแบบลบ

เอกสารนี้เป็นเอกสารลิขสิทธิ์ของมหาวิทยาลัยเทคโนโลยีพระจอมเกล้าพระนครเหนือ
ไม่ว่ากรณีใดๆทั้งสิ้น อีกทั้งห้ามมิให้คัดแปลงเนื้อหา และต้องอ้างอิงถึงเจ้าของเอกสารทุกครั้งที่มีการนำไปใช้

สำหรับความต้านทานลอยตัวแบบบวกและแบบลบที่สร้างจากมอสทรานซิสเตอร์ชนิดพี (PMOS) จะมีลักษณะของบล็อกไดอะแกรมและวงจรสมบูรณ์ คล้ายกันกับกรณีที่สร้างจากมอสทรานซิสเตอร์ชนิดเอ็น (NMOS) ตามที่ได้กล่าวมา ดังแสดงบล็อกไดอะแกรมรูปที่ 3.37 ถึงรูปที่ 3.39 และ แสดงวงจรสมบูรณ์ได้ดังรูปที่ 3.40 และ 3.41 ตามลำดับ

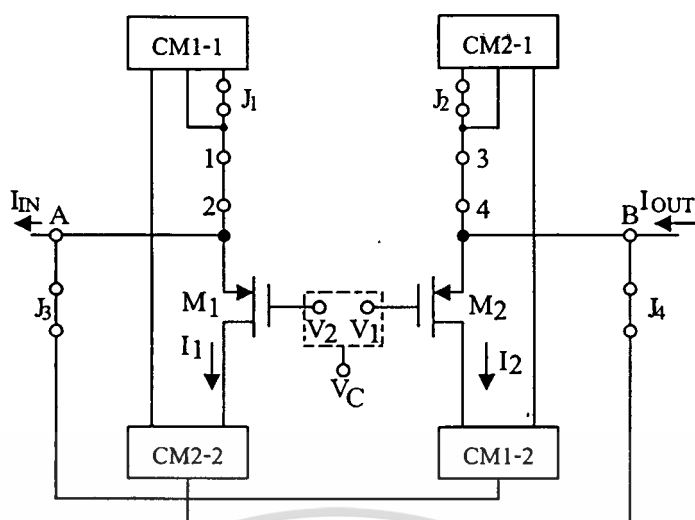


รูปที่ 3.37 บล็อกไดอะแกรมวงจรความต้านทานลอยตัวแบบบวกและแบบลบ ภายในวงจรเดียวกัน ชนิด PMOS

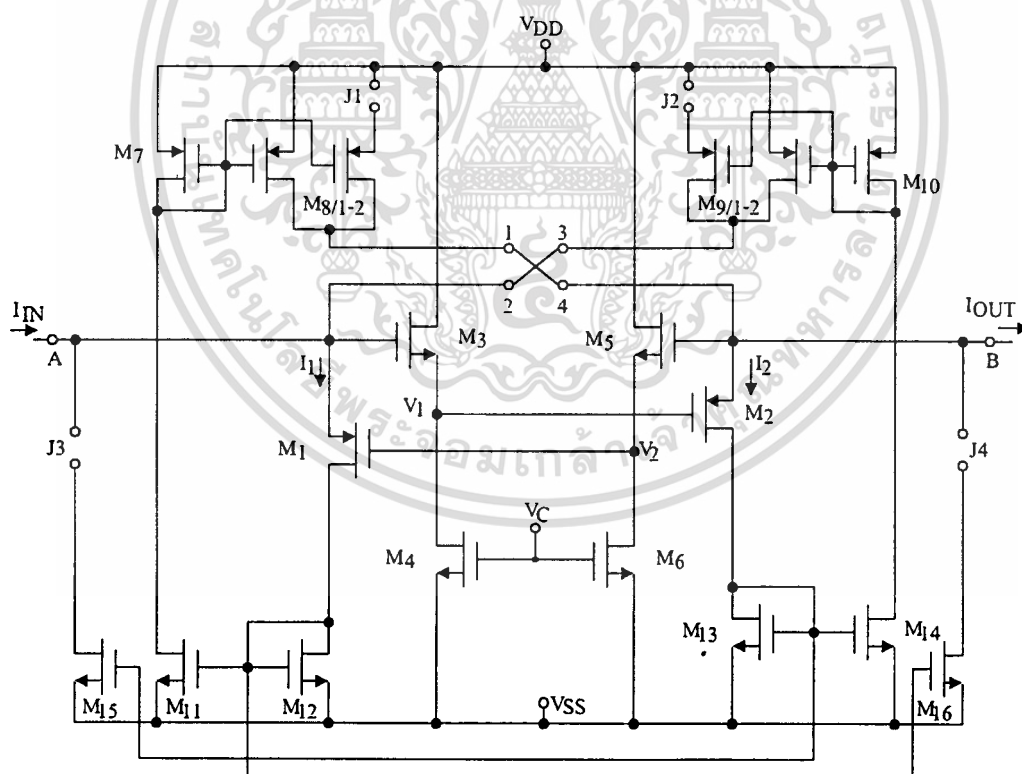


รูปที่ 3.38 บล็อกไดอะแกรมวงจรความต้านทานลอยตัวกรณีกำหนดให้ทำงานเป็นแบบบวก

เอกสารนี้เป็นเอกสารที่สงวนไว้สำหรับการใช้งานเพื่อการศึกษาเท่านั้น ไม่อนุญาตให้นำไปใช้ประโยชน์ด้านการค้า ไม่ว่าจะกรณีใดๆทั้งสิ้น อีกทั้งห้ามมิให้ตัดแปลงเนื้อหา และต้องอ้างอิงถึงเจ้าของเอกสารทุกครั้งที่มีการนำไปใช้

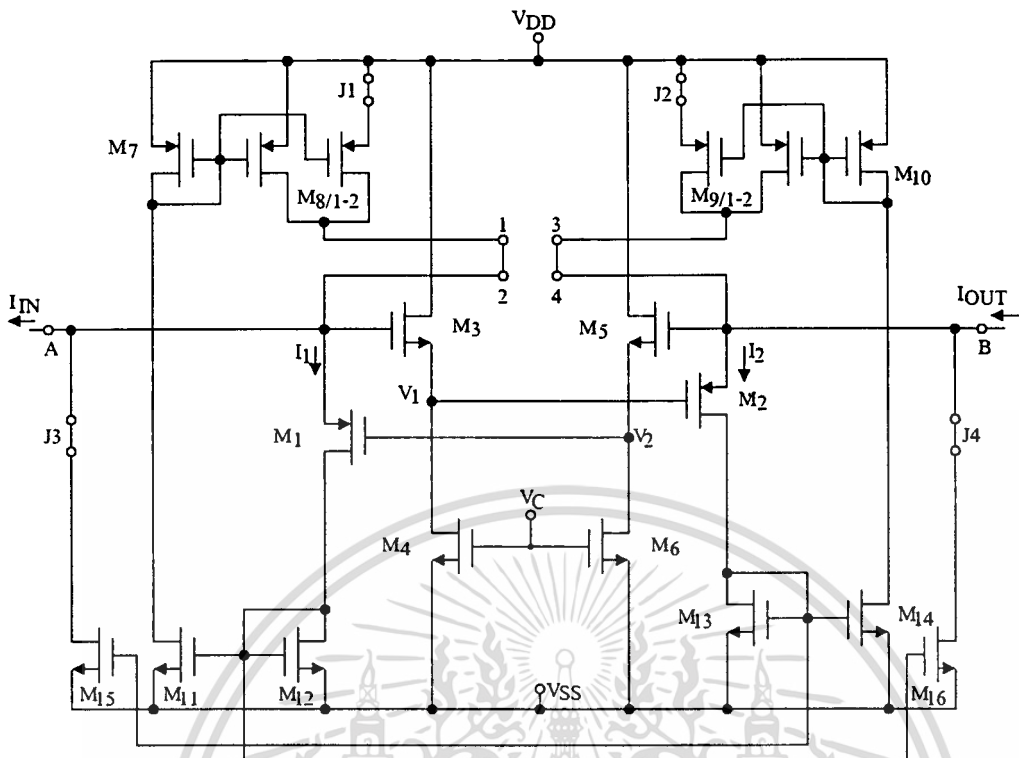


รูปที่ 3.39 บล็อกโคแอดมอดูเลเตอร์ความต้านทานลอยตัวกรณีกำหนดให้ทำงานเป็นแบบลบ



รูปที่ 3.40 วงจรสมมูลของความต้านทานลอยตัวกรณีกำหนดให้ทำงานเป็นแบบบวก

เอกสารนี้เป็นเอกสารที่สงวนไว้สำหรับการใช้งานเพื่อการศึกษาเท่านั้น ไม่อนุญาตให้นำไปใช้ประโยชน์ด้านการค้า
ไม่ว่ากรณีใดๆทั้งสิ้น อีกทั้งห้ามมิให้ดัดแปลงเนื้อหา และต้องอ้างอิงถึงเจ้าของเอกสารทุกครั้งที่มีการนำไปใช้



รูปที่ 3.41 วงจรสมบูรณ์ของความต้านทานลอยตัวกรณีกำหนดให้ทำงานเป็นแบบลบ

บทที่ 4

การจำลองการทำงาน

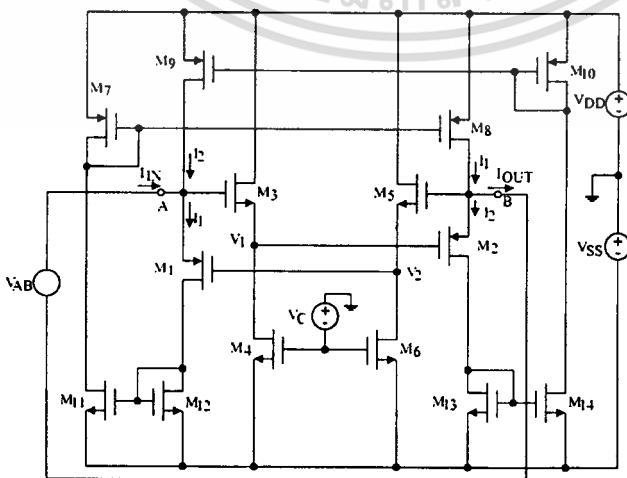
4.1 กล่าวนำ

วิทยานิพนธ์นี้ได้เสนอการปรับปรุงวงจรความต้านทานลอยตัวแบบบวกที่ปรับค่าได้ด้วยแรงดันให้มีช่วงปฏิบัติงานแรงดันอินพุตได้กว้างขึ้น และได้ทำการคิดแปลงวงจรความต้านทานดังกล่าวให้สามารถทำหน้าที่เป็นวงจรความต้านทานลอยตัวแบบลบได้ และเพื่อตรวจสอบการทำงานของวงจรที่ได้ออกแบบไว้แล้วในบทที่ 3 จึงได้ทำการจำลองการทำงานของวงจรความต้านทานลอยตัวทั้งแบบบวกและแบบลบเหล่านั้น ด้วยโปรแกรมพีเอสไปซ์ (Pspice) โดยนำ Model parameter ที่เป็นแบบจำลองของเทคโนโลยีซีมอส Level 2 ของ MOSIS มาใช้ โดยมีค่าต่างๆ แสดงในภาคผนวก ก ได้ผลการจำลองการทำงานในลักษณะต่างๆ ดังรายละเอียดต่อไปนี้

4.2 การจำลองการทำงานด้วยโปรแกรมคอมพิวเตอร์

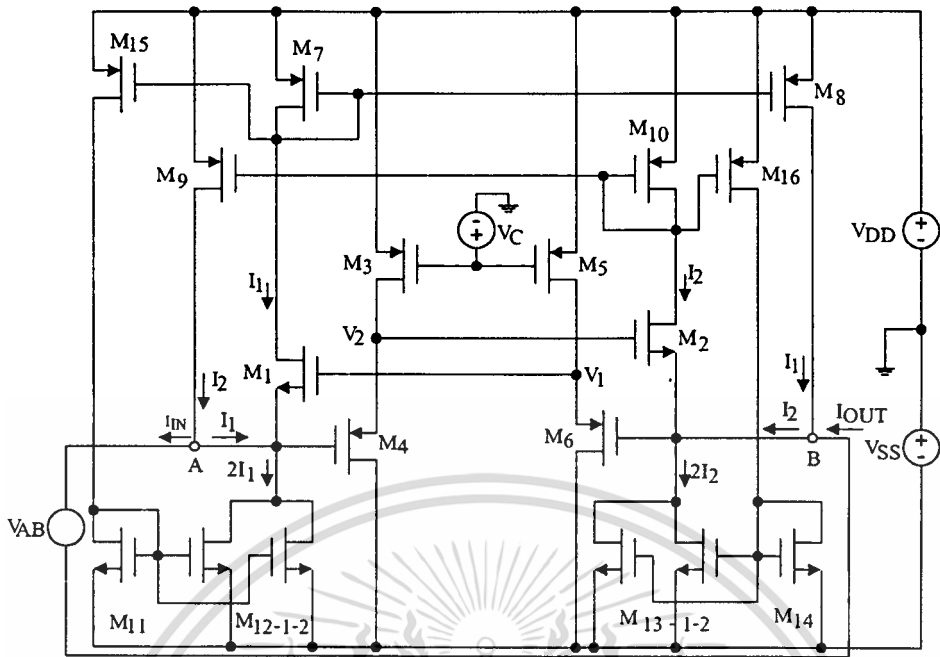
4.2.1 การจำลองวงจรความต้านทานลอยตัว เพื่อหาความสัมพันธ์ของกระแส และแรงดัน

การต่อวงจรจำลองการทำงาน เพื่อหาความสัมพันธ์ระหว่างแรงดัน V_{AB} กับกระแส I_{AB} ของวงจรรูปที่ 3.15 , 3.24 และ 3.31 แสดงดังรูปที่ 4.1 ถึงรูปที่ 4.3 ตามลำดับ โดยการจำลองนั้นจะจ่ายไฟเลี้ยง V_{DD} และ V_{SS} เป็น $\pm 5V$ และทำการปรับค่าแรงดันอินพุต V_{AB} ให้มีค่าเปลี่ยนแปลงตั้งแต่ $-5V$ ถึง $+5V$ และปรับแรงดัน V_C มีค่าต่างๆ จะได้ความสัมพันธ์ระหว่างแรงดัน V_{AB} กับกระแส I_{AB} ของความต้านทานลอยตัวแบบบวก และแบบลบ ได้ผลการจำลองการทำงานของวงจรตามรูปที่ 4.1 ถึงรูปที่ 4.3 เป็นดังรูปที่ 4.4 ถึงรูปที่ 4.6 ตามลำดับ

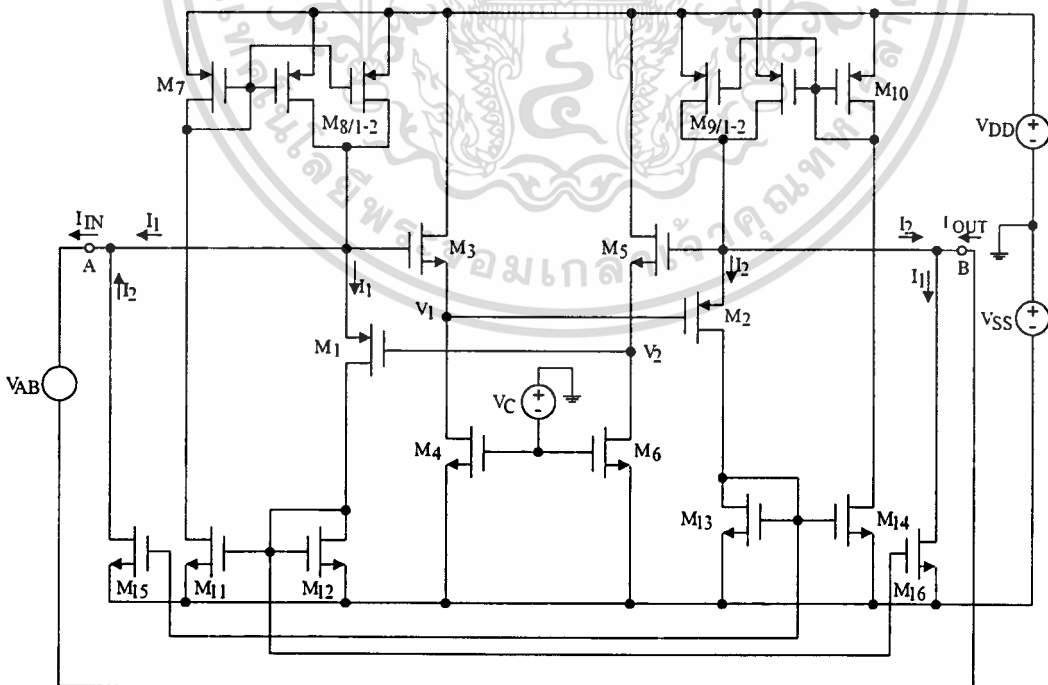


รูปที่ 4.1 วงจรความต้านทานลอยตัว แบบบวก

เอกสารนี้เป็นเอกสารลิขสิทธิ์ของมหาวิทยาลัยเทคโนโลยีพระจอมเกล้าเจ้าคุณทหารลาดกระบัง ไม่อนุญาติให้นำไปใช้ประโยชน์ด้านการค้า ไม่ว่าจะกรณีใดๆทั้งสิ้น อีกทั้งห้ามมิให้ดัดแปลงเนื้อหา และต้องอ้างอิงถึงเจ้าของเอกสารทุกครั้งที่มีการนำไปใช้

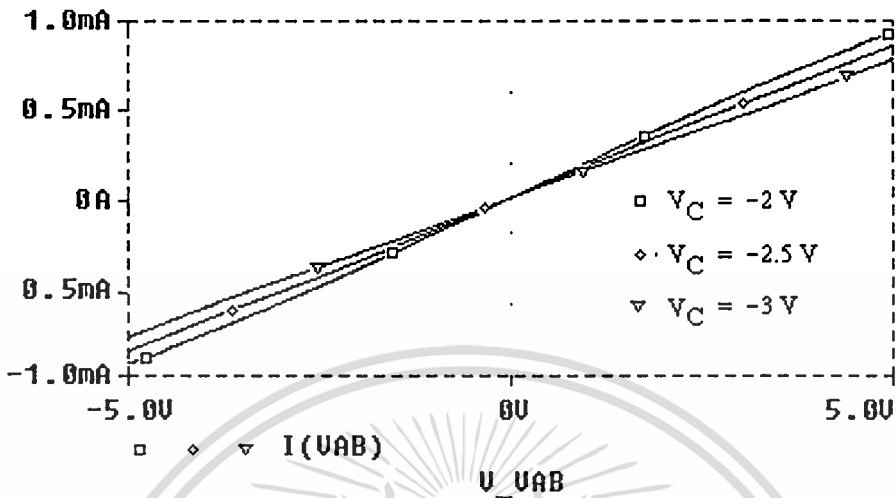


รูปที่ 4.2 วงจรความต้านทานลอยตัว แบบลบ วงจรที่ 1

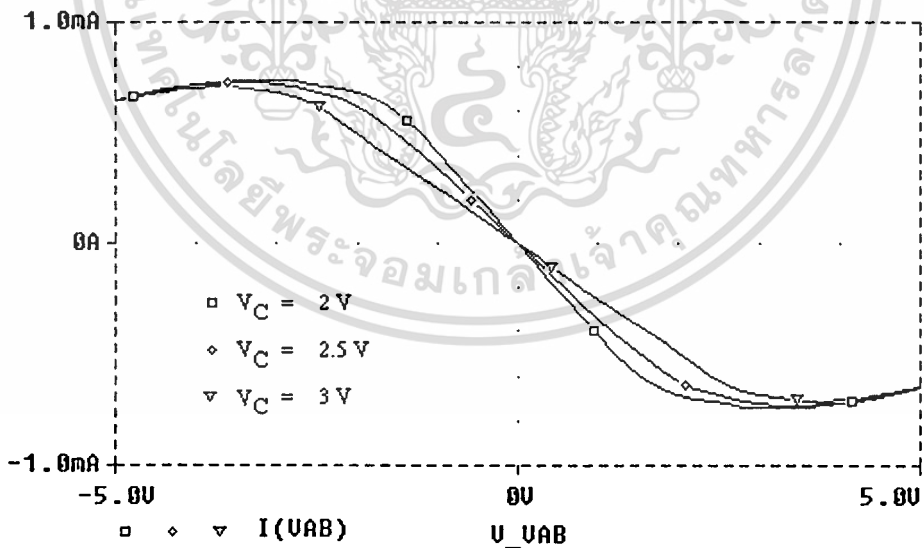


เอกรูปที่ 4.3 วงจรความต้านทานลอยตัว แบบลบ วงจรที่ 2
 มาเท่านั้น ไม่นอนุญาตให้นำไปใช้ประโยชน์ด้านการค้า
 ไม่ว่าจะกรณีใดๆทั้งสิ้น อีกทั้งห้ามมิให้ดัดแปลงเนื้อหา และต้องอ้างอิงถึงเจ้าของเอกสารทุกครั้งที่มีการนำไปใช้

ผลการจำลองที่ได้มีลักษณะต่างๆ ดังนี้

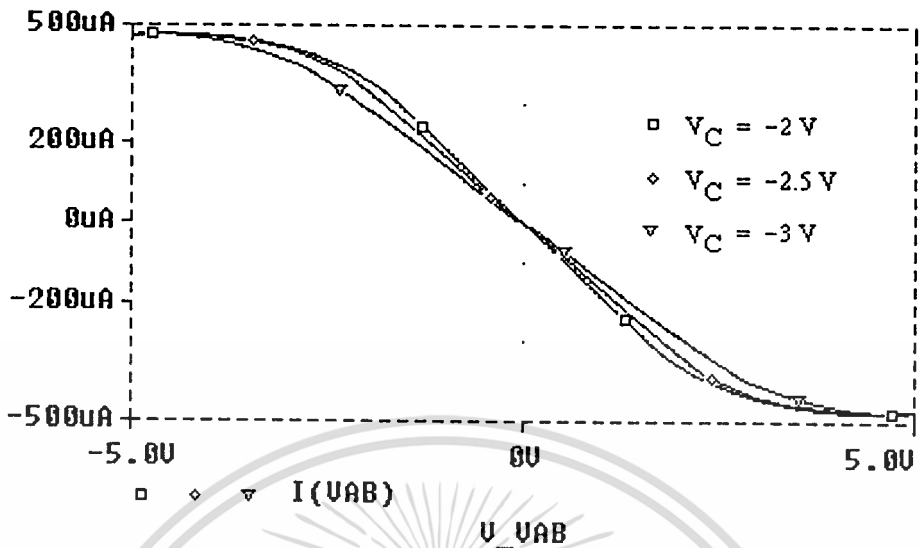


รูปที่ 4.4 ความสัมพันธ์ระหว่างแรงดัน V_{AB} กับกระแส I_{AB} เมื่อ V_C มีค่าต่างๆ กัน ของวงจรรูปที่ 4.1



รูปที่ 4.5 ความสัมพันธ์ระหว่างแรงดัน V_{AB} กับกระแส I_{AB} เมื่อ V_C มีค่าต่างๆ กัน ของวงจรรูปที่ 4.2

เอกสารนี้เป็นเอกสารที่สงวนไว้สำหรับการใช้งานเพื่อการศึกษาเท่านั้น ไม่อนุญาตให้นำไปใช้ประโยชน์ด้านการค้า ไม่ว่าจะกรณีใดๆทั้งสิ้น อีกทั้งห้ามมิให้ตัดแปลงเนื้อหา และต้องอ้างอิงถึงเจ้าของเอกสารทุกครั้งที่มีการนำไปใช้



รูปที่ 4.6 ความสัมพันธ์ระหว่างแรงดัน V_{AB} กับกระแส I_{AB} เมื่อ V_C มีค่าต่างๆ กัน ของวงจรรูปที่ 4.3

จากรูป 4.4 จะเห็นได้ว่าทิศทางของกระแสจะมีทิศทางที่สอดคล้องกับแรงดันที่ใหในวงจร กล่าวคือ เมื่อแรงดันมีค่าเป็นบวก กระแสก็มีค่าเป็นบวก และเมื่อแรงดันมีค่าเป็นลบ ค่าของกระแสก็มีค่าเป็นลบด้วย ซึ่งความสัมพันธ์ของกระแสและแรงดันนี้ ก็คือความต้านทานแบบบวกนั่นเอง

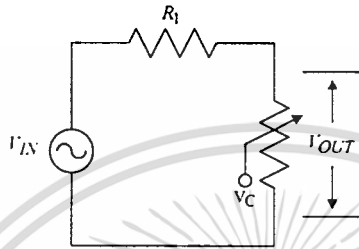
และจากรูป 4.5 และ 4.6 พบว่าทิศทางของกระแสจะไม่สอดคล้องกับทิศทางของแรงดัน กล่าวคือ เมื่อแรงดันมีค่าเป็นบวก ค่าของกระแสเป็นลบ และถ้าค่าแรงดันเป็นลบ ค่ากระแสก็จะ เป็นค่าบวก ดังนั้นความสัมพันธ์ของกระแสและแรงดันในกรณีนี้จึงเป็นความต้านทานแบบลบ

นอกจากนี้ จะเห็นได้ว่า เมื่อค่าแรงดัน V_C เปลี่ยนไป จะมีผลทำให้ความชันระหว่างกระแส และแรงดันของวงจรมีการเปลี่ยนแปลง หรือกล่าวได้ว่า ค่าของความต้านทานจะมีค่าเปลี่ยนแปลง ตามการปรับค่าของแรงดัน V_C นั่นเอง

จากผลการจำลองการทำงานของวงจร จะเห็นได้ว่าช่วงปฏิบัติการงานของแรงดันมีความเป็นเชิงเส้นสูงตลอดช่วงของแรงดันใช้งาน โดยในกรณีของวงจรความต้านทานแบบบวกจะมีค่าอยู่ ประมาณ $\pm 4V$ ส่วนในกรณีของวงจรความต้านทานแบบลบทั้งสองวงจรจะมีค่าประมาณ $\pm 2V$ สาเหตุหนึ่งที่ทำให้ผลของวงจรความต้านทานลอยตัวแบบลบมีความเป็นเชิงเส้นที่น้อยกว่าวงจร ความต้านทานแบบบวก อาจเกิดจากความไม่เป็นอุดมคติของวงจรสะท้อนกระแสซึ่งในวงจร ความต้านทานแบบลบนั้นใช้มากกว่าในวงจรความต้านทานแบบบวก

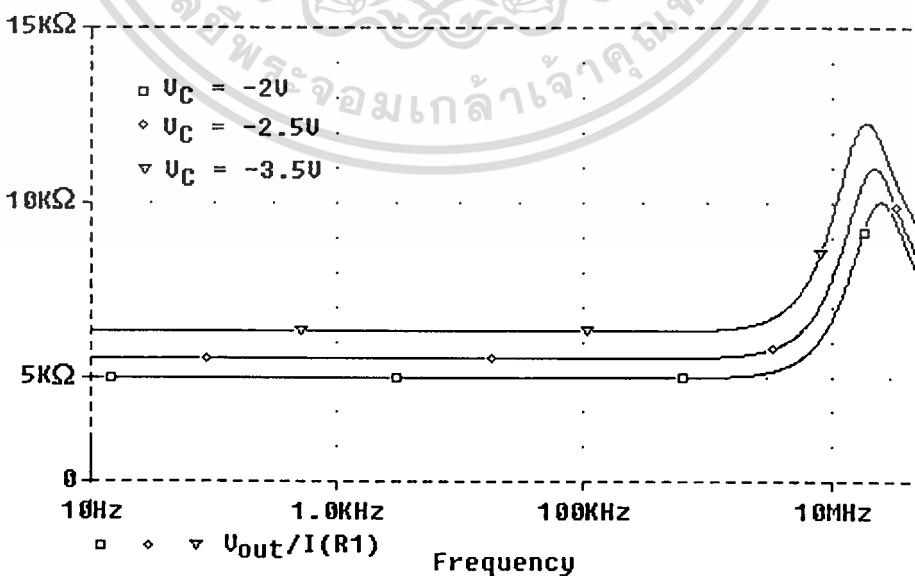
4.2.2 การจำลองวงจรเพื่อหาผลตอบสนองเชิงความถี่

สำหรับการทดสอบเพื่อดูย่านความถี่การทำงานหรือช่วงความถี่การใช้งาน ของวงจรความต้านทานลอยตัว สามารถทำการทดสอบได้โดยการนำวงจรความต้านทานลอยตัวแบบบวก ที่เสนอการปรับปรุงตามรูปที่ 3.15 และวงจรความต้านทานลอยตัวแบบลบที่ได้จากการดัดแปลงวงจรความต้านทานลอยตัวแบบบวก รูปที่ 3.24 และรูปที่ 3.31 มาประกอบเป็นวงจรที่มีลักษณะดังแสดงในรูปที่ 4.7

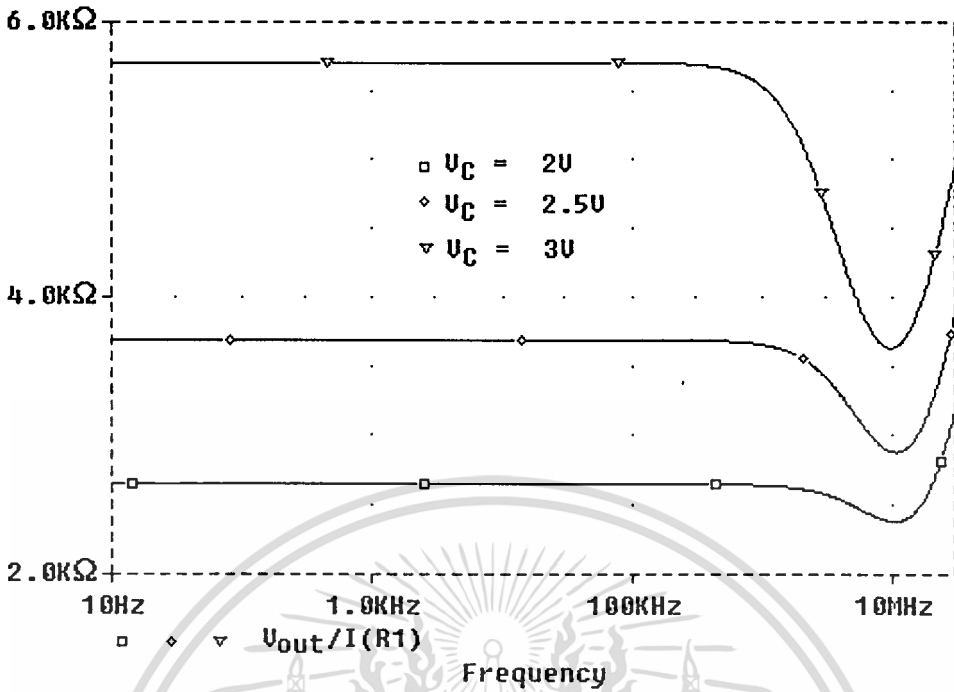


รูปที่ 4.7 ลักษณะการต่อวงจรที่ใช้ทดสอบเพื่อหาผลตอบสนองเชิงความถี่

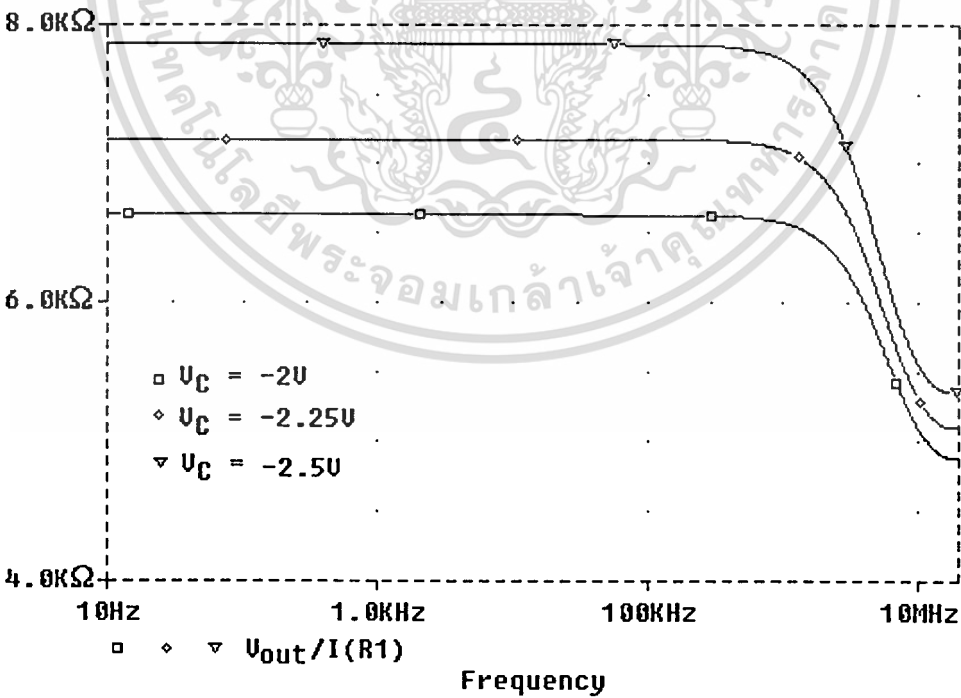
ป้อนแรงดัน V_{IN} เป็นสัญญาณไซน์ขนาด $1V_p$ โดยปรับความถี่ตั้งแต่ 10Hz จนถึงค่า 1GHz ให้กับวงจร และมีค่าความต้านทานอนุกรมซึ่งมีค่าเทียบเท่ากับความต้านทานของแหล่งกำเนิดสัญญาณขนาด $2\text{k}\Omega$ แล้วทำการวัดค่าความต้านทานของวงจรความต้านทานลอยตัว โดยให้แรงดันควบคุม V_C มีค่าต่างๆ กัน ได้ผลตอบสนองเชิงความถี่ของวงจรความต้านทานลอยตัวของวงจรรูปที่ 3.15 , 3.24 และรูป 3.31 แสดงผลดังในรูปที่ 4.8 ถึง 4.13 ตามลำดับ



เอกสารรูปที่ 4.8 ผลตอบสนองเชิงความถี่ของวงจรรูปที่ 3.15 ศึกษาเท่านั้น ไม่อนุญาตให้นำไปใช้ประโยชน์ด้านการค้า ไม่ว่าจะกรณีใดๆทั้งสิ้น อีกทั้งห้ามมิให้ดัดแปลงเนื้อหา และต้องอ้างอิงถึงเจ้าของเอกสารทุกครั้งที่มีการนำไปใช้



รูปที่ 4.9 ผลตอบสนองความถี่ของวงจรรูปที่ 3.24



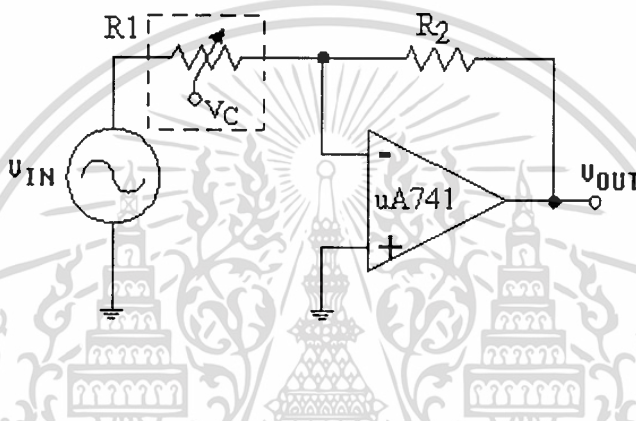
รูปที่ 4.10 ผลตอบสนองความถี่ของวงจรรูปที่ 3.31

เอกสารนี้เป็นเอกสารที่สงวนไว้สำหรับการใช้งานเพื่อการศึกษาเท่านั้น ไม่อนุญาตให้นำไปใช้ประโยชน์ด้านการค้า ไม่ว่าจะกรณีใดๆทั้งสิ้น อีกทั้งห้ามมิให้ตัดแปลงเนื้อหา และต้องอ้างอิงถึงเจ้าของเอกสารทุกครั้งที่มีการนำไปใช้

เมื่อสังเกตจากผลการเลียนแบบในรูปที่ 4.8 จนถึงรูปที่ 4.10 จะพบว่าผลตอบสนองความถี่ของทุกวงจรจะให้ค่าความต้านทานที่เป็นเชิงเส้นอยู่ในช่วงความถี่มีค่าโดยประมาณ 1 MHz

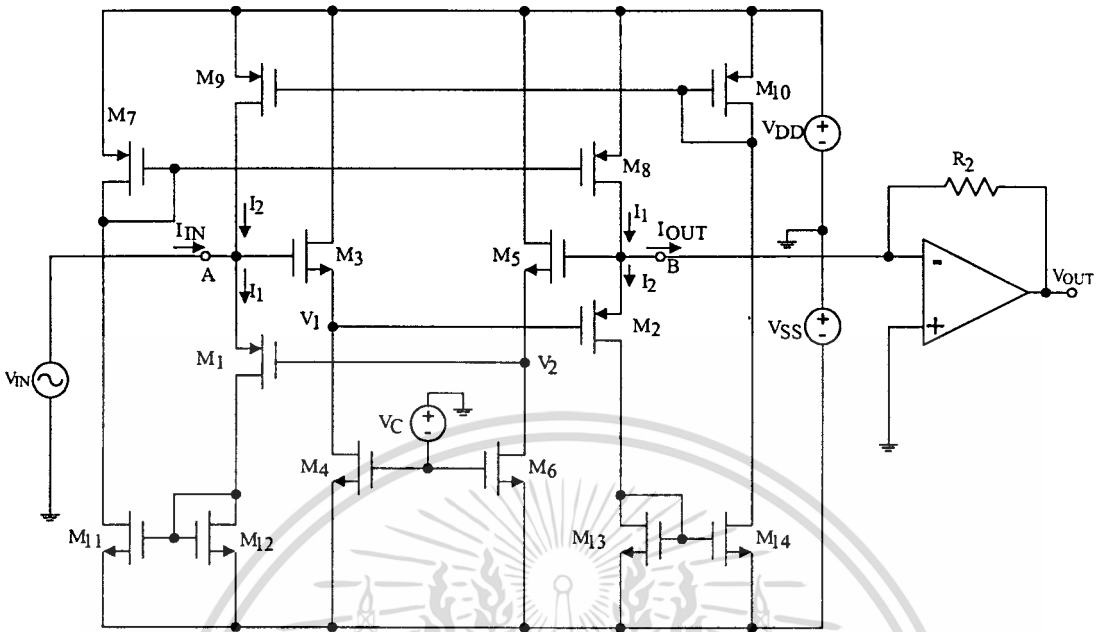
4.2.3 ตัวอย่างการประยุกต์ใช้งาน

ได้แสดงการนำวงจรความต้านทานลอยตัว ทั้ง 3 วงจรมาประยุกต์ใช้ โดยประกอบเป็นวงจรขยายสัญญาณแบบกลับเฟส (Inverting Amplifier) ดังแสดงในรูปที่ 4.11

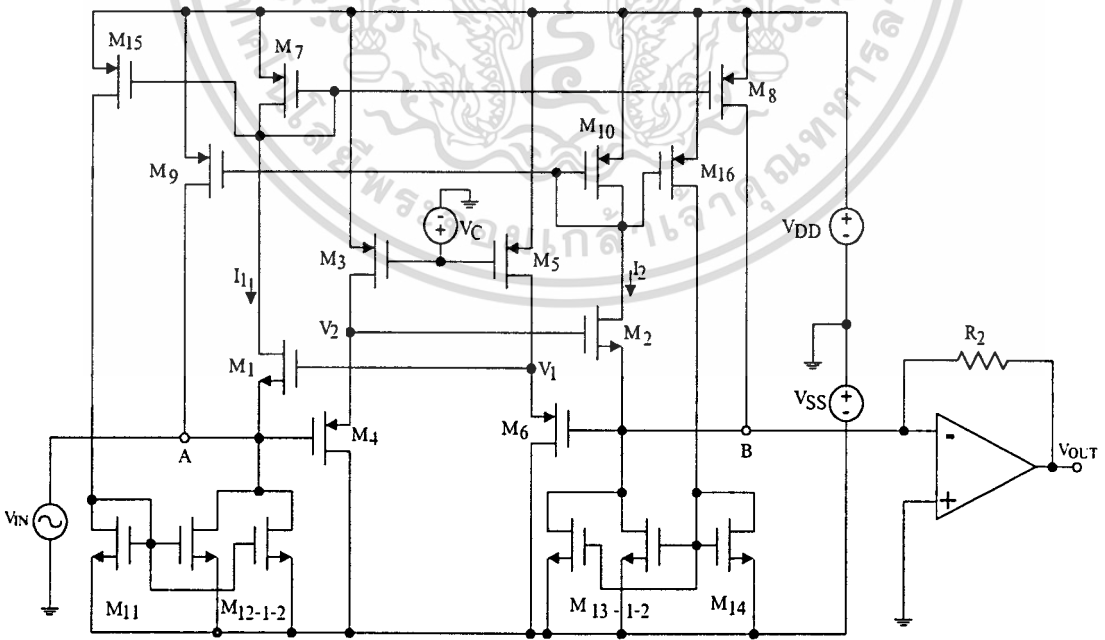


รูปที่ 4.11 วงจรขยายสัญญาณแบบกลับเฟส

โดยในการจำลองการทำงานนั้นใช้ออปแอมป์เบอร์ $\mu A741$ ใช้ R_2 เป็นความต้านทานที่มีค่าคงที่เท่ากับ $2 \text{ k}\Omega$ ใช้แรงดันอินพุตเป็นสัญญาณไซน์ขนาด 1 V_p ที่มีความถี่ 1 kHz ในกรณีที่ค่า R_1 ถูกแทนด้วยวงจรในรูปที่ 3.15 จะเขียนวงจรใหม่แสดงได้ดังรูปที่ 4.12 ได้ผลการจำลองการทำงานในกรณีที่ใช้แรงดันควบคุม V_C มีค่าต่างๆ กัน แสดงดังในรูปที่ 4.15 ในกรณีที่ค่า R_1 ถูกแทนด้วยวงจรในรูปที่ 3.24 ซึ่งเขียนวงจรใหม่แสดงได้ดังรูปที่ 4.13 ได้ผลการจำลองการทำงานในกรณีที่ใช้แรงดันควบคุม V_C มีค่าต่างๆ กัน แสดงดังในรูปที่ 4.16 ส่วนในกรณีที่ค่า R_1 ถูกแทนด้วยวงจรในรูปที่ 3.31 เขียนวงจรใหม่แสดงได้ดังรูปที่ 4.14 ได้ผลการจำลองการทำงานในกรณีที่ใช้แรงดันควบคุม V_C มีค่าต่างๆ กัน แสดงดังในรูปที่ 4.17 ตามลำดับ

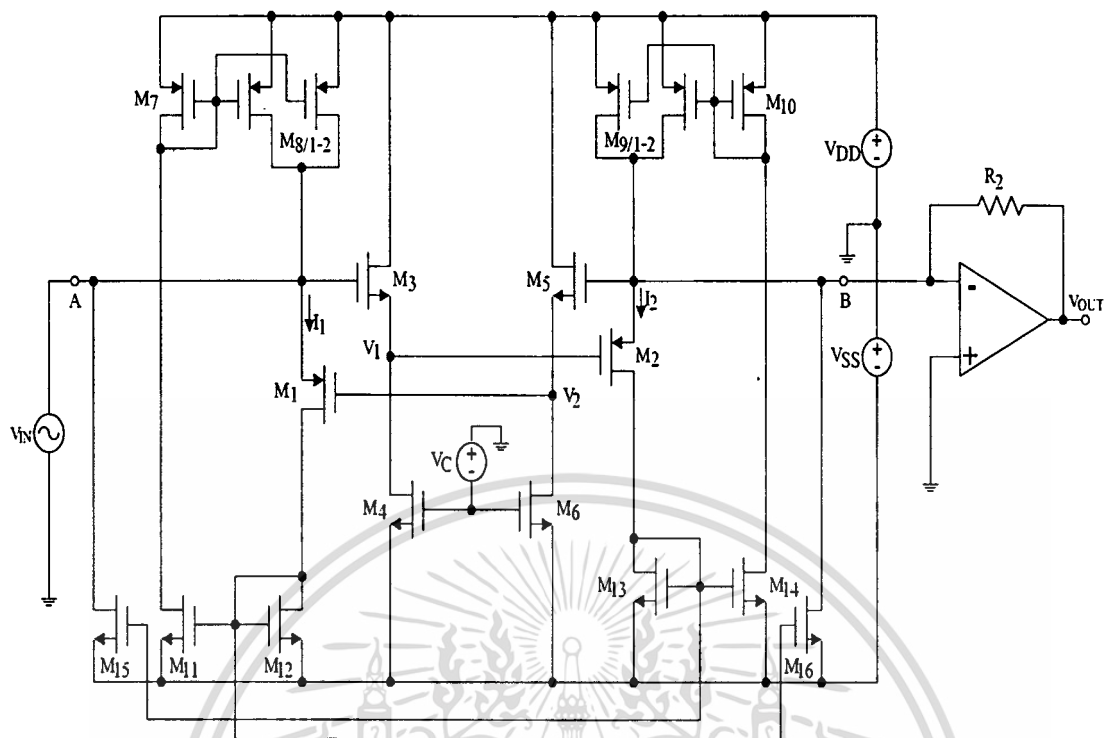


รูปที่ 4.12 วงจรขยายสัญญาณแบบกลับเฟสเมื่อใช้วงจรความต้านทานลอยตัวแบบบวก

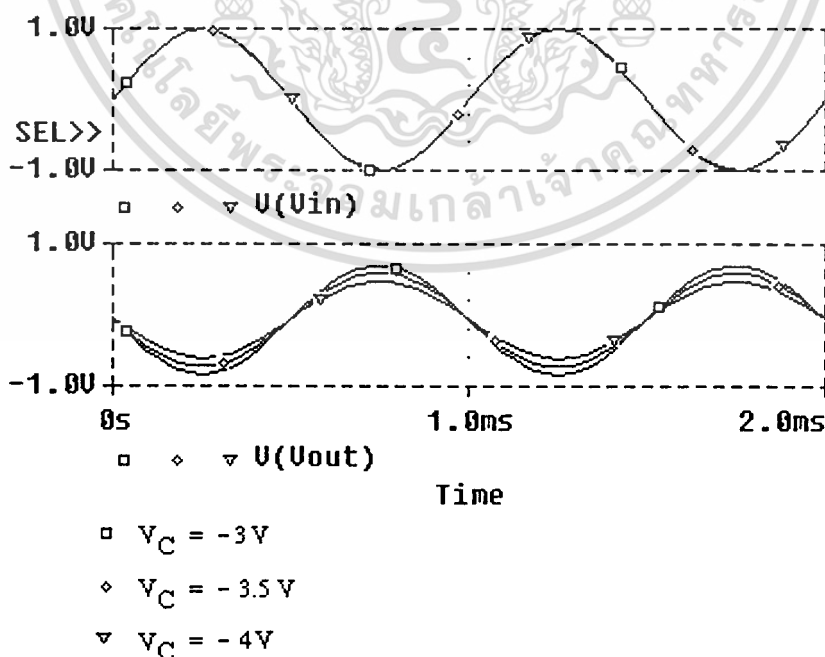


รูปที่ 4.13 วงจรขยายสัญญาณแบบกลับเฟสเมื่อใช้วงจรความต้านทานลอยตัวแบบลบวงจรที่ 1

เอกสารนี้เป็นเอกสารที่สงวนไว้สำหรับการใช้งานเพื่อการศึกษาเท่านั้น ไม่อนุญาตให้นำไปใช้ประโยชน์ด้านการค้า ไม่ว่าจะกรณีใดๆทั้งสิ้น อีกทั้งห้ามมิให้ดัดแปลงเนื้อหา และต้องอ้างอิงถึงเจ้าของเอกสารทุกครั้งที่มีการนำไปใช้



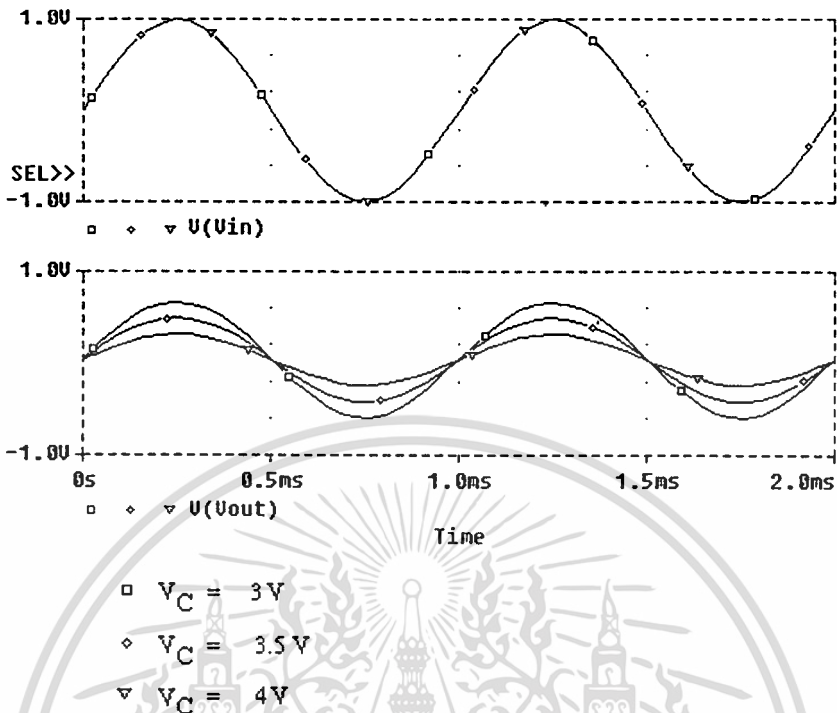
รูปที่ 4.14 วงจรขยายสัญญาณแบบกัลบเฟสเมื่อใช้วงจรความต้านทานลอยตัวแบบลวงวงจรที่ 2



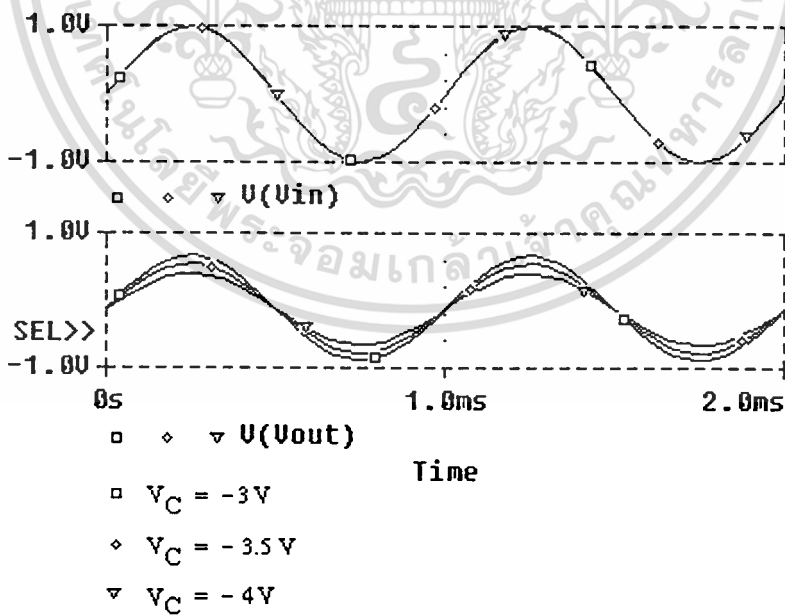
รูปที่ 4.15 ผลการจำลองการทำงานเมื่อ R_1 ถูกแทนด้วยวงจรรูปที่ 3.15 (วงจรรูปที่ 4.12)

เอกสารนี้เป็นเอกสารที่สงวนไว้สำหรับการใช้งานเพื่อการศึกษาเท่านั้น ไม่อนุญาตให้เผยแพร่ไปใช้ประโยชน์ด้านการค้า

ไม่ว่ากรณีใดๆทั้งสิ้น อีกทั้งห้ามมิให้ตัดแปลงเนื้อหา และต้องอ้างอิงถึงเจ้าของเอกสารทุกครั้งที่มีการนำไปใช้



รูปที่ 4.16 ผลการจำลองการทำงานเมื่อ R_1 ถูกแทนด้วยวงจรรูปที่ 3.24 (วงจรรูปที่ 4.13)



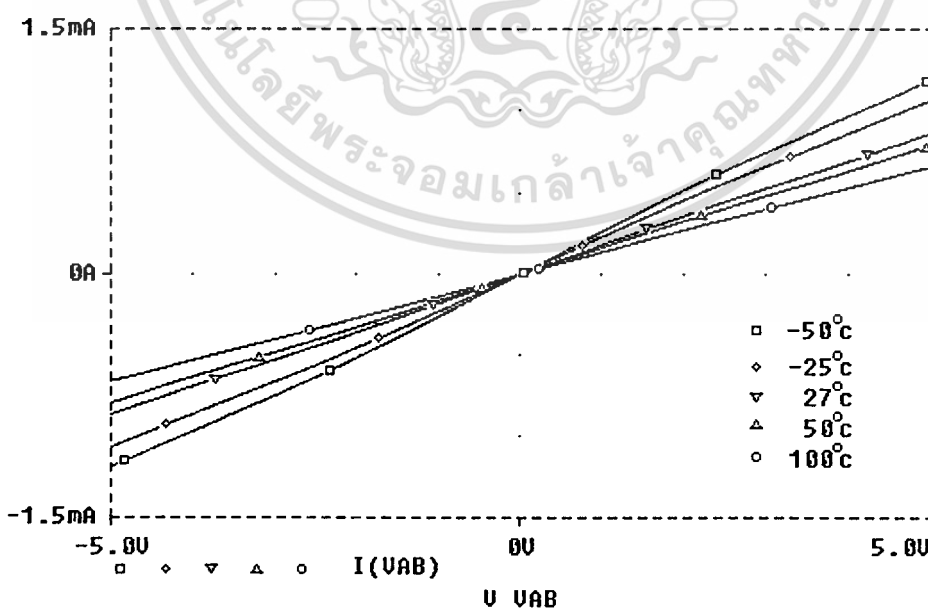
รูปที่ 4.17 ผลการจำลองการทำงานเมื่อ R_1 ถูกแทนด้วยวงจรรูปที่ 3.31 (วงจรรูปที่ 4.14)

เอกสารนี้เป็นเอกสารที่สงวนไว้สำหรับการใช้งานเพื่อการศึกษาเท่านั้น ไม่อนุญาตให้นำไปใช้ประโยชน์ด้านการค้า
 ไม่ว่ากรณีใดๆทั้งสิ้น อีกทั้งห้ามมิให้ตัดแปลงเนื้อหา และต้องอ้างอิงถึงเจ้าของเอกสารทุกครั้งที่มีการนำไปใช้

เมื่อสังเกตจากผลที่ได้เหล่านี้พบว่า ในกรณีที่ใช่วงจรตามรูปที่ 3.15 แทน R_1 แรงดันเอาต์พุต V_{OUT} ของวงจรถูกกลับเฟสกับแรงดันอินพุตซึ่งแสดงว่าวงจรมีลักษณะเป็นความต้านทานค่าบวก ส่วนในกรณีที่นำวงจรมารูปที่ 3.24 และ รูปที่ 3.31 มาใช้แทน R_1 พบว่าแรงดันเอาต์พุตที่ได้จะมีเฟสเหมือนกับแรงดันอินพุต ทั้งนี้เนื่องจากว่าวงจรมีลักษณะเป็นความต้านทานค่าลบนั่นเอง และสามารถควบคุมขนาดของสัญญาณเอาต์พุต ได้โดยการปรับแรงดันควบคุม V_C ทั้งสองกรณี กล่าวคือเมื่อแรงดันควบคุม V_C มีค่าเป็นลบเพิ่มขึ้นจะทำให้ได้ค่าความต้านทาน R_1 เพิ่มขึ้น ซึ่งมีผลทำให้อัตราขยายของวงจรมีค่าลดลง ดังนั้นจึงทำให้ค่าแรงดันเอาต์พุตมีขนาดเล็กลงด้วย และจากผลการจำลองการทำงานในกรณีนี้จะพบว่าวงจรมีความต้านทานที่เสนอมีค่าแรงดันออฟเซต (offset) เกิดขึ้นซึ่งมีค่าไม่มากนัก

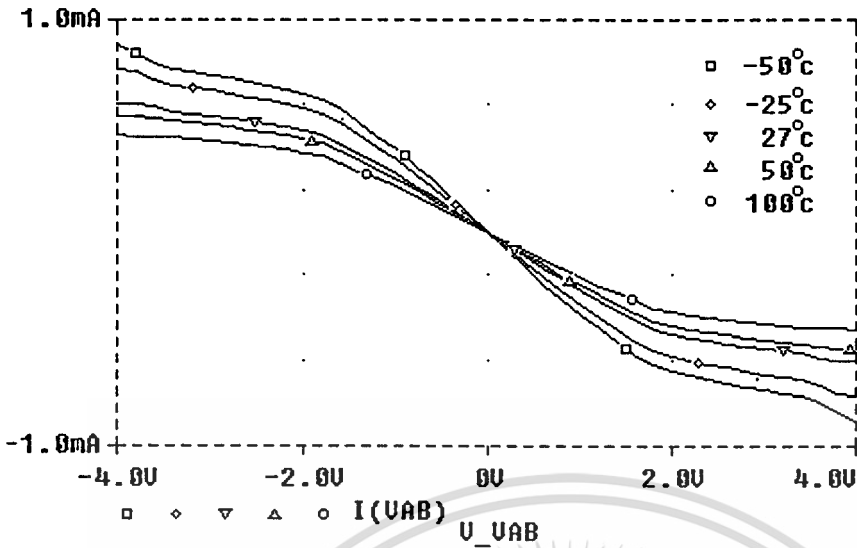
4.2.4 การจำลองค่าความต้านทานต่ออุณหภูมิ

ในการจำลองนี้ เป็นการจำลองการทำงานเพื่อดูเสถียรภาพของค่าความต้านทานต่ออุณหภูมิที่แปรเปลี่ยนไป โดยการนำวงจรมีความต้านทานลอยตัวแบบบวกและแบบลบของวงจรรูปที่ 4.1 จนถึงวงจรรูปที่ 4.3 มาทำการจำลองที่อุณหภูมิต่างๆ โดยการปรับเปลี่ยนค่าอุณหภูมิตั้งแต่ -50°C จนถึง 100°C และทำการปรับค่าแรงดันควบคุม V_C ให้มีค่าคงที่ 3V ทำการปรับค่าแรงดัน V_{AB} ให้มีค่าเปลี่ยนแปลงตั้งแต่ -5V ถึง $+5\text{V}$ ได้ผลจากการจำลองเป็นดังรูปที่ 4.18 ถึง รูปที่ 4.20

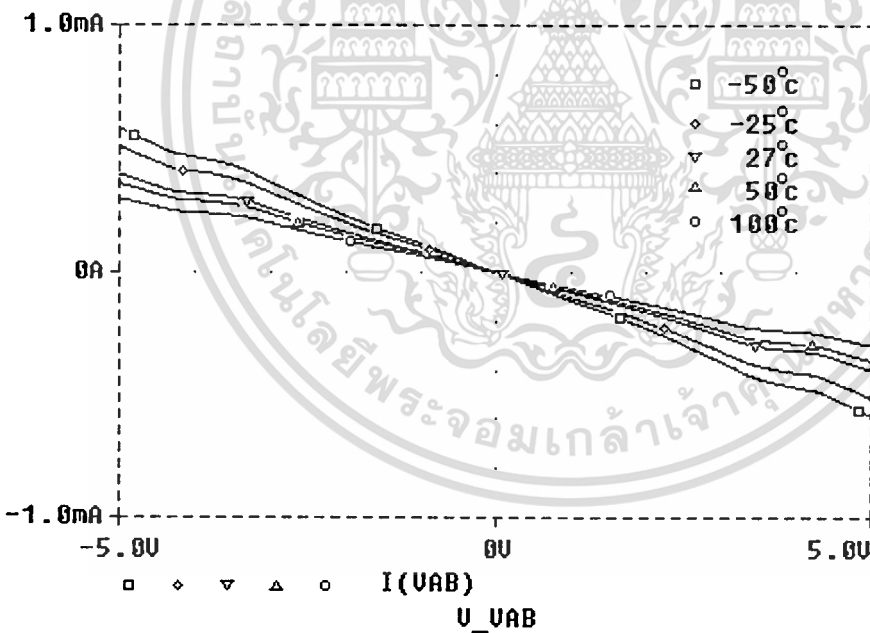


รูปที่ 4.18 เสถียรภาพของค่าความต้านทานต่ออุณหภูมิ ของวงจรมีความต้านทานลอยตัวแบบบวก

เอกสารนี้เป็นเอกสารที่สงวนไว้สำหรับการใช้งานเพื่อการศึกษาเท่านั้น ไม่อนุญาตให้นำไปใช้ประโยชน์ด้านการค้า ไม่ว่าจะกรณีใดๆทั้งสิ้น อีกทั้งห้ามมิให้ตัดแปลงเนื้อหา และต้องอ้างอิงถึงเจ้าของเอกสารทุกครั้งที่มีการนำไปใช้



รูปที่ 4.19 เสถียรภาพของค่าความต้านทานต่ออุณหภูมิ ของวงจรรความต้านทานลอยตัวแบบลบ
รูปที่ 4.2



รูปที่ 4.20 เสถียรภาพของค่าความต้านทานต่ออุณหภูมิ ของวงจรรความต้านทานลอยตัวแบบลบ
รูปที่ 4.3

จากผลการจำลอง จะเห็นได้ว่าอุณหภูมิมีผลต่อค่าความต้านทานของวงจร กล่าวคือเมื่อ
อุณหภูมิเปลี่ยนแปลง ค่าความต้านทานก็เปลี่ยนแปลง นั่นคือความต้านทานไม่มีเสถียรภาพต่ออุณหภูมิ
ดังนั้นจึงควรคำนึงถึงเรื่องของอุณหภูมิในการนำไปใช้งานด้วย ไม่นุญาติให้นำไปใช้ประโยชน์ด้านการค้า
ไม่ว่ากรณีใดๆทั้งสิ้น อีกทั้งห้ามมิให้คัดแปลงเนื้อหา และต้องอ้างอิงถึงเจ้าของเอกสารทุกครั้งที่มีการนำไปใช้

บทที่ 5

บทสรุปและวิจารณ์

วิทยานิพนธ์นี้ได้เสนอการปรับปรุงย่านปฏิบัติงานของวงจรความต้านทานลอยตัว ที่ปรับค่าได้ด้วยทางอิเล็กทรอนิกส์(แรงดัน) ที่สร้างขึ้นด้วยเทคโนโลยีซีมอส ให้มีช่วงปฏิบัติงานแรงดันอินพุตได้กว้างขึ้น โดยมีขั้นตอนของการดำเนินการจัดทำวิทยานิพนธ์ดังนี้คือ

เริ่มต้นด้วยการศึกษาและทำการค้นคว้าวงจรความต้านทานลอยตัวต่างๆ มาพิจารณาเพื่อช่วงของแรงดันอินพุตปฏิบัติงานของวงจรเหล่านั้นๆ พบว่าวงจรจะมีแรงดันอินพุตปฏิบัติงานในช่วงแรงดัน $\pm 1V$ และวงจรส่วนใหญ่จะนำเอา MOSFET ชนิด NMOS มาเป็นตัวสร้างชุดความต้านทาน จึงได้ทำการออกแบบวงจรความต้านทานลอยตัวที่ปรับค่าได้ด้วยวิธีทางอิเล็กทรอนิกส์ที่สร้างจาก MOSFET ชนิด NMOS และนำมาจำลองการทำงานด้วยโปรแกรม PSpice ทากราฟความสัมพันธ์ระหว่างกระแสและแรงดัน เมื่อทำการปรับค่าแรงดัน V_C ให้มีค่าต่างๆกัน เพื่อช่วงแรงดันอินพุตปฏิบัติงานของวงจรที่ได้ออกแบบ พบว่าวงจรที่ได้ออกแบบสามารถให้ช่วงแรงดันอินพุตปฏิบัติงานกว้างกว่าวงจรที่มีการนำเสนอมาคือมีค่า $\pm 2.5V$ จากนั้นได้ทำการปรับปรุงวงจร เพื่อให้ช่วงแรงดันอินพุตปฏิบัติงานของวงจรได้กว้างขึ้น โดยมีสมมติฐานอยู่บนการทำให้ค่าความชันของเส้นกราฟความสัมพันธ์ระหว่างกระแสและแรงดัน โดยพิจารณาออกแบบให้ค่าความชันของเส้นกราฟมีค่าน้อยๆ ซึ่งผลที่ได้ก็คือทำให้ช่วงแรงดันอินพุตปฏิบัติงานที่กว้างขึ้นได้ โดยได้ใช้ MOSFET ชนิด PMOS มาแทน MOSFET ชนิด NMOS ดังวงจรที่ได้ดัดแปลงดังรูปที่ 3.15

ลำดับต่อไปของวิทยานิพนธ์ เป็นการดัดแปลงวงจรความต้านทานลอยตัวดังกล่าวให้สามารถทำหน้าที่เป็นวงจรความต้านทานลอยตัวแบบลบได้ โดยใช้หลักการ “กำหนดให้ทิศทางการไหลของกระแสให้เป็นตรงข้ามหรือไหลสวนทางจากเดิม โดยที่โครงสร้างภายในของวงจรความต้านทานเป็นเช่นเดิมไม่เปลี่ยนแปลง” ทำให้ได้วงจรที่มีโครงสร้างเดียวกันแต่สามารถทำงานได้ 2 หน้าทีคือ เป็นวงจรความต้านทานลอยตัวแบบบวกหรือแบบลบก็ได้ โดยการกำหนดจุด Jump หรือจุดเชื่อมต่อภายในวงจรขึ้น ทำให้เกิดความสะดวกและประหยัดจำนวนอุปกรณ์ลงในการนำไปใช้งาน

สำหรับผลการจำลองการทำงาน ได้ทำการจำลองการทำงานด้วยโปรแกรมเลียนแบบการทำงาน PSpice ได้ผลการจำลองสอดคล้องกับหลักการทางทฤษฎีเป็นอย่างดี กล่าวคือ วงจรความต้านทานลอยตัวแบบบวกที่เสนอ ให้ช่วงแรงดันอินพุตปฏิบัติงานได้กว้าง และมีความเป็นเชิงเส้นสูงโดยประมาณ $\pm 4V$ และวงจรความต้านทานลอยตัวแบบลบที่ได้จากการดัดแปลงตามหลักการที่เสนอจะให้ช่วงของแรงดันอินพุตปฏิบัติงาน มีความเป็นเชิงเส้นอยู่ในช่วงประมาณ $\pm 2V$ ทั้งนี้

ไม่ว่ากรณีใดๆทั้งสิ้น อีกทั้งห้ามมิให้ดัดแปลงเนื้อหา และต้องอ้างอิงถึงเจ้าของเอกสารทุกครั้งที่มีการนำไปใช้

อาจเป็นเพราะวงจรความต้านทานลอยตัวแบบลบ ใช้จำนวนมอสทรานซิสเตอร์ในส่วนของกระแสที่อ่อนกระแสมากกว่า ซึ่งอาจเป็นสาเหตุทำให้เกิดความไม่เป็นอุดมคติของวงจรสะท้อนกระแสสำหรับแนวทางแก้ไข ก็โดยการพิจารณาวงจรสะท้อนกระแสที่มีเสถียรภาพมากกว่านี้ มาใช้งาน นอกจากนี้ค่าความต้านทานลอยตัวทั้งแบบบวกและแบบลบ ก็สามารถปรับค่าได้ด้วยแรงดัน V_C ซึ่งมีค่าแรงดันอยู่ในช่วง $2V$ ถึง $3.5V$

นอกจากนั้นยังได้ทำการจำลองวงจรเพื่อหาผลตอบสนองเชิงความถี่ของวงจรความต้านทานลอยตัวแบบบวกและแบบลบ จะให้ค่าความต้านทานที่มีความเป็นเชิงเส้น และใช้งานได้ตลอดช่วงความถี่โดยประมาณ 1 MHz

แต่การนำวงจรความต้านทานไปใช้งานจะต้องคำนึงถึงผลของอุณหภูมิด้วย เนื่องจากวงจรที่เสนอนี้ อุณหภูมิมีผลต่อค่าความต้านทาน ข้อเสนอแนะคือต้องหาหรือทำการออกแบบวงจรที่ทำหน้าที่ชดเชยอุณหภูมิให้กับวงจรความต้านทานดังกล่าว

กล่าวโดยสรุปแล้ว วิทยานิพนธ์นี้มีข้อดีคือ ให้ค่าความต้านทานที่มีความเป็นเชิงเส้นสูง มีช่วงปฏิบัติการกว้างและยังใช้จำนวนของมอสทรานซิสเตอร์ในการสร้างวงจรมีน้อยกล่าวคือในกรณีของวงจรความต้านทานลอยตัวแบบบวกใช้เพียง 14 ตัว ส่วนกรณีของวงจรความต้านทานลอยตัวแบบลบใช้ 18 ตัว และค่าความต้านทานลอยตัวที่นำเสนอยังสามารถปรับเปลี่ยนค่าได้โดยใช้แรงดัน V_C และเนื่องจากวงจรที่เสนอสร้างขึ้นโดยใช้มอสทรานซิสเตอร์เพียงอย่างเดียวจึงมีความเหมาะสมที่จะนำไปพัฒนาเป็นวงจรรวมด้วย

เอกสารอ้างอิง

- [1] P.M. Vanpeteghem and G.L. Rice, "New CMOS Resistor Implementation for Linear IC Applications," *Electron. Lett.*, Vol.24, No.5, pp. 288-290, 1998.
- [2] S.P. Singh, J.V. Hanson and J. Vlach, "A New Floating Resistor For CMOS Technology," *IEEE Trans. Circuits and System*, Vol.36; No.9, pp.1217-1220, 1989.
- [3] Z. Wang, "Novel Electronically-Controlled Floating Resistors Using MOS Transistors Operating in Saturation," *Electron. Lett.*, Vol.27, No.2, pp.188-189, 1991.
- [4] G. Wilson and P.K. Chan, "Floating CMOS Resistor," *Electron. Lett.*, Vol.29, No.3, pp.306-307, 1993.
- [5] S. Sakurai and M. Ismail, "A CMOS Square-Law Programmable Floating Resistor," *Proc. 1993 IEEE International Symposium On Circuits and Systems, (ISCAS'93)*, pp.1184-1187, 1993.
- [6] H.O. Elwan, S.A. Mahmoud and A.M. Soliman, "CMOS Voltage Controlled Floating Resistor," *Int. J. Electronics*, Vol. 81, No.5, pp.571-576, 1996.
- [7] W. Surakamponorn, "CMOS Floating Voltage-Controlled Negative Resistor," *Electron. Lett.*, Vol.28, No.15, pp.1457-1459, 1992.
- [8] W. Kiranon, C. Leoscharataramdee, N. Kiatwarin and P. Wardkein, "Electronically Controlled Negative Resistance Based on Translinear Circuits," *Proc. 1999 IEEE International Symposium On Intelligent Signal Processing and Communication System, (ISPACS'99)*, pp. 645-648, 1999.
- [9] Y. P. Tsvividis. **Operation and Modeling of the MOS Transistor.** McGraw-Hill 1988
- [10] O. J. McCarty. **MOS Device and Circuit Design.** John Wiley & Son 1982.
- [11] P. Antognetti , G. Massobrio. **Semiconductor Device Modeling with Spice.** McGraw-Hill 1988

เอกสารนี้เป็นเอกสารที่สงวนไว้สำหรับการใช้งานเพื่อการศึกษาเท่านั้น ไม่อนุญาตให้นำไปใช้ประโยชน์ด้านการค้า
ไม่ว่ากรณีใดๆทั้งสิ้น อีกทั้งห้ามมิให้ตัดแปลงเนื้อหา และต้องอ้างอิงถึงเจ้าของเอกสารทุกครั้งที่มีการนำไปใช้

- [12] R. T. Howe, C. G. Sodini **Microelectronics an integrated approach.**
Prentice - Hall 1997
- [13] E.W. Greneich. **Analog Integrated Circuits.** Chapman & Hall 1997
- [14] M. H. Rashid. **Microelectronic circuit Analysis and Design.** PWS
Publishing company



เอกสารนี้เป็นเอกสารที่สงวนไว้สำหรับการใช้งานเพื่อการศึกษาเท่านั้น ไม่อนุญาตให้นำไปใช้ประโยชน์ด้านการค้า
ไม่ว่ากรณีใดๆทั้งสิ้น อีกทั้งห้ามมิให้ตัดแปลงเนื้อหา และต้องอ้างอิงถึงเจ้าของเอกสารทุกครั้งที่มีการนำไปใช้



เอกสารนี้เป็นเอกสารที่สงวนไว้สำหรับการใช้งานเพื่อการศึกษาเท่านั้น ไม่อนุญาตให้นำไปใช้ประโยชน์ด้านการค้า
ไม่ว่ากรณีใดๆทั้งสิ้น อีกทั้งห้ามมิให้ดัดแปลงเนื้อหา และต้องอ้างอิงถึงเจ้าของเอกสารทุกครั้งที่มีการนำไปใช้

พารามิเตอร์ที่ใช้ในการเลียนแบบการทำงาน

โมเดล SCN2 ของ MOSIS

.MODEL NENH NMOS LEVEL=2 LD=0.250000U TOX=408.000001E-10
 + NSUB=6.264661E+15 VTO=0.77527 KP=5.518000E-05 GAMMA=0.5388
 + PHI=0.6 UO=652 UEXP=0.100942 UCRIT=93790.5 DELTA=1.000000E-06
 + VMAX=100000 XJ=0.250000U LAMBDA=2.752568E-03 NFS=2.06E+11
 + NEFF=1 NSS=1.000000E+10 TPG=1.000000 RSH=31.020000
 + CGDO=3.173845E-10 CGSO=3.173845E-10 CGBO=4.260832E-10
 + CJ=1.038500E-04 MJ=0.649379 CJSW=4.743300E-10 MJSW=0.326991
 + PB=0.800000

.MODEL PENH PMOS LEVEL=2 LD=0.213695U TOX=408.000001E-10
 + NSUB=5.574486E+15 VTO= -0.77048 KP=2.226000E-05 GAMMA=0.5083
 + PHI=0.6 UO=263.253 UEXP=0.169026 UCRIT=23491.2 DELTA=7.31456
 + VMAX=17079.4 XJ=0.250000U LAMBDA=1.41E-02 NFS=2.77E+11
 + NEFF=1.001 NSS=1.000000E+10 TPG=1.000000 RSH=88.940000
 + CGDO=2.712940E-10 CGSO=2.712940E-10 CGBO=3.651103E-10
 + CJ=2.375000E-04 MJ=0.532556 CJSW=2.707600E-10 MJSW=0.252466
 + PB=0.800000



ภาคผนวก ข

ผลงานวิจัยที่เกี่ยวข้องกับวิทยานิพนธ์ที่ได้รับการตีพิมพ์

เอกสารนี้เป็นเอกสารที่สงวนไว้สำหรับการใช้งานเพื่อการศึกษาเท่านั้น ไม่อนุญาตให้นำไปใช้ประโยชน์ด้านการค้า
ไม่ว่ากรณีใดๆทั้งสิ้น อีกทั้งห้ามมิให้ดัดแปลงเนื้อหา และต้องอ้างอิงถึงเจ้าของเอกสารทุกครั้งที่มีการนำไปใช้

ISSN 0125-1724

วิศวกรรม

ลาดกระบัง

LADKRABANG ENGINEERING JOURNAL

ปีที่ 17 ฉบับที่ 4

ธันวาคม 2543

1. วงจร บุคสแคปรูป ซิมอส อินเวอร์เตอร์ ที่ตัดคาฟเลียงต่ำและสวิงได้เต็มย่าน ทวิช ชูเมือง กอบชัย เดชหาญ วิษณ กอพักคัมพันธ์	1
2. ตัวต้านทานลอยตัวที่ปรับค่าได้ด้วยวิธีทางอิเล็กทรอนิกส์โดยใช้ทรานซิสเตอร์ซิมอส สิทธิพร เพ็ชรกิจ กอบชัย เดชหาญ	5
3. วงจรควบคุมและหารสัญญาณที่ใช้วงจรสายพานกระแสที่ควบคุมด้วยกระแส วิจิตรา เพ็ชรกิจ สิทธิพร เพ็ชรกิจ	11
4. การจัดการความกว้างของแบนด์ของ ATM สวิทช์โดยใช้ทฤษฎีแคววอควอย ประพันธ์ ศรีเจริญ กอบชัย เดชหาญ อัครพล ศรีรัตน์ เชื้อชาย เนตรบุศร	17
5. อุปกรณ์ป้องกันกระแสเกินด้วยฟิวส์โดยใช้สารเคลือบผ่านพอร์ซุสเซสปี ศรัวดี ทองทา นเรศ มาลัย สมศักดิ์ มิตะธา ชน กิมปาน กอบชัย เดชหาญ	23
6. การพัฒนาระบบแสดงผลจุกซ์อาร์คในโครงข่ายเคเบิลใยแก้วนำแสง รุ่ง พวงดอกไม้ม พิเชษฐ ม่วงนวล มนูญ สุขเกษม อวิธ พึ่งมา	29
7. การเปรียบเทียบวิธีการประมาณแบบอนุโตคอร์เลชันคู่กับวิธีการประมาณแบบอื่น ๆ สำหรับการเข้ารหัสเสียงพูดแบบอะแด็ปทีฟ ดิฟเฟอร์เรนเชียลพัลส์โคดมอดูเลชัน อรรถสิทธิ์ วงศ์ธนศักดิ์ชัย วรภากร วงศ์สายเชื้อ ไกรสิน สว่างวัฒนา	35
8. วิเคราะห์การลดทอนของสัญญาณเนื่องจากเฟสในย่าน KU-Band ด้วยอุปกรณ์ เเรดิโอไมเคอร์ที่มนุษย์ ดุสิต ไบศรี ณรงค์ เหมกรณ์	41
9. การประยุกต์ใช้คอมพิวเตอร์ส่วนบุคคลทำหน้าที่เป็นตัวควบคุม PID แบบปรับค่าอัตโนมัติ เลิศเลขา ธนะชัยพันธ์ วิสวต ศรีรัตนะ พิทยา ป่านิล ประสิทธิ์ จุลเสวีวงศ์ กิตติ ศิเรษฐ	47
10. ระบบควบคุมตำแหน่งและความเร็วเชิงเร่ง-เบ็ดสำหรับสเลปปีงมอเตอร์แบบสเลปปีงด้วยค่าการเก็บประจุรวม สาทร ทองอึ้ง ชนิษฐา แซ่ตั้ง	53
11. การวิเคราะห์ราคาตลาดของไฟฟ้าในธุรกิจไฟฟ้า สุนทร ฝ่ายหมื่นไวยุ ศุภี บรรจงจิตร นิตศน์ กฤษณจินดา	58
12. การวิเคราะห์การเปลี่ยนแปลงความถี่จากการสูญเสียในการผลิตและการะของระบบไฟฟ้ากำลัง ศุภชัย แซ่เจียม เอกราช พูนน้อย มณฑล ลีลาจินดาไกรฤกษ์	64
13. การหาจำนวนสลอตของโรเตอร์ของมอเตอร์เหนี่ยวนำโดยอาศัยโรเตอร์สลอตอาร์ไมนิกส์ เฉลิมชาติ มานพ อรรถดี สารภาศ วิจิตร กิณเรศ	69
14. มอเตอร์ไฟฟ้าเหนี่ยวนำเชิงเส้นแบบแกนกระบอก ประภาช ไพรสุวรรณา พูนศรี วรรณการ วรศิลป์ ลิ้มเจริญ	75
15. การใช้คอมพิวเตอร์เพื่อแสดงผลหุ้ค่าความส่องสว่างโดยอาศัยข้อมูลจาก IES File ทิมายุ ดิษสุธรรม วรศิลป์ ลิ้มเจริญ นิตศน์ กฤษณจินดา ศุภี บรรจงจิตร	81
16. การแก้ค่าตัวประกอบกำลังวงจรกระแสสามเฟส โสภณ สวัสดิ์นาวิน ประภาช ไพรสุวรรณา ชัย ชมภูอินโหา	86
17. ระบบป้องกันหลักของสายส่งไฟฟ้าแรงสูง เชาวฤทธิ ธรรมเพียร มณฑล ลีลาจินดากรฤกษ์ สมโภชน์ ประไพ	92
18. การออกแบบของระบบต่อลงดินสถานีไฟฟ้าช้อยโดยใช้คอมพิวเตอร์ตามมาตรฐาน IEC 479 ศักดิ์ดา ธานีเวทย์ มณฑล ลีลาจินดากรฤกษ์	98
19. การออกแบบระบบต่อลงดินของสถานีไฟฟ้าที่เชื่อมโยงถึงกัน รวี พงษ์ศิริพานิช อิติ เอี่ยมมงคล ศุภี บรรจงจิตร นิตศน์ กฤษณจินดา	104
20. การประเมินค่าความปลอดภัยในการออกแบบระบบกราวด์ จิรพงษ์ เมื่อกคล้าย สมชาติ จิรวิภากร ศุภี บรรจงจิตร	110
21. ผลกระทบของสภาวะที่ทางเข้าต่อการผสมแบบปั่นป่วนในเตาเผาทรงกระบอก นิวัฒน์ นาคะโยธินสกุล จารวัตร เจริญสุข	115
22. พฤติกรรมการหล่อลื่นของแบริ่งเพลากลมด้วยสารหล่อลื่นนอน-นิวตรอนเนียม ไดลาแดนท์ มงคล มงคลวงศ์โรจน์ ตาวรัตน์ ปัญญาภาณุพันธ์	121
23. การเพิ่มกำลังของเครื่องยนต์แก๊สโซลีนโดยการดูดไอเสีย อัครเดช ลินธวัค สุนทร ละอองนวล	127
24. การวิเคราะห์ %wt. Coke Yield ซึ่งเป็นตัวแปรตัวหนึ่งในการผลิตน้ำมันไหม้คุณภาพสูงสุดในหน่วยแตกน้ำมันหนัก อภิชัย พุทธเนียน ธวัชชัย นาคพิพัฒน์	131

เอกสารนี้เป็นเอกสารที่สงวนไว้สำหรับการใช้งานเพื่อการศึกษาเท่านั้น ไม่อนุญาตให้นำไปใช้ประโยชน์ด้านการค้า
ไม่ว่ากรณีใดๆทั้งสิ้น อีกทั้งห้ามมิให้ตัดแปลงเนื้อหา และต้องอ้างอิงถึงเจ้าของเอกสารทุกครั้งที่มีการนำไปใช้

ตัวต้านทานลอยตัวที่ปรับค่าได้ด้วยวิธีทางอิเล็กทรอนิกส์ โดยใช้ทรานซิสเตอร์ซีมอส

Electronically Tunable Floating Resistor Based on CMOS Transistors

สิทธิพร เพ็ชรกิจ กอบชัย เคาหาญ

คณะวิศวกรรมศาสตร์และสำนักวิจัยการสื่อสารและเทคโนโลยีสารสนเทศ สถาบันเทคโนโลยีพระจอมเกล้าเจ้าคุณทหารลาดกระบัง

บทคัดย่อ

บทความนี้นำเสนอวงจรความต้านทานลอยตัวค่าบวกและค่าลบ ที่สามารถปรับเปลี่ยนค่าความต้านทานได้ด้วยวิธีทางอิเล็กทรอนิกส์ โดยใช้แรงดันเป็นตัวควบคุม ซึ่งมีพื้นฐานอยู่บนการนำคุณสมบัติของมอสทรานซิสเตอร์ที่ทำงานในช่วงอิมิตซ์มาใช้งาน วงจรที่นำเสนอนี้ให้ค่าความต้านทานที่มีความเป็นเชิงเส้นสูง และมีช่วงปฏิบัติการกว้าง และเนื่องจากวงจรประกอบขึ้นจากมอสทรานซิสเตอร์เพียงอย่างเดียว จึงมีความเหมาะสมที่จะนำไปสร้างเป็นวงจรรวมอีกด้วย เพื่อยืนยันถึงประสิทธิภาพการทำงานของวงจร ได้เสนอผลการจำลองการทำงานของวงจรด้วยโปรแกรม PSpice มาประกอบ

Abstract

This paper presents the positive and negative floating resistance circuits, which can be electronically tunable voltage-controlled resistance. These circuits base on the characteristic of MOS-transistors operating in saturation region. The proposed circuit has high-linearity of the resistance value and wide dynamic range, which is useful for IC design because of its MOS-transistor structure. The circuit performances are also included based on simulation results by using PSpice.

1. บทนำ

ตัวต้านทานลอยตัวค่าบวกและค่าลบที่สามารถปรับค่าได้ด้วยวิธีทางอิเล็กทรอนิกส์ เป็นอุปกรณ์ที่น่าสนใจมากตัวหนึ่ง เนื่องจากสามารถนำไปประยุกต์ใช้กับงานทางด้านการประมวลผลสัญญาณต่างๆ ได้มากมายเช่นนำมาใช้เพื่อทำให้เกิดการออสซิลเลตในวงจรออสซิลเลเตอร์ ใช้เป็นตัวปรับค่าความถี่ในวงจรกรองสัญญาณแอคทีฟ (active filter) ใช้เป็นตัวปรับอัตราขยายหรือลดทอนในวงจรขยายสัญญาณ หรือใช้เป็นตัวเพิ่มความเป็นเชิงเส้นให้กับวงจรอินทิเกรต เป็นต้น จากเหตุผลดังกล่าว จึงมีการ

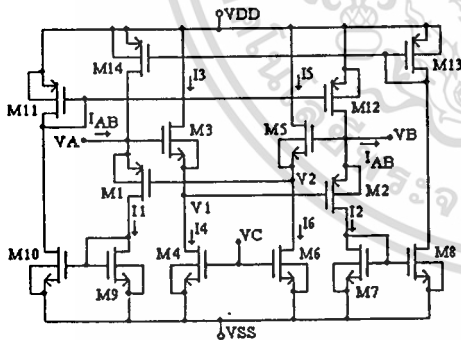
นำเสนองจรที่ทำหน้าที่เป็นตัวต้านทานลอยตัวที่ปรับค่าได้ ด้วยวิธีทางอิเล็กทรอนิกส์ทั้งค่าบวก [1-6] และค่าลบ [7-8] ออกมาอย่างต่อเนื่อง ซึ่งแต่ละวงจรก็จะมีข้อดี-ข้อเสียที่แตกต่างกันออกไป ขึ้นอยู่กับวิธีการที่นำมาใช้ในการออกแบบ และวงจรความต้านทานลอยตัวค่าบวกส่วนใหญ่จะมีช่วงปฏิบัติการประมาณ ± 1 โวลต์ ในขณะที่ใช้ไฟเลี้ยง วงจร ± 5 โวลต์ ซึ่งถ้าหากต้องการความต้านทานที่มีช่วงปฏิบัติการที่กว้างขึ้น วิธีการหนึ่งที่สามารถทำได้คือการนำอุปกรณ์มาต่อเพิ่มเข้าไปดังที่ไว้ใน [2,7] ซึ่งวิธี

การนี้ทำให้วงจรมีความยุ่งยากและซับซ้อนมากขึ้น

บทความนี้จึงได้นำเสนอวงจรความต้านทานลอยตัวค่าบวกที่ให้ค่าความต้านทานที่มีความเป็นเชิงเส้นสูง มีช่วงปฏิบัติงานกว้าง และใช้อุปกรณ์น้อย กล่าวคือ ใช้มอสทรานซิสเตอร์เพียง 14 ตัวเท่านั้น นอกจากนั้นยังได้นำเสนอวงจรความต้านทานลอยตัวค่าลบ ที่ได้จากการคิดแปลงวงจรความต้านทานค่าบวกที่นำเสนอไว้ด้วย และจากการทดสอบประสิทธิภาพของวงจรด้วยโปรแกรม PSpice ให้ผลเป็นที่น่าพอใจ

2. หลักการทำงาน

วงจรความต้านทานลอยตัวค่าบวกที่สามารถปรับเปลี่ยนค่าความต้านทานได้ด้วยแรงดันที่นำเสนอในบทความนี้ มีลักษณะดังแสดงในรูปที่ 1 โดยมีจุด A และ B เป็นขั้วทั้งสองของตัวต้านทาน มี I_{AB} เป็นค่ากระแสที่ไหลผ่านตัวต้านทานนี้ และมี V_C เป็นแรงดันที่ใช้ในการปรับเปลี่ยนค่าความต้านทาน



รูปที่ 1 วงจรความต้านทานลอยตัวค่าบวกที่นำเสนอ

จากรูปวงจรที่ออกแบบขึ้นนี้ได้กำหนดให้ M_1 และ M_2 เป็นมอสทรานซิสเตอร์ชนิดที่ (PMOS) ที่มีความสมพียงกัน และทำหน้าที่สร้างกระแส I_1 และ I_2 ขึ้นตามลำดับ โดยมีทรานซิสเตอร์ $M_3 - M_6$ เป็นส่วนของวงจรที่ทำหน้าที่จัดไบอัสให้กับ M_1 และ M_2 ส่วนทรานซิสเตอร์ $M_7 - M_{14}$ ทำหน้าที่เป็นวงจรสะท้อนกระแสและมีอัตราสะท้อนกระแสเป็น 1:1 การออกแบบวงจรนี้ได้กำหนด

ให้ทรานซิสเตอร์ทุกตัวทำงานในช่วงอิ่มตัว โดยขาซอส (source) กับขาจับโครง (substrate/bulk) ของทรานซิสเตอร์แต่ละตัวถูกต่อเข้าด้วยกัน สมการกระแสแตรนของมอสทรานซิสเตอร์ที่ทำงานในช่วงอิ่มตัว มีค่าเป็น

$$I_D = \frac{K}{2}(V_{GS} - V_T)^2 \quad (1)$$

โดยที่ $K = \mu C_{ox}(W/L)$

ซึ่ง μ คือ ค่าความคล่องตัวของโฮลหรืออิเล็กตรอน

C_{ox} คือ ความจุต่อพื้นที่ของเกต-ออกไซด์

W คือ ความกว้างของแชนแนล

L คือ ความยาวของแชนแนล

V_{GS} คือ แรงดันที่เกต-ซอส

V_T คือ แรงดันขีดเริ่ม (threshold voltage)

เมื่อนำความสัมพันธ์ของกระแสแตรนที่ทำงานในช่วงอิ่มตัวมาใช้กับมอสทรานซิสเตอร์ชนิดที่ M_1 และ M_2 จะได้สมการของกระแส I_1 และ I_2 มีค่าเป็นดังนี้

$$I_1 = \frac{K_p}{2}(V_A - V_2 + V_{Tp})^2 \quad (2)$$

$$I_2 = \frac{K_p}{2}(V_B - V_1 + V_{Tp})^2 \quad (3)$$

และจากวงจรในรูปที่ 1 ได้ออกแบบให้

$$I_{AB} = I_1 - I_2 \quad (4)$$

ดังนั้นจะได้

$$I_{AB} = \frac{K_p}{2}(V_1 - V_2 + V_A - V_{Tp})(V_A + V_{Tp} - V_1 - V_2 + 2V_{Tp}) \quad (5)$$

ถ้าหาค่าแรงดัน V_1 และ V_2 หาได้จากส่วนของวงจรที่ทำหน้าที่ในการจัดไบอัส ซึ่งจากส่วนนี้เมื่อกำหนดให้ M_3 สมพียงกับ M_4 จะได้

$$I_3 = I_4 \quad (6)$$

หรือ

$$\frac{K_n}{2}(V_A - V_1 - V_{Tn})^2 = \frac{K_n}{2}(V_C - V_{SS} - V_{Tn})^2 \quad (7)$$

และได้

$$V_1 = V_A - V_C + V_{SS} \quad (8)$$

ในทำนองเดียวกัน เมื่อกำหนดให้ M_5 สมพียงกับ M_6 จะได้ว่า

$$I_5 = I_6 \quad (9)$$

ซึ่งจะได้

$$V_2 = V_B - V_C + V_{SS} \quad (10)$$

เมื่อนำค่าของสมการ (8) และ (10) แทนลงในสมการ (5) จะได้ว่า

$$I_{AB} = 2K_p(V_A - V_B)(V_C - V_{SS} + V_{Tp}) \quad (11)$$

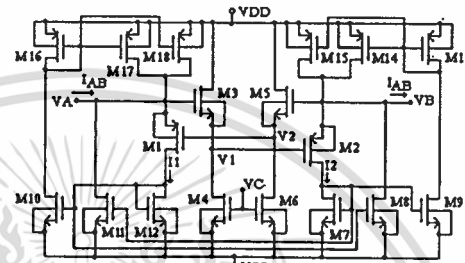
ซึ่งจากสมการนี้จะพบว่าค่าความต้านทานเสมือนที่อยู่ระหว่างขั้ว A และ B ของวงจรคือ

$$R_{AB} = \frac{1}{2K_p(V_C - V_{SS} + V_{Tp})} \quad (12)$$

จากสมการ (12) นี้แสดงให้เห็นอย่างชัดเจนว่าวงจรตามรูปที่ 1 สามารถใช้เขียนแบบเป็นความต้านทานลอยตัวที่มีความเป็นเชิงเส้นแบบบวก และขนาดของความต้านทานสามารถควบคุมได้ด้วยแรงดัน V_C

จากหลักการของวงจรเขียนแบบความต้านทานลอยตัวค่าบวกที่นำเสนอ สามารถดัดแปลงเป็นวงจรเขียน

แบบความต้านทานลอยตัวค่าลบได้โดยการคิดแปลงวงจรในส่วนของวงจรสะท้อนกระแสใหม่ให้มีลักษณะดังแสดงในรูปที่ 2 โดยมีอัตราการสะท้อนกระแสเป็น 1:1 เช่นเดิม



รูปที่ 2 วงจรความต้านทานลอยตัวค่าลบที่นำเสนอ

ซึ่งจากวงจรในรูปนี้ เมื่อพิจารณาที่จุด A และ B จะได้ว่า

$$I_{AB} = I_2 - I_1 = -(I_1 - I_2) \quad (13)$$

ดังนั้นในกรณีนี้จึงสามารถพิสูจน์ได้ว่า ค่าความต้านทานเสมือนที่อยู่ระหว่างขั้ว A และ B ของวงจรมีค่าเป็น

$$R_{AB} = \frac{-1}{2K_p(V_C - V_{SS} + V_{Tp})} \quad (14)$$

จากสมการ (14) นี้แสดงให้เห็นอย่างชัดเจนว่าวงจรตามรูปที่ 2 สามารถใช้เขียนแบบเป็นความต้านทานลอยตัวที่มีความเป็นเชิงเส้นแบบลบ และขนาดของความต้านทานสามารถควบคุมได้ด้วยแรงดัน V_C

สำหรับค่าแรงดัน V_C ที่นำมาใช้นั้นจะต้องมีค่ามากพอที่จะทำให้ทรานซิสเตอร์ M_4 และ M_6 นักระแส กล่าวคือจะต้องสอดคล้องกับเงื่อนไขต่อไปนี้

$$V_C - V_{SS} > V_{Tn} \quad (15)$$

หรือ

$$V_C > V_{Tn} + V_{SS} \quad (16)$$

และเมื่อพิจารณาจากสมการ (16) จะทำให้ทราบว่า ค่าแรงดัน V_C ที่นำมาใช้ในรูปที่ 1 และ รูปที่ 2 เป็นได้เพียงแรงดันค่าลบเท่านั้น

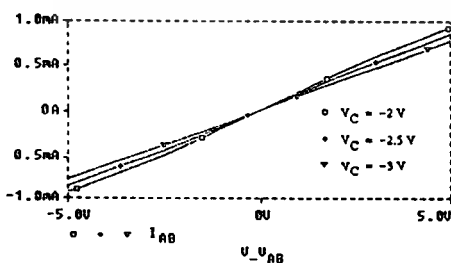
3. ผลการจำลองการทำงานด้วยคอมพิวเตอร์

เพื่อตรวจสอบการทำงานของวงจรรวมความต้านทานลอยตัวค่าบวกและค่าลบที่นำเสนอ ได้ทำการเขียนแบบการทำงานของวงจรรวมด้วยโปรแกรม PSpice โดยใช้พารามิเตอร์ที่เป็นแบบจำลองของเทคโนโลยี CMOS สำหรับ $2 \mu\text{m}$ ของ MOSIS ที่มีค่า $\mu_p C_{ox} = 2.226E-05 \text{ A/V}^2$ และ $V_{Tp} = 0.77 \text{ V}$ ส่วนค่า W/L ของทรานซิสเตอร์แต่ละตัวใช้ค่าตามในตารางที่ 1 และใช้ $VDD = -VSS = 5 \text{ V}$

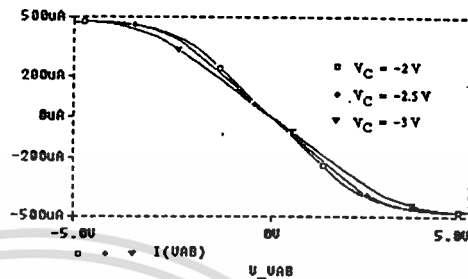
ตารางที่ 1 ค่า W/L ที่ใช้ในการจำลองการทำงานของวงจรรวม

ทรานซิสเตอร์	ค่า W/L (μm)
$M_1 - M_2$	24/10
$M_3 - M_6$	4/4
$M_7 - M_{18}$	60/18

โดยได้นำวงจรรวมความต้านทานลอยตัวค่าบวกและค่าลบที่แสดงในรูปที่ 1 และรูปที่ 2 มาทำการเขียนแบบการทำงานของวงจรรวมโดยหาความสัมพันธ์ระหว่างแรงดัน V_{AB} กับกระแส I_{AB} เมื่อแรงดันควบคุม V_C มีค่าต่างๆ กัน ได้ผลดังแสดงในรูปที่ 3 และรูปที่ 4 ตามลำดับ

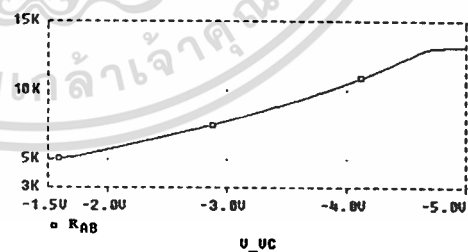


รูปที่ 3 ความสัมพันธ์ระหว่างแรงดัน V_{AB} กับกระแส I_{AB} เมื่อ V_C มีค่าต่างๆ กัน ของวงจรรวมในรูปที่ 1



รูปที่ 4 ความสัมพันธ์ระหว่างแรงดันอินพุต V_{AB} กับกระแส I_{AB} เมื่อ V_C มีค่าต่างๆ กัน ของวงจรรวมในรูปที่ 2

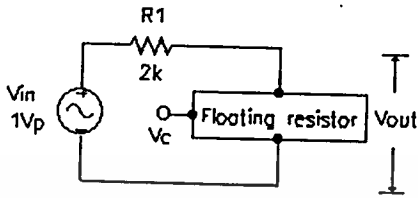
จากผลการจำลองการทำงานของวงจรรวมทั้งสองกรณี จะได้ว่า ช่วงปฏิบัติการของแรงดันอินพุตในกรณีของวงจรรวมความต้านทานแบบบวกจะมีค่าประมาณ $\pm 4 \text{ V}$ ส่วนในกรณีของวงจรรวมความต้านทานแบบลบจะมีค่าประมาณ $\pm 2 \text{ V}$ สาเหตุหนึ่งที่ทำให้ผลของวงจรรวมความต้านทานลอยตัวแบบลบมีความเป็นเชิงเส้นน้อยกว่าวงจรรวมความต้านทานแบบบวก อาจจะเป็นเกิดจากความไม่เป็นอุดมคติของวงจรรวมที่ซ่อนอยู่ซึ่งในวงจรรวมความต้านทานแบบลบใช้มากกว่าในวงจรรวมความต้านทานแบบบวก ส่วนรูปที่ 5 เป็นผลการจำลองการทำงานที่แสดงความสัมพันธ์ระหว่างค่า R_{AB} และแรงดัน V_C



รูปที่ 5 ความสัมพันธ์ระหว่างค่า R_{AB} และแรงดัน V_C

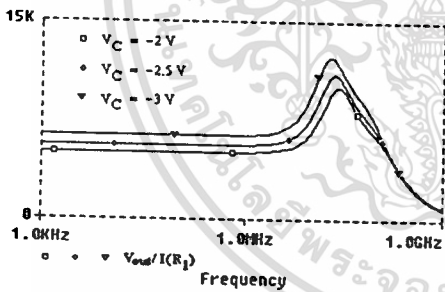
เมื่อพิจารณาผลในรูปที่ 5 จะพบว่าแรงดัน V_C ที่ทำให้ได้ค่าของ R_{AB} มีความเป็นเชิงเส้นจะอยู่ในช่วง -2 V ถึง -4 V

สำหรับการทดสอบเพื่อดูย่านความถี่การทำงานของวงจรรวม ได้ทำการทดสอบโดยการนำวงจรรวมรูปที่ 1 หรือรูปที่ 2 มาประกอบเป็นวงจรมีลักษณะดังแสดงในรูปที่ 6

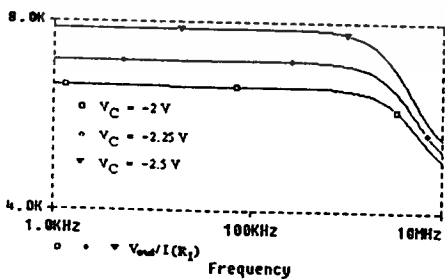


รูปที่ 6 วงจรที่ใช้ทดสอบหาช่วงการทำงานของวงจรตัวต้านทาน

โดยแรงดัน V_{in} เป็นสัญญาณรูปไซน์ขนาด 1Vp ป้อนให้กับวงจร และมีค่าความต้านทานอนุกรมซึ่งมีค่าเทียบเท่ากับค่าความต้านทานของแหล่งกำเนิดสัญญาณขนาด 2 kΩ แล้วทำการวัดค่าความต้านทานของวงจรความต้านทานลอยตัว โดยให้แรงดันควบคุม V_C มีค่าต่างๆ กัน ได้ผลตอบสนองความถี่ของความต้านทานลอยตัวที่แสดงในรูปที่ 1 และรูปที่ 2 แสดงดังในรูปที่ 7 และรูปที่ 8 ตามลำดับ



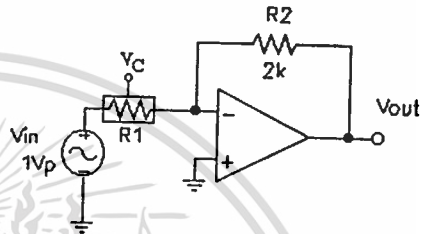
รูปที่ 7 ผลตอบสนองความถี่ของวงจรรูปที่ 1



รูปที่ 8 ผลตอบสนองความถี่ของวงจรรูปที่ 2

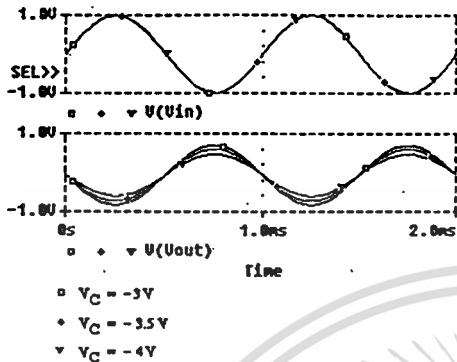
เมื่อสังเกตจากผลการเขียนแบบในรูปที่ 7 และรูปที่ 8 จะพบว่าผลตอบสนองความถี่ของวงจรทั้งสองจะมีค่าประมาณ 1 MHz

นอกจากนี้ยังได้แสดงการประยุกต์ใช้งานของวงจรความต้านทานที่น่าเสนอในบทความนี้มาประกอบเป็นวงจรขยายสัญญาณแบบกลับเฟส (inverting amplifier) ดังแสดงในรูปที่ 9

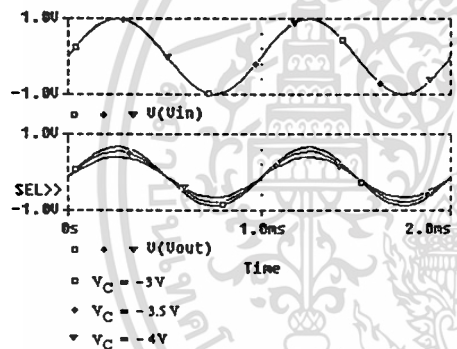


รูปที่ 9 วงจรขยายสัญญาณแบบกลับเฟส

โดยในการจำลองการทำงานนั้นใช้โอปแอมป์เบอร์ $\mu A741$ ใช้ R_2 เป็นความต้านทานที่มีค่าคงที่เท่ากับ 2 kΩ ใช้แรงดันอินพุตเป็นสัญญาณไซน์ขนาด 1Vp ที่มีความถี่ 1kHz ในกรณีที่ค่า R_1 ถูกแทนด้วยวงจรในรูปที่ 1 ที่ใช้แรงดันควบคุม V_C มีค่าต่างๆ กัน ได้ผลดังในรูปที่ 10 ส่วนในกรณีที่ค่า R_1 ถูกแทนด้วยวงจรในรูปที่ 2 ที่ใช้แรงดันควบคุม V_C มีค่าต่างๆ กัน ได้ผลแสดงดังในรูปที่ 11 เมื่อสังเกตจากผลที่ได้นี้พบว่า ในกรณีที่ใช้วงจรตามรูปที่ 1 แทน R_1 แรงดันเอาต์พุต V_{out} ของวงจรจะกลับเฟสกับแรงดันอินพุตซึ่งแสดงว่าวงจรตามรูปที่ 1 แสดงตัวเป็นความต้านทานค่าบวก ส่วนในกรณีที่นำวงจรตามรูปที่ 2 มาใช้แทน R_1 พบว่าแรงดันเอาต์พุตที่ได้จะมีเฟสเหมือนกับแรงดันอินพุต ทั้งนี้เนื่องจากว่าวงจรตามรูปที่ 2 นั้นแสดงตัวเป็นความต้านทานค่าลบนั่นเอง และสามารถควบคุมขนาดของสัญญาณเอาต์พุตได้โดยการปรับแรงดันควบคุม V_C ทั้งสองกรณี กล่าวคือเมื่อแรงดันควบคุม V_C มีค่าเป็นลบเพิ่มขึ้นจะทำให้ได้ค่าความต้านทาน R_1 เพิ่มขึ้น ซึ่งมีผลทำให้อัตราขยายของวงจรของรูปที่ 9 มีค่าลดลง ดังนั้นจึงทำให้ค่าแรงดันเอาต์พุตมีขนาดเล็กลงด้วย และจากผลการจำลองการทำงานในกรณีนี้จะพบว่าวงจรความต้านทานที่เสนอมีค่าแรงดันออฟเซต (offset) เกิดขึ้นซึ่งมีค่าไม่มากนัก



รูปที่ 10 ผลการจำลองการทำงานเมื่อ R_1 ถูกแทนด้วยวงจรมอดูเลชันความยาวช่องสัญญาณ



รูปที่ 11 ผลการจำลองการทำงานเมื่อ R_1 ถูกแทนด้วยวงจรมอดูเลชันความยาวช่องสัญญาณ

4. สรุป

วงจรความต้านทานลอยตัวค่าบวกและค่าลบที่นำเสนอในบทความนี้มีข้อดีคือ ให้ค่าความต้านทานที่มีความเป็นเชิงเส้นสูง มีช่วงปฏิบัติงานกว้างและใช้จำนวนของมอดูเลชันความยาวช่องสัญญาณในการสร้างวงจรมอดูเลชันความยาวช่องสัญญาณของวงจรมอดูเลชันความยาวช่องสัญญาณลอยตัวแบบบวกใช้เพียง 14 ตัว ส่วนกรณีของวงจรมอดูเลชันความยาวช่องสัญญาณลอยตัวแบบลบใช้ 18 ตัว และค่าความต้านทานลอยตัวที่นำเสนอยังสามารถปรับเปลี่ยนได้โดยใช้แรงดัน V_C นอกจากนั้นยังเหมาะที่จะนำไปสร้างเป็นวงจรมอดูเลชันความยาวช่องสัญญาณลอยตัวแบบบวกโดยนำคุณสมบัติของมอดูเลชันความยาวช่องสัญญาณที่ทำงานในช่วง

อิมิตัวมาประยุกต์ใช้ ดังนั้นการเปลี่ยนแปลงความยาวของแชนแนล (channel-length modulation) จึงมีผลทำให้เกิดความไม่เป็นเชิงเส้นขึ้นได้ แต่ก็สามารถหลีกเลี่ยงปัญหานี้ได้โดยการใช้ค่าความยาวของแชนแนล (L) ที่มีค่ามากขึ้นตามความเหมาะสม

5. เอกสารอ้างอิง

- [1] P.M. Vanpeteghem and G.L. Rice, "New CMOS Resistor Implementation for Linear IC Applications," *Electron. Lett.*, Vol.24, No.5, pp. 288-290, 1998.
- [2] S.P. Singh, J.V. Hanson and J. Vlach, "A New Floating Resistor For CMOS Technology," *IEEE Trans. Circuits and System*, Vol.36, No.9, pp.1217-1220, 1989.
- [3] Z. Wang, "Novel Electronically-Controlled Floating Resistors Using MOS Transistors Operating in Saturation," *Electron. Lett.*, Vol.27, No.2, pp.188-189, 1991.
- [4] G. Wilson and P.K. Chan, "Floating CMOS Resistor," *Electron. Lett.*, Vol.29, No.3, pp.306-307, 1993.
- [5] S. Sakurai and M. Ismail, "A CMOS Square-Law Programmable Floating Resistor," *Proc. 1993 IEEE International Symposium On Circuits and Systems, (ISCAS'93)*, pp.1184-1187, 1993.
- [6] H.O. Elwan, S.A. Mahmoud and A.M. Soliman, "CMOS Voltage Controlled floating Resistor," *Int. J. Electronics*, Vol. 81, No.5, pp.571-576, 1996.
- [7] W. Surakamponorn, "CMOS Floating Voltage-Controlled Negative Resistor," *Electron. Lett.*, Vol.28, No.15, pp.1457-1459, 1992.
- [8] W. Kiranon, C. Leoscharataramdee, N. Kiatwarin and P. Wardkein, "Electronically Controlled Negative Resistance Based on Translinear Circuits," *Proc. 1999 IEEE International Symposium On Intelligent Signal Processing and Communication System, (ISPACS'99)*, pp. 645-648, 1999.

ประวัติผู้เขียน

นายสิทธิพร เพ็ชรกิจ เกิดเมื่อวันที่ 10 กรกฎาคม ที่จังหวัดกรุงเทพมหานคร สำเร็จการศึกษา
ครุศาสตร์อุตสาหกรรมบัณฑิต (ไฟฟ้า-อิเล็กทรอนิกส์) จากสถาบันเทคโนโลยีพระจอมเกล้าพระ
นครเหนือ เมื่อปีการศึกษา 2532

ปัจจุบัน ทำหน้าที่เป็นอาจารย์ประจำ ภาควิชาวิศวกรรมอิเล็กทรอนิกส์ คณะวิศวกรรมศาสตร์
มหาวิทยาลัยสยาม



เอกสารนี้เป็นเอกสารที่สงวนไว้สำหรับการใช้งานเพื่อการศึกษาเท่านั้น ไม่อนุญาตให้นำไปใช้ประโยชน์ด้านการค้า
ไม่ว่ากรณีใดๆทั้งสิ้น อีกทั้งห้ามมิให้ตัดแปลงเนื้อหา และต้องอ้างอิงถึงเจ้าของเอกสารทุกครั้งที่มีการนำไปใช้